

Sédimentologie des formations détritiques du Néogène du plateau de Chambaran (Bas-Dauphiné, France)

Djalil Mortaz-Djalili

▶ To cite this version:

Djalil Mortaz-Djalili. Sédimentologie des formations détritiques du Néogène du plateau de Chambaran (Bas-Dauphiné, France). Minéralogie. Université Scientifique et Médicale de Grenoble, 1977. Français. NNT: . tel-00562573

HAL Id: tel-00562573 https://theses.hal.science/tel-00562573

Submitted on 3 Feb 2011

HAL is a multi-disciplinary open access archive for the deposit and dissemination of scientific research documents, whether they are published or not. The documents may come from teaching and research institutions in France or abroad, or from public or private research centers.

L'archive ouverte pluridisciplinaire **HAL**, est destinée au dépôt et à la diffusion de documents scientifiques de niveau recherche, publiés ou non, émanant des établissements d'enseignement et de recherche français ou étrangers, des laboratoires publics ou privés.

THESE

Presentée

A L'UNIVERSITE SCIENTIFIQUE ET MEDICALE DE

GRENOBLE

Pour obtenir le grade de

DOCTEUR DE SPECIALITE (GEOLOGIE APPLIQUEE)

OPTION SEDIMENTOLOGIE

47 JUIN 1977

Par

MORTAZ_DJALILI

SEDIMENTOLOGIE DES FORMATIONS DETRITIQUES DU NEOGENE DU PLATEAU DE CHAMBARAN (BAS-DAUPHINE, FRANCE)

Soutenue le 27 Juin 1977 devant la commission d'examen:

Djalil

R. MICHEL

Professeur U.S.M.G

Président

J. PERRIAUX

Professeur U.S.M.G

Rapporteur

G.MONJUVENT

Maître de recherches

Examinateur

au C.N.R.S

10083077

A la mémoire de mes parents qui m'ont quitté pour toujours,

et en hommage à tous les miens, particulièrement à mon épouse et à mes enfants qui ont du supporter mon absence prolongée...

RESUME

Le Plateau de Chambaran (Bas-Dauphiné) est surtout constitué par des formations détritiques (sables, grès et conglomérats) d'âge helvétien à pliocène supérieur.

Leur étude sédimentologique a permis :

- . de résoudre le problème de la différenciation des divers conglomérats (du Miocène, de l'Infrapliocène, du Pliocène supérieur et de Chambaran),
- . de résoudre le problème de la différenciation des divers sables et grès du Miocène et du Pliocène supérieur,
- . de proposer une reconstitution paléogéographique du Plateau de Chambaran et de retracer son histoire.

SUMMARY

The Chambaran Plateau (Lower-Dauphine) is chiefly made of detrital formations (sands, sandstones, and conglomerates of ages ranging from Helvetian to Upper Pliocene).

Their sedimentological study has made it possible:

- . to solve the problem of the differenciation of the various conglomerates (Miocene, Infrapliocene, Upper Pliocene, and Chambaran conglomerates),
- . to solve the problem of the differenciation of the various Miocene and the Upper Pliocene sands and sandstones,
- . to suggest a paleogeographic reconstitution of the Chambaran Plateau and to retrace its history.

SOMMAIR	
±228##=	=

C. C. ELIND	
RESUME. Unit MASO DO CHARLOW SOMMAIRE LOW DESCRIPTION CEPT MASO DO CHARLOW AND	Pages
1. Par Des Meters 53 BLE 16 51	_
RESUME	. 1
SOMMAIRE	2
AVANT-PROPOS	. 3
RESUME. SOMMAIRE. AVANT-PROPOS. INTRODUCTION.	5
CHAPITRE 1 - Pétrographie des Conglomérats	10
CHAPITRE 2 - Granulométrie	25
CHAPITRE 3 - Morphométrie des galets	58
CHAPITRE 4 - Centile	85
CHAPITRE 5 - Courants et géométrie des dépôts	99
CHAPITRE 6 - Minéraux lourds	° 111
CHAPITRE 7 - Paléoclimats	116
CHAPITRE 8 - Conclusion : Paléogéographie du Plateau de Chambaran	121
BIBLIOGRAPHIE	139
TABLE DES FIGURES ET DES PLANCHES	142
LISTE DES TABLEAUX	144
TABLE GENERALE DES MATIERES	145

AVANT-PROPOS

Au terme de cette étude, je tiens à exprimer toute ma gratitude envers les personnes qui m'ont aidé et conseillé.

Mes remerciements s'adressent en particulier :

A Monsieur le Professeur J. PERRIAUX qui m'a si bien accueilli dans son équipe de Sédimentologie et pour le grand intérêt qu'il a porté à ce travail : il m'a aidé tout au long de mes travaux, tant sur le terrain qu'à l'Institut de Géologie de Grenoble, sans ménager ni son temps ni ses encouragements. Grâce à lui et à sa merveilleuse chaleur humaine que je ne puis oublier, j'ai pu séjourner à Grenoble, ce qui m'a permis de mener à bien ce travail et de le présenter aujourd'hui. Je suis heureux de lui adresser ici l'expression de ma profonde gratitude.

A Monsieur le Professeur R. MICHEL qui a accepté de présider le jury de ma thèse, j'exprime ici ma très profonde gratitude.

A Monsieur J.-P. USELLE, Maître-Assistant à l'Université de Grenoble, qui a su m'initier et m'aider à la compréhension de la géologie du Tertiaire, toujours présent et prêt à m'apporter sa collaboration.

A Monsieur G. MONTJUVENT, Maître de Recherches au Centre National de la Recherche Scientifique, qui sut me faire profiter de sa longue expérience dans l'étude des sédiments du Bas-Dauphiné.

A Monsieur C.-E. EHRSTROM, grâce à l'aide morale et à l'amitié qu'il m'a accordées pendant tout mon séjour, je garde de lui un très bon souvenir. Il m'a notamment initié à l'étude des minéraux lourds et je lui dois beaucoup dans ce domaine.

A tout le personnel technique de l'Institut Dolomieu, en particulier à M. J.-P. REVOL, Technicien du Laboratoire de Sédimentologie, j'exprime ici ma gratitude.

Je remercie enfin Mme VALLIER qui a dactylographié cette thèse et M. CHABERT qui l'a imprimée.

FIG1_PRÉSENTATION GÉNÉRALE DU PLATEAU DE CHAMBARAN ET DU BAS-DAUPHINÉ.

INTRODUCTION

1 - CADRE GEOGRAPHIQUE (carte fig. 1)

Le Bas-Dauphiné constitue une formation de piedmont des Alpes du Dauphiné; c'est un bassin sédimentaire d'âge tertiaire qui s'étend au pied des chaînes subalpines du Vercors et de la Chartreuse jusqu'au Massif Central cristallin. Il dessine un triangle dont un sommet est la Chartreuse et ses côtés longent le Vercors et le Jura méridional. Dans ce bassin sédimentaire dont la pente s'abaisse doucement vers l'Ouest, les affleurements sont constitués par des sédiments détritiques miocènes, pliocènes et quaternaires. Ce bassin est de dimensions relativement modestes; il s'étend sur une centaine de kilomètres du Nord au Sud et environ 70 km d'est en ouest; il est constitué essentiellement de sables marneux à la base, puis de sables molassiques (grès) et de conglomérats au sommet.

Ce piedmont est fortement disséqué par l'érosion du Rhône et de ses affluents, l'Isère notamment. Il a été partiellement recouvert par les glaciers du Rhône et de l'Isère, qui ont creusé en son milieu la vallée morte de la Bièvre-Valloire séparant le plateau de Bonnevaux au Nord de celui de Chambaran au Sud.

2 - CADRE GEOLOGIQUE (carte fig. 2)

Au début du Miocène (Burdigalien) une première individualisation de la basse vallée du Rhône et du sillon périalpin provoque le dépôt d'une molasse marine dont il ne reste de témoins que dans les massifs de la Chartreuse et du Vercors.

Au Vindobonien, la mer envahit la totalité de la vallée du Rhône ainsi que le Bas-Dauphiné; il s'y dépose d'abord des marnes dites de St-Lattier, puis une molasse sabloargileuse marine d'âge <u>Helvétien</u>, puis une molasse sablo-feldspatique continentale dite "Sables du Cognet" et des argiles fluvio-lacustres dites "Argiles de Brion" (Helvétien supérieur et Tortonien inférieur).

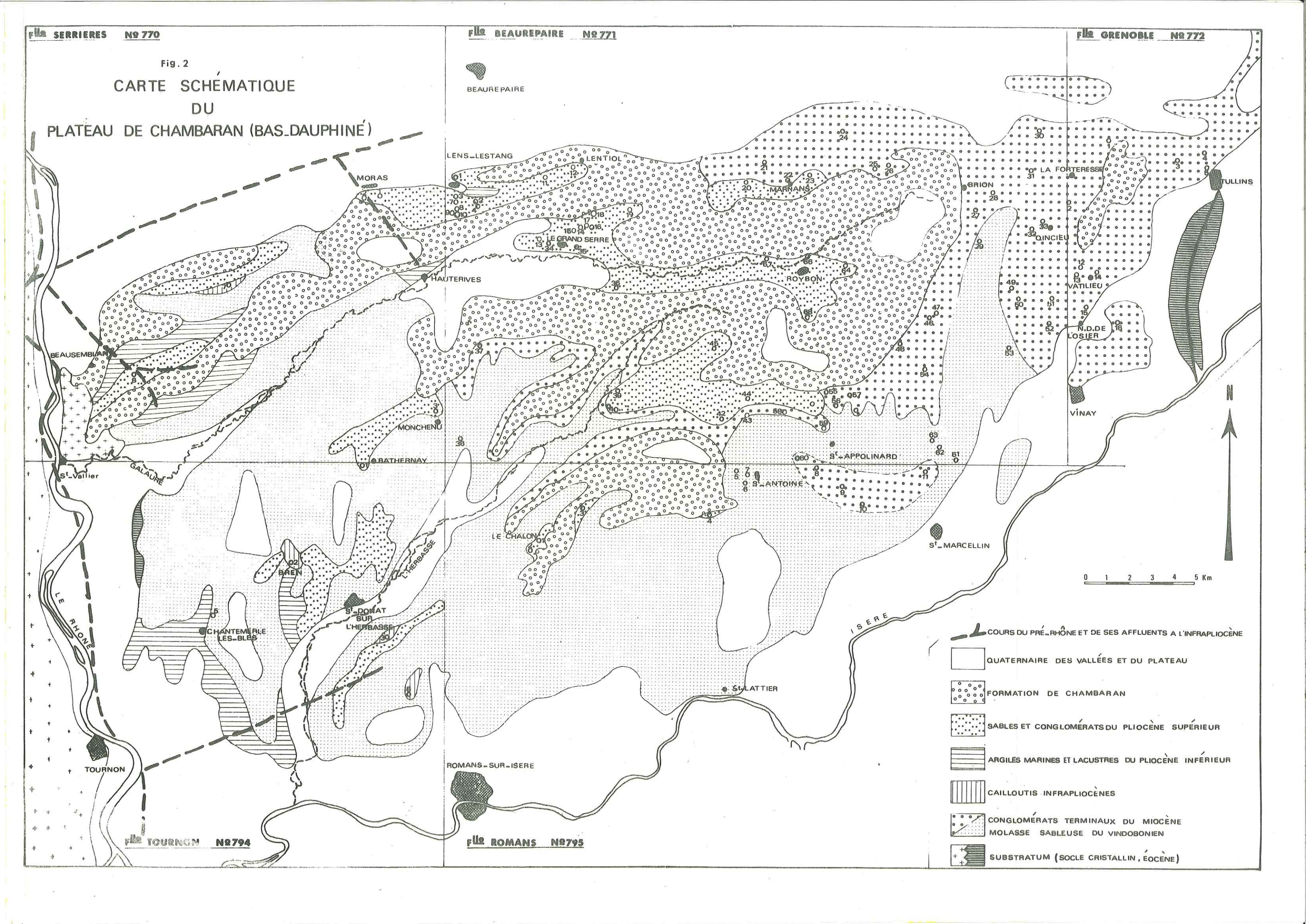
<u>Au tortonien supérieur</u>, les "Conglomérats de Toutes-Aures" sont déposés par les cours d'eau qui descendent les Alpes naissantes.

En cheminan vers l'amont du bassin, la sédimentation devient plus grossière, comme en témoignent les épais "Conglomérats de Voreppe et de St-Nizier".

A la fin du Miocène, la phase rhodanienne provoque le plissement et le soulèvement des chaînes subalpines qui incluent les dépôts précédents dans leurs synclinaux. Il s'ensuit une grande phase d'érosion et de creusement, qu'on peut reconnaître notamment dans la vallée du Rhône et de ses affluents, Isère et Bièvre-Valloire.

<u>Au pliocène</u>, la mer envahit les vallées ainsi constituées ; dans la "Ria rhodanienne" se déposent des argiles bleues marines plaisanciennes puis des argiles lacustres à lignite (Hauterives) surmontées par des sables puis des conglomérats fluviatiles dits de Lens-Lestang. Ainsi les vallées sont peu à peu comblées.

La limite des rivages pliocène est parfois marquée par des bancs d'huîtres, d'âge pliocène, qui sont fixées sur cette surface d'érosion, creusée dans la molasse miocène sous-jacente.



Le comblement pliocène s'achève par le dépôt d'alluvions grossières dont la surface constitue le Plateau de Chambaran.

<u>Au Quaternaire</u>, les cailloutis de Lens-Lestang subissent une altération superficielle à partir du sommet du plateau, entraînant la disparition totale des calcaires et l'ameublissement des éléments cristallins et gréseux et une accumulation d'argile de décomposition dans la matrice sableuse. Cette formation résiduelle est connue sous le nom de "Glaise de Chambaran". Elle est localement recouverte par des dépôts de loess tandis que, dans les vallées (Isère, Bièvre-Valloire), les glaciers abandonnent leurs dépôts morainiques.

3 - CADRE HISTORIQUE

Les épaisses couches sédimentaires détritiques qui s'accumulent au Miocène sur la majeure partie du Bas-Dauphiné représentent un volume supérieur à celui des terrains pliocènes et quaternaires.

L'identification des dépôts du Bas-Dauphiné a commencé il y a plus de deux siècles. La localisation et les premiers relevés en surface sont l'oeuvre de S.C. GRAS (1835) qui y voyait un immense cône de déjection d'alluvions glaciaires, entassées dans la mer à la suite d'un affaissement général.

Ch. LORY (1860) leur attribue une origine marine, les niveaux marneux et ligniteux étant les restes de petits étangs temporaires situées en arrière des plages. Les roches sédimentaires, les granites et les quartzites, abondants dans les niveaux supérieurs, proviendraient des Alpes tandis que les porphyres quartzifères et les jaspes, fréquents dans les couches inférieures et moyennes, auraient été apportées du Massif Central.

Dans ses études sur le Tertiaire du Bassin du Rhône, F. FONTANNES (1880-81) fournit une importante liste de fossiles des sables helvétiens dont les éléments silicieux caractérisent un faciès littoral et proviennent, selon lui, de la dénudation des sables et argiles bigarrés éocènes.

H. DOUXAMI (1896) invoquait des glaciers miocènes pour expliquer le transport, depuis les Alpes méridionales, de galets de granulite et d'autres types dont l'origine ne pouvait, pour lui, être locale.

Dans leur Géologie Dauphinoise (1952), M. GIGNOUX et L. MORET évoquent pour la première fois des deltas de fleuves côtiers : les rivages n'étaient pas éloignés des actuels affleurements des synclinaux de la Charmette (Chartreuse) et de Lans (Vercors).

Dans son travail sur la constitution du Néogène du Bas-Dauphiné (1956), M. CHAUMONT propose une double origine des éléments détritiques : les cailloutis viendraient de la destruction des conglomérats nummulitiques ultradauphinois, tandis que pour des raisons de similitude dans leur nature chimique et minéralogique, les sables et les marnes proviendraient des schistes lustrés.

Dans sa thèse (1963), Y. BRAVARD explique l'usure des grains par leur seul transport sur de longues distances et leur reprise sur le littoral par la mer. Il reprend l'hypothèse de Ch. LORY concernant l'origine des galets de porphyres et de jaspes, à rechercher vers le Massif Central. En plus de l'Isère, d'autres cours d'eau situés plus au Nord (Roise et Guiers) auraient apporté, suivant une direction E-W, des sédiments que la ligne de rivage se serait chargée de répartir suivant une direction N-S.

Depuis FONTANNES il est admis que la vallée du Rhône a été envahie par une transgression du Pliocène inférieur et colmatée par une série sédimentaire comportant
trois termes: des couches de base, marquant le début de l'avancée marine; des éléments moyens, tantôt marneux, tantôt sableux mais toujours marins; enfin un terme
supérieur, continental présentant un faciès très varié de conglomérats, sables et
marnes.

Dans son "Etude Stratigraphique du Miocène Rhodanien", G. DEMARCQ (1962) retrace les limites du delta de Voreppe aux différentes époques du Miocène et situe les conglomérats dans la série régionale. Il décrit, sur le bord oriental de la vallée du Rhône, deux puissants "atterrissages" conglomératiques (Voreppe, Nyons) qui s'intercalent dans la partie supérieure de l'étage.

Il confirme l'origine alpine de la majorité des sédiments détritiques du Miocène rhodanien mais, sur le bord occidental, l'Helvétien vient ensabler un vieux réseau hydrographique (La Véga, Lyon) et, aux sables alpins se mêlent des graviers cristallins provenant du Massif Central et qui, malgré leur lithofaciès, ne sont pas "pontiens".

Dans son travail sur "le Delta de Voreppe - Etude des faciès conglomératiques du Miocène des Environs de Grenoble", J. BOCQUET (1966) répond à plusieurs questions qui se posaient alors : le conglomérat de Voreppe n'est dû ni à une sédimentation glaciaire ou d'éboulis, ni à un étalement marin, ni à un remaniement de conglomérats marins antérieurs ; ce sont les alluvions grossières du delta d'un fleuve important. La partie des Alpes qu'il drainait s'étendait jusqu'aux massifs de la zone piémontaise mais la plus grande part des galets charriés provenait de reliefs calcaires à faciès subalpins, qui représentaient probablement une partie de la couverture des massifs cristallins externes.

Dans sa thèse "La sédimentation détritique au Tertiaire dans le Bas-Dauphiné et les Régions limitrophes", G. LATREILLE (1969) confirme cette provenance alpine : les minéraux lourds proviennent essentiellement des Schistes Lustrés piémontais et, pour une plus faible part, de l'ensemble des zones alpines, depuis la zone piémontaise jusqu'à la zone dauphinoise.

Dans son Etude stratigraphique du Pliocène rhodanien", R. BALLESIO (1972) souligne que la dernière transgression marine néogène sur le bassin rhodanien est comprise dans un cycle sédimentaire complet bien délimité stratigraphiquement. Celui-ci débute durant la fin de la phase régressive située à la limite du Miocène et du Pliocène par des formations détritiques continentales grossières. Il s'achève au Villafranchien moyen, avant le Calabrien (limite conventionnelle Plio-Quaternaire). L'originalité de la série pliocène rhodanienne, due aux particularités paléogéographiques, est de présenter une division tripartite des faciès : les dépôts marins sont encadrés par des formations continentales inférieures et supérieures.

Cet auteur montre enfin que l'évolution du domaine rhodanien, régie essentiellement par les mouvements d'affaissement et d'exhaussement du sol, peut être intégrée dans le cadre plus général de la tectogénèse alpine.

Dans son "Etude hydrographique du Versant sud de la Plaine de Bièvre-Bas-Dauphiné-bassin versant du Haut-Rival (Isère)", D. FOURNIER (1974) souligne que les sédiments détritiques accumulés pendant le Miocène supérieur, sur une épaisseur d'environ 500 à 600 m, sont représentés par des sables marins ou continentaux et par des conglomérats fluviatiles qui prédominent à l'Est (Voreppe); vers l'Ouest, ces conglomérats diminuent progressivement d'épaisseur en s'interpénétrant avec les sables marins ou continentaux et leur épaisseur tend à diminuer progressivement.

A la limite du Miocène et du Pliocène, pendant la phase d'émersion se produit, en bordure du Massif Central et dans l'axe de l'actuelle vallée du Rhône, un creusement important qui entraîne, des le Pliocène inférieur, une nouvelle ingression marine dont les dépôts fossilifères argileux et sableux sont reconnus à l'Est jusqu'à Hauterives.

Le comblement se poursuit au Pliocène supérieur par des dépôts continentaux, d'abord sableux puis conglomératiques, dits de Lens-Lestang.

La fin du Pliocène et le Plio-Quaternaire sont représentés par des dépôts torrentiels ou fluviatiles grossiers (cailloutis de Chambaran) qui constituent un vaste glacis d'accumulation et qui seraient liés soit à une reprise de l'activité orogénique, donc de l'érosion, soit à un changement climatique important (refroidissement) dans les Alpes.

Au Quaternaire, ce changement climatique va se faire sentir de façon plus marquée puisqu'il entraîne l'installation de puissants appareils glaciaires qui s'étalent sur le Bas-Dauphiné.

4 - BUT ET NATURE DE CETTE ETUDE

Comme on peut le déduire du paragraphe précédent, nos prédécesseurs ont laissé en suspens un certain nombre de problèmes qu'ils ne pouvaient aborder par les méthodes traditionnelles car seule la sédimentologie peut les résoudre.

- Problème de la différenciation des conglomérats terminaux du Miocène (de Voreppe et de Toutes-Aures), des conglomérats infrapliocènes et des conglomérats du Pliocène supérieur emboîtés les uns dans les autres et auxquels s'ajoutent les conglomérats de Chambaran. Le meilleur critère de discrimination de ces divers conglomérats s'est avéré être l'analyse pétrographique de leurs galets, c'est donc par cette étude que débute notre travail.
- Problème de la différenciation des sables et grès molassiques miocènes et des sables et grès molassiques pliocènes.
- Reconstitution de l'agent de dépôt final des sédiments miocènes et pliocènes et du type de bassin de sédimentation marin, deltaïque, lacustre, tour à tour décrits par les travaux précédents, voire glacis encore jamais évoqué. La meilleure réponse est fournie par l'analyse granulométrique.
- La nature des agents de transport : Elle est révélée par l'étude morphométrique des galets.
- La recherche de compétence des courants transporteurs est intéressante : la réponse est fournie par l'étude du centile.

Nos prédécesseurs évoquent des courants d'apports de sens E-W: il nous a paru utile de le vérifier. De plus, l'étude de ces courants concourt à la reconstitution géométrique des dépôts.

Enfin le problème des conglomérats de Chambaran pose la question des altérations postérieures aux dépôts et celle des paléoclimats.

Les moyens mis en oeuvre

Les affleurements présentés dans cette étude sont situés sur les feuilles 1/50 000 de SERRIERES (770), BEAUREPAIRE (771), GRENOBLE (772), TOURNON (794) et ROMANS (795) (carte fig. 2 p.).

Chaque affleurement est localisé d'après le numéro de la carte, suivi du numéro de la coupure (1/20 000 ou 1/25 000) dans la feuille (de 1 à 8) puis par le numéro de l'affleurement. Par exemple le conglomérat miocène de Saint-Egrève, situé sur la coupure n° 8 de la feuille de Grenoble est noté : 772 (8) 21.

Les résultats fournis ont été recueillis à la suite d'études sur le terrain (comptages pétrographiques ; analyses granulométriques ; mesures des directions de courant ; centile ; études morphométriques des galets) et d'études menées au Laboratoire de Sédimentologie de l'Institut de Géologie Alpine de Grenoble (analyses granulométriques et pétrographiques des argiles, sables et grès ; spectographie x des argiles ; minéraux lourds des sables).

ETUDE PETROGRAPHIQUE DES CONGLOMERATS

1-1 - LA METHODE

On prélève un lot de 100 à 500 galets,

- 100 : suffisant si le gravier présente une granulométrie homogène et ne contient que deux ou trois espèces minérales différentes de galets;
 - 200 : bonne précision convenant à la plupart des cas ;
- 500 : excellente précision ; cas de gravier présentant une granulométrie très hétérogène et une grande diversité de la nature des galets.

On groupe les galets en lots de mêmes dimensions.

Dans chaque lot, on détermine la nature de chaque galet et on compte les galets de même nature.

Pour éviter que les galets altérés disparaissent, on fait la mesure directement sur place, sans déplacer les galets ; on emploie dans ce cas une des deux méthodes suivantes :

Méthode linéaire (ou de la ficelle)

On mesure et on compte tous les galets intersectés par une ficelle tendue sur 1'affleurement.

Méthode du cadre

Méthode du cadre

On plaque sur l'affleurement un cadre de 50 x 50 cm, on mesure et on compte tous les galets inscrits à l'intérieur du cadre.

Sur la page suivante figure la fiche de comptage utilisée sur le terrain et qui permet ensuite d'effectuer les calculs des pourcentages des diverses natures de galets.

1-1-1- REPRESENTATION DES RESULTATS

The state of the second st

4. A second of the second o

Au total, 87 affleurements ont été étudiés dans les galets des conglomérats terminaux du Miocène et du Pliocène supérieur ; les tableaux suivants exposent les résultats en pourcentage totaux calculés à partir du nombre des galets de chaque nature pétrographique : galets cristallins (Crist.), quartz (Q), quartzites (Qz), calcaires (Calc), radiolarites (Rd), et phtanites (Ph). Comme on le voit et pour simplifier les tableaux, des regroupements dans l'expression de la nature des galets ont été opérés.

PÉTROGRAPHIE (conglomérats)

DOLOMIEU GRENOBLE LABORATOIRE DE SÉDIMENTO LOGIE

C	OMP	TA	GE	SUR	LE	TERR	AiN
---	-----	----	----	-----	----	------	-----

Nº certe B.R.G.M.*	-	Nº c	oupure	:		Nº	de l'échantillon :						
Commune:					· 	Ca	ordonnées ; X =		У-	•		Z. =	m
				!	abando		□ tranchée □				аu	tre 🗆	
Condition de mes								re de					7
	Classe	s di	mension	mell	es: L			Classes					
Nature du galet :	46-30	%	30.70	%	70-150	%	Nature du galet:	16-30	%	30 - 70	%	70-150	%
Quartz filon.	-						Microbreche Microconglomérat						
Granite Microgranite							Grés siliceux				-		
Gneiss Micaschiste							Grés micacé		-	:			
Amphibolite							Quartzite sédim.						
Roches vertes							Grés carbonaté						
Gabbro		_	-				Verrucano						
Quartzite							Gres glauconieux						
Rhyolite Spilite							Argilite rouge						
Radiolarite R,V	,			·									
Phtanite noire													
Calc. pur clair (urg. Tith. Sén)													
Calc. gréseux							-						
Calc. argileux beige													
Calc.argileux Sombre			,										
Calc. à silex							·						
Silex												-	
Chaille						·					·		
Dolomie rousse					·								
Dolomie sombre											:	,	
Grés feldspættique parfois moucheté	_					-				-			
* Grenoble: 772	Beau La C	repai	ire : 77: L'André	: 74;			8 Serrières :746 Tournon:		80	mans :	795		
Remarques:													
	•											<u>.</u>	

1-2 - PETROGRAPHIE DES CONGLOMERATS TERMINAUX DU MIOCENE

1-2-1- REGION DE VOREPPE, MONTAUD (Conglomerat de Voreppe)

Voreppe 772-3-8 300 7 0 6 75 2 Saint-Egrève 772-8-21 380 5,5 3 2 79 2,5 Veurey 772-3-20 548 6 1 13 81 0 Pommiers-la-Placette 772-3-11 620 8 0 0 84 3 Voreppe 772-3-9 650 3 0 0 94 3	ique en %
Saint-Egrève 772-8-21 380 5,5 3 2 79 2,5 Veurey 772-3-20 548 6 1 13 81 0 Pommiers-la-Placette 772-3-11 620 8 0 0 84 3 Voreppe 772-3-9 650 3 0 0 94 3	Rd. Ph.
: Veurey : 772-3-20 : 548 : 6 : 1 : 13 : 81 : 0 : Pommiers-la-Placette : 772-3-11 : 620 : 8 : 0 : 0 : 84 : 3 : Voreppe : 772-3-9 : 650 : 3 : 0 : 0 : 94 : 3 :	: : : : : 2 : 11 :
Pommiers-la-Placette 772-3-11 620 8 0 0 84 3 Voreppe 772-3-9 650 3 0 0 94 3	2,5 0
: Voreppe : 772-3-9 : 650 : 3 : 0 : 0 : 94 : 3 :	. 0 . 0 .
	3 : 5 :
* Montavid	: 3 : 0 :
Montaud : 772-2-17 : 754 : 2 : 2 : 86 : 5 :	5 0
: Montaud : 772-2-18 : 760 : 2 : 0 : 7 : 89 : 2 :	: 2 : 0 :
	: : :
: Valeur moyenne : 5 : 1 : 4 : 84 : 2,5:	: : : : : : : : : : : : : : : : : : :

1-2-2- REGION DE RIVES, TULLINS (Conglomérat de Toutes-Aures)

LOCALITES	: Affleurements	: Alt.	Composition pétrographique en %									
LOCALITES	Afficurements	(en m)	Crist	ist. Q.		Qz.	Calc	Rd.	:	Ph.		
Tullins	: : 772-2-5	: : 300	: : 5	: 1	:	3	: 80	: 1	:	1 .		
Rives	772-2-7	360	8	: 0	, :	9	: 81	: o	:	0		
Rives	: 772-2-6	: 370	: 5	: 1	. :	3	: 87	: 0	:	1		
Tullins	772-1-4	410	5	: 1	:	3	: 80	: 1	:	1 .		
Tullins	: 772-1-3	: 580	: 5	: 1	. :	2	: 91	: 0	:	0		
<u> </u>	:	<u>:</u>	<u>:</u>	<u>:</u>	:		:	<u>:</u>	:	·		
Va.	leur moyenne		5,5	: 1	. :	4	: 84 ·	: 0,5	: 0	,5		

1-2-3- REGION DE BRION, VATILIEU, N.D.-de-L'OSIER (Conglomérat de Toutes-Aures)

LOCALITES	A F £ 1 0 1 2 2 2 2 2 2 2 2 2 2 2 2 2 2 2 2 2	: : fleurements : Alt, :				Composition pétrographique en %							
LOCALITES	Allieurements	_	Crist	Q.	Qz.	Calc.	Rd.	Ph.					
Nerpol	771-8-52	: : 350	: : : 7 :	0	: : 9	: : 82	; ; O	: : 0					
Notre-Dame-de-1'Osier	772-5-15	380	2	1	: 1	94	1	1					
Nerpol	771-8-51	: 460	9 :	. 1	: 9	: 75	. 0	. 0					
Vatilieu	772-5-12	480	6	1	: 2	90	0	0					
Vatilieu	772-5-13	: 490	6 :	1	: 2	: 90	. 0	. 0					
Notre-Dame-de-1'Osier	772-5-16	530	7	1	: 2	90	O	0					
Plan	771-4-30	: 550	2 :	8	:25	: 60	1	: 1					
Nerpol	771-8-49	600	4	1	:12	80	2	0					
Vatilieu	772-5-14	: 610	4 :	1	:10	: 85	0	. 0					
St-Paul d'Izeaux	772 - 1- 1	610	7	0	:15	70	1	6					
Brion	771-4-28	: 630	7	2 .	· : 7	: 80	. 0	. 0					
Quincieu	771-4-32	638	11	0	14	75	0	0					
Forteresse	772-1- 2	: 640	3 :	0	: :26	: 68	1	. 2					
St-Michel-de-St-Geoirs	771-4-31	650	6	1	: 24	66	1	1					
Quincieu	771-4-33	672	6	0	28	66	0	. 0					
Brion	771-4-27	680	13	0	14	66	1	5					
Valeur mo	yenne		6 :	1	: :12	: : 77	0,5	: : 1					

1-2-4- REGION DE MURINAIS, ST-VERAND

T OOLT TIEG	: AGE1	: 41.	Compo	sitio	n pétr	ographi	.que er	ı %
LOCALITES	Affleurements:	Alt. (en m)	Crist	Q.	Qz.	Calc.	Rd.	Ph.
Saint-Vérand	: : 795-4-11	: : 432	: 5 :	0	: : 11	: 63 :	1	2
Murinais	771-8-54	550	8	4	: 11	62	'o ~	1
La Faïtas	: 771 - 7-48	600	9:	1	: 10	: 63 :	0	0
Varacieux	771-8-47	620	6	0	: 4	89	Ó	0
Varacieux	: 771-8-46	: 639	: 6 :	0	: 18	: 76 :	0	0
	:	:			:			
Valeur mo	yenne	<u>. </u>	: 7 :	1	: 11	: 70	0	0,5

1-2-5- REGION DE DIONAY, SAINT-APPOLINARD

LOCALITES	· · · · · · · · · · · · · · · · · · ·	Affleurements	: : Alt.	Comp	ositio	n pétr	ographi	que e	1_%
LUCALITES	* * * *	Allieurements	(en m)	Crist	Q.	Qz.	Calc.	Rd.	Ph.
Chatte	:	795 - 3-10	: : 340	: 4	1	: 3	: : :	0	: 0
St-Appolinard	•	795-3- 8	425	5 5	1	8	75	0	0
St-Appolinard	:	771-7-60	: 470	: 6	. 2	. 1	: 80 :	1	· : 0
St-Appolinard	:	771-7-59	530	: 3	5	2	85	1	. 0
Dionay	•	771-7 - 58	540	. 15	10	. 16	52	0	. 1
Bessin	•	771 - 7-57	. 575	. 7	2	. 3	. 75	0	. 0
Bessin	:	771-7 - 56	: 587	· : 10	. 0	: 8	: 82	0	: 0
Bessin	:	771 - 7-55	600	: 9 :	0	: : 16	: 75 :	0	0
	:		:	•	•	•	:		
Vale	ur moy	enne		: 7	: : 3	: : 7	: 74 :	0,5	: : 0,5

1-2-6- REGION DE MARNANS, ST-PIERRE-de-BRESSIEUX

: TOOATTMEG	: A553	: : Alt.	Comp	ositio	n pét:	rograph	nique	en %
LOCALITES:	: Affleurements	(en m)	Crist	Q.	Qz.	Calc.	Rd.	Ph.
: : Les Balmes	: : 771-3-24	: : 435	: : : 13 :	15	11	: : 61	: 0	: : 0
: Viriville	771-3-21	445	10	2	20	60	0	0
: Marnans	: 771-3-22	490.	: 11 :	5	15	69	. Ō	: 0
Fourneyre-et-Feuges	771-3 25	510	13	5	4	76	1	1
: L'Abbaye	: 771-3-26	520	8 :	16.	· 1	72	1	: 2
:		:	: :	<u> </u>	11.	:	1 -	:
: Valeur	moyenne		: : : : : : : : : : : : : : : : : : :	8,5	10	: : 67,5:	0,5	: 0,5

1-2-7- REGION OCCIDENTALE DU PLATEAU DE CHAMBARAN

LOCALITES	: Affleurements	: ://www.ht/	Composition pétrographique e							
LOCALITES	Affleurements:	(en m)	Crist	Q. :	Qz.	Calc.	Rd.	Ph		
St-Christophe	: : 771-5-37	: : 420	: : : : : : : : : : : : : : : : : : :	11 :	9	: : : : : : : : : : : : : : : : : : :	0	: 1		
Chantemerle	: Cette zone es	: t caract	:: érisée	: par un	e gra	:: inde abo	ndano	: :e de		

enter en entergenerale. La descripción de la companya de la descripción de la companya de la companya de la companya de la companya d La companya de la com

ter de la comunicación de la com

1-2-8- REPARTITION D'EST EN OUEST DE LA VALEUR MOYENNE DE LA PETROGRAPHIE DES CONGLOMERATS TERMINAUX DU MIOCENE DITS DE VOREPPE ET DE TOUTES-AURES

	Comp	ositio	n pétr	ograph:	ique e	n %
	Crist	Q.	Qz.	Calc.	Rd.	Ph.
Région de Voreppe, Montaud	: : 5	: 1	4	: : 84	2,5	: 2
Région de Rives, Tullins	5,5	1	4	84	0,5	0,5
Région de Brion, Vatilieu, N.Dde-l'Osier	: 6	: 1	•	. 77 ·		•
Région de Murinais, St-Vérand	7	1	11	70 %	. 0	0,5
Région de Dionay, St-Appolinard	. 7.	•	•	74	•	•
Région de Marnans, St-Pierre-de-Bressieux				67,5	•	•
Région de St-Christophe		11			0	. 1
				:	· } · · · - · · ·	•
Valeur moyenne générale :	; ; 7,5	4	8	: : 73	1	: 1

1-2-9- CONCLUSION A L'ETUDE PETROGRAPHIQUE DES CONGLOMERATS TERMINAUX DU MIOCENE DITS DE VOREPPE ET DE TOUTES-AURES

- a) En moyenne, le Miocène est caractérisé par une faible proportion de galets cristallins (7,5 %) et inversement une forte proportion de galets calcaires (73 %).
- b) La proportion des galets de cristallin augmente régulièrement d'Est (5 %) en Ouest (11 %) alors que celle des galets de calcaires diminue (de 84 à 60 %).

 La proportion des galets de quartz est d'abord constante (1 %) puis, à partir de Dionay- St-Appolinard, elle augmente régulièrement de 3 % à 11 % dans la région de St-Christophe.
- Or, on sait qu'au cours d'un transport, les galets de calcaires s'usent vite et ont tendance à disparaître rapidement, tandis que les galets de cristallin et de quartz résistent bien et leur pourcentage augmente régulièrement par rapport aux galets calcaires.
- On peut donc en déduire un sens du transport d'Est en Ouest, qui correspond parfaitement aux directions de courant mesurées (cf. ch. 5).
- c) La proportion des galets de cristallin semble (mais ceci n'apparaît pas aussi nettement que les variations E-W) augmenter de la base vers le sommet de la formation.

- d) L'étude pétrographique des conglomérats permet de délimiter les sources du matériel détritique qui constitue, au Miocène supérieur, le Plateau de Chambaran; 1'Etude des faciès conglomératiques du Miocène des environs de Grenoble" par J. BOCQUET (1966) fournit un inventaire très complet de la composition pétrographique des conglomérats et précise leur provenance; cette étude demeure excellente; nous la résumons:
- les galets de calcaires et de silex de grandes dimensions sont dominants; ils proviennent des massifs calcaires subalpins constituant la couverture crétacée et, pour une moindre part, jurassique supérieur des Massifs cristallins externes de Belledonne et du Pelvoux (Chartreuse, Vercors, Dévoluy).
- Les petits galets de silex proviendraient du Jurassique subbriançonnais et piémontais.
- Radiolarites et Phtanites proviendraient de la zone piémontaise et de la zone ultradauphinoise des Ecailles de Soleil-Boeuf.
- Les quartzites viennent essentiellement du Trias de la zone briançonnaise et aussi du Malm de cette même zone.
- Quelques galets de "Verrucano" confirment la provenance depuis la zone briançonnaise.
 - Les quartz sont d'origine filonienne,
- Quelques galets de calcaires nummulitiques et de grès peuvent provenir du Champsaur et du "Flysh" ultradauphinois des Aiguilles d'Arves.
 - Les granites proviendraient du Pelvoux,
- Les roches métamorphiques proviendraient, pour une part (gneiss, quartzites, migmatites), du Pelvoux, et pour une autre part (roches à glaucophane, serpentinites), de la zone des Schistes lustrés,
- Les roches volcaniques enfin sont représentées par des rhyolites, des ignimbrites et des andésites certainement d'âge tertiaire, des spilites triasiques et par des variolarites et des diabases rattachées aux ophiolites de la zone piémontaise.

En conclusion, on voit que "l'Isère miocène" drainait une aire d'alimentation s'étendant depuis la couverture dauphinoise des Massifs cristallins externes (Chartreuse, Vercors, Dévoluy), jusqu'aux zones alpines les plus internes (zone piémontaise). Parmi les massifs cristallins externes, seul le Pelvoux commençait à apparaître. Et cette aire formait un plan incliné s'étendant depuis les zones internes jusqu'au bassin subsident du Bas-Dauphiné (J. BOCQUET, p. 87 et fig. 42).

e) Le Problème des Conglomérats de Notre-Dame-de l'Osier.

Considérés par G. DEMARCQ (1962 et 1970, p. 95-96 et fig. 24) comme un lithotope conglomératique particulier de l'Helvétien supérieur apparaissant dans la région de N.D.-de-l'Osier dans une série générale sableuse, ces conglomérats ne se distinguent en rien des Conglomérats terminaux de Toutes-Aures tant du point de vue pétrographique que granulométrique ou morphométrique.

En réalité (cf. G. MONJUVENT en notice de la feuille au 50 000e de Beaurepaire, sous presse), ces conglomérats forment une colline isolée par l'érosion au milieu des sables miocènes et son apparente position stratigraphique dans l'Helvétien supérieur, donc à un niveau inférieur à celui des Conglomérats terminaux de Toutes-Aures, serait due en réalité à une ride synclinale N-S axée sur N.-D.-de-l'Osier et flanquée à l'ouest par un léger bombement anticlinal N-S axé sur Varacieux et à l'est par un fort relèvement des couches en contact du chaînon urgonien de Poliénas.

1-3 - PETROGRAPHIE DES CONGLOMERATS DE L'INFRAPLIOCENE

LOCALITES	: Affleurements	: : A14	Compo	sitio	n pétr	ograph	lque ei	ı %
LUCALITES	: Afficurements	Alt. (en m)	Crist	Q.	Qz.	Calc.	Rd.	Ph.
St-Donat-sur-l'Herbasse	: 794-4-3	: : 265	: 0	. 7	: : 34	: : 43	4	0
Mantaille	770-7-7	280	5	12	34	45	, o	4
Na Croix de Porte	794-8-8	: 300	: 4	10	· : 31	: 50	0	. 0
Bren	794-3-2	340	0	7	58	27	1	0
Valeur m	oyenne		2	9	39	41	1	1
			: :		:	:	;	:

Par rapport aux conglomérats miocènes, les conglomérats infrapliocènes sont caractérisés par :

- une très faible proportion des galets de cristallin	(2 %)
- une faible proportion des galets de calcaire	(41 %)
- une forte proportion des galets de quartz	(9 %)
- une très forte proportion des galets de quartzite	 (39 %).

Etant donné la forte altérabilité des galets de cristallin et de calcaire, on peut expliquer les proportions ci-dessus, en admettant que les conglomérats infra-pliocènes proviennent du remaniement des conglomérats miocènes: les éléments altérés disparaissent et diminuent très vite en face des éléments non altérables (quartz et quartzite) dont le pourcentage augmente corrélativement.

1-4 - PETROGRAPHIE DES CONGLOMERATS DU PLIOCENE SUPERIEUR

1-4-1- ZONE NORD DU PLATEAU DE CHAMBARAN

1-4-1-1- Région de Marnans

T O CAT TIME C	A C C 1	:	Comp	ositio	n pétr	ograph	ique e	1 %
LOCALITES	Affleurements	Alt. (en m)	Crist	Q.	Qz.	Calc.	Rd.	Ph.
Viriville	: 771-2-20	: : 480	: 19	: 1	: 10	: : 48	0	6
Marnans	771-3-23	540	13	11	8	64	2	2
Valeur moye	enne		16	6	9	56	1	4

1-4-1-2- Région de Lentiol, le Grand Serre

LOCALITES	: Affleurements	: : Alt.	Composition pétrographique en %							
LOCALITES	Allieurements		Crist	Q.	Qz.	Calc.	Rd.	Ph.		
Lentiol	: : 771-1-11	: : 385	: : 27 :	4	: 4	: : 57	: 0 :	2		
Lentiol	771-1-12	400	28	7	5	5 8	0	0		
Le Grand-Serre	771-1-15	430	14	7	. 13	50	2	2		
Le Grand-Serre	771-1-13	430	10	4	11	60	0	4		
Le Grand-Serre	. 771-2-17	440	18	5	10	58	. 0	0		
Le Grand-Serre	. 771 - 5-35	450	. 8	5	. 10	69	0	1		
St-Clair-sur-Galaure	771-2-19	460	. 8	0	4	61	0	0		
St-Clair-sur-Galaure	771-6-36	460	19	10	. 9	54	0	0		
Le Grand-Serre	771-2-18	465	34	8	24	24	1	0		
Valeur mo	yenne.	· · · · · · · · · · · · · · · · · · ·	18	5,5	: 10	÷ 54	0,5	1		

1-4-1-3- Région de Lens-Lestang

Affleurements : : : : : 771-1- 1	Alt. (en m)	Crist	Q.	. Oz.	Calc.		:
: : 771-1- 1					: Calc.	Ka.	Ph.
. ,,,	335	: 25	8	: 4	: 61	0	; o
771-1-3	370	34	6	3	: 44	0	0
: : 771-1- 7	379	22	13	: : 8	: 45	0	: : 0
771-1- 8	390	24	15	14	38	- 0	1
: 771-1- 9	390	25	16	: 1	: 45	0 :	: 3
771-1- 2	415	30	5	9	55	0	0
; 771-1-10	415	: : 36	0	: 30	: 19	0	: : 0
771-1-4	420	20	8	8	40	0	0
	771-1- 7 771-1- 8 771-1- 9 771-1- 2	771-1- 7 379 771-1- 8 390 771-1- 9 390 771-1- 2 415 771-1-10 415 771-1-4 420	771-1- 7 : 379 : 22 771-1- 8 : 390 : 24 771-1- 9 : 390 : 25 771-1- 2 : 415 : 36	771-1- 7 379 22 13 771-1- 8 390 24 15 771-1- 9 390 25 16 771-1- 2 415 30 5 771-1-10 415 36 0	771-1- 7	771-1- 7 379 22 13 8 45 771-1- 8 390 24 15 14 38 771-1- 9 390 25 16 1 45 771-1- 2 415 30 5 9 55 771-1-10 415 36 0 30 19	771-1- 7

1-4-1-4- Région de Moras

LOCALITES	Affleurements	: : Alt.	Compo	sitio	n pétr	ographi	ique ei	n %
HOUALITHO		(en m)	Crist	Q.	Qz.	Calc.	Rd.	Ph.
Moras	770-4-2	: : 400	: 30 : : : :	: : 6	: : 8 :	: : 45 :	: : 0	: 0 : 0

1-4-2- ZONE CENTRALE ET MERIDIONALE DU PLATEAU DE CHAMBARAN

1-4-2-1- Région de Roybon

LOCALITES	: Affleurements	: Alt.	Composition pétrographique en %								
	:	(en m)	Crist	Q.	Qz.	Calc.	Rd.	Ph			
Roybon	: 771-8-67	: : 540	: : : : : : : : : : : : : : : : : : :		• ,	: :	0	: 2			
Roybon (Vatilieu)	: 771-8-66	550	: 17 :	3	:	: :	0	2			
Roybon (1'Aigue Noire)	: 771-8-68	: 570	: 26 :	7	· : 9	: 57 :	0	· : 1			
Roybon (Gerbert)	771-8-64	580	34	2	: 10	50	0	3			
Valeur	moyenne	· · · · · · · · · · · · · · · · · · ·	: 23,5:	4	: 9,	5: 53,5:	0	: 2			

1-4-2-2- Région de Dionay, St-Antoine

TOOLTTOO			Comp	positi	on pét	rograp	nique	en %
LOCALITES	Affleurements	Alt. (en m)	Crist	Q.	Qz.	Calc.	Rđ.	Ph.
: : : : : : : : : : : : : : : : : : :	795-2- 4	: 500	: 28	: 0	: 22	: : 47	: 0	: 0
La Verne	771-6-45	525	19	8	12	60	. 0	. 0
Dionay (Col de la Madelei: ne) :	771-6-42	540	: : 14	: : 6	: : 13	: : 53	: : : 1	: : 1
Dionay (Cottoyaux)	771-6-44	580	13	1	. 9	71	0	. 0
Bessin	771-8-70	580	: 24	0	: 25 ··	: 48	: 0 :	1 -
Valeur mo	yenne	<u>.</u>	20	: 3	: : 16	: : 56	: :0,5	: : 0,5

1-4-2-3- Région de Saint-Bonnet, le Chalon

		: :: -4:1	Comp	osition	pétr	ographi	ique	
LOCALITES	Affleurements:	• .	Crist	Q.	Qz.	Calc.	Rd.	Ph.
Le Chalon (Combe de Vaux)	: : 795-1- 2	420	. 9	: 0	28	: 63	: 0	: 0
	795-1- 1	430	: 8	: o	20	66	0	: 0
•	771-6-40	440	:27	: 6	26	: 40	0	: 1
Combe Charpin	795-2- 3	440	18	0	- 37	45	0	: 0
	771-6-39	: 465	:22	: 0	37	: 33 -	0	: 5
Valeur moyen	ne	-	17 0	: 1	30	49.	0	1

1-4-2-4- Région de Montchenu, Bathernay

1000	Affleurements	Alt.	Compo	sitio	n pétr	ogr ap h i	ique e	n %
LOCALITES	Affleurements	(en m)		Q.	Qz.	Calc.	Rd.	Ph.
Monchenu :	770-8-3	440	: 17 ; :	5	25	: 53	: 0	: 0
Bathernay	794-4-1	450	15			50		. 0
Valeur moyenn	e :	•			•	51,5		0

and the second s

1-4-2-5- Région de Beausemblant

enter de la companya		production of the second second second	. The lost will be			and Seeding	te no e		
			** *1*	Compo	sitio	n pétr	ographi	que er	n %
LOCAL	ITES	Affleurements	(en m)	Crist	Q.	Qz.	Calc.	Rd.	Ph
	nt (St-Philibert)	•	•	•	3	: : 17	: : : : : : : : : : : : : : : : : : :	0	: : 2

and the first of the first of the first of the following control of

1-4-3- REPRESENTATION D'EST EN OUEST DE LA VALEUR MOYENNE DE LA PETROGRAPHIE DES CONGLOMERATS DU PLIOCENE SUPERIEUR

. Zone Nord du Plateau de Chambaran

the last section of the section of t	Com	positi	on pétr	ographi	que er	. %
	Ċrist	Q.	Qz.	Calc.	Rd.	Ph.
Région de Marnans	: 16	: :6	: 9	: : : 56 :	1	4
Région de Lentiol, le Grand Serre	18	5,5	10	54	0,5	1
Région de Lens-Lestang	: 27	:9	: 10	: 43 :	0	0,5
Région de Moras	: 30	6	8	45	0	0
<u> </u>	:	:	:	: :		
Valeur moyenne	23	. 7 -	9	49,5	0,5	1,5

Zone centrale et méridionale du Plateau de Chambaran

<u> </u>						
Chenal de Dionay - St-Antoine	:	: :	:	:	:	:
Région de Roybon Région de Dionay, St-Antoine	23,5 20	3	9,5 16	53,5 56	0,5	2 0,5
Chenal de St-Bonnet-de- Valclérieux, le Chalon	•	: :	•	:	: :	: :
Région de St-Bonnet-de- Valclérieux, le Chalon	: : 17	: 1	: 30	: : 49	: : 0	: : 1
Région de Montchenu, Bathernay	16 ·	5,5 :	24,5	51,5	1	0
Valeur moyenne	19	3	20	52,5	0,5	1
	4					
Région de Beausemblant	: 36	: : 3 :	: : 17	: : 40	: : 0	: : 2

: 26

15:

47: 0,5: 1,5:

: Valeur moyenne générale de la

: pétrographie des conglomérats

: du Pliocène

1-4-4- CONCLUSION A L'ETUDE PETROGRAPHIQUE DES CONGLOMERATS DU PLIQUENE SUPERIEUR

- A. Le fait le plus marquant est que l'on retrouve, dans le Pliocène supérieur, les mêmes espèces pétrographiques que dans le Miocène supérieur, mais avec des proportions différentes :
- les granites et les roches métamorphiques en provenance des Massifs cristallins externes augmentent de façon notable (moyenne générale de 26 %);
 - les quartzites passent à 15 % en moyenne;
 - les phtanites sont en légère augmentation ;
- les calcaires diminuent corrélativement de façon importante (moyenne générale de 47 %).
- B. Comme pour le Miocène la proportion des galets de cristallin et de quartzite augmente légèrement et la proportion des galets de calcaire diminue proportionnellement :
 - de façon générale du bas en haut de la formation;
- localement, lorsqu'on chemine d'amont en aval suivant les axes des grands chenaux déterminés à partir des mesures de direction de courant (cf. chap. 5).

1-5 - CONCLUSION GENERALE A L'ETUDE PETROGRAPHIQUE DES CONGLOMERATS DU

PLATEAU DE CHAMBARAN

% A. - L'étude pétrographique des galets permet de distinguer les divers conglomérats entre eux:

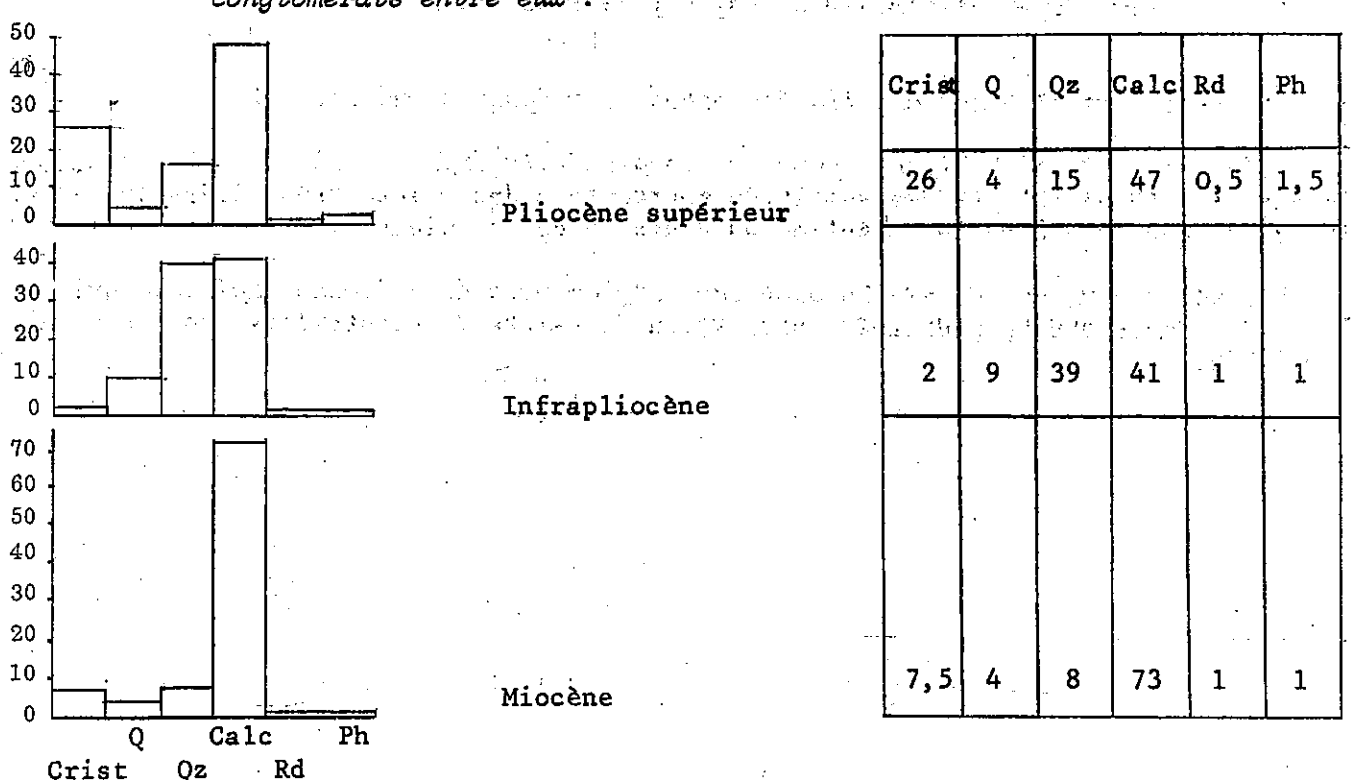


Fig. 3 - Comparaison des compositions pétrographiques des conglomérats du Miocène, de l'Infrapliocène et du Pliocène supérieur.

- a) Les conglomérats terminaux du Miocène présentent un faible pourcentage (de 5 à 11 %, moyenne 7,5 %) de galets de cristallin et un fort pourcentage de galets de calcaires (de 84 à 60 %, moyenne 73 %);
- b) Les conglomérats de l'Infrapliocène présentent un très faible pourcentage (de 0 à 5 % moyenne 2 %) de galets de cristallin, un faible pourcentage de galets de calcaire (de 50 à 27 %, moyenne 41 %) et un fort pourcentage de galets de quartzite (39 %) et de quartz (9 %);
- c) Les conglomérats du Pliocène supérieur présentent un très fort pourcentage (de 16 à 36 %, moyenne 26 %) de galets de cristallin et un faible pourcentage de galets de calcaire (de 56 à 40 %, moyenne 47 %).
- B. Une variation générale (augmentation du pourcentage des galets de cristallin et de quartzite et diminution des galets de calcaire) s'observe :
 - . de bas en haut des conglomérats du Miocène et du Pliocène supérieur,
 - . d'Est en Ouest et en accord avec les directions de courants.

The State of the S

C. - La composition pétrographique des conglomérats permet de situer la province distributrice.

Au Miocène, elle s'étend depuis la couverture dauphinoise jurassico-crétacée jusqu'aux zones alpines les plus internes.
Parmi les massifs cristallins externes, seul le Pelvoux commençait à apparaître.

Au Pliocène, la montée des Massifs cristallins externes est générale et l'érosion attaque leur noyau cristallin de façon plus intense.

D. - Les sédiments miocènes ont-ils été repris aux époques suivantes ?

Cette reprise est manifeste pour les conglomérats infrapliocènes : elle s'accompagne d'une chute brutale et presque totale du pourcentage des galets très altérables de cristallin qui disparaissent par arénisation au cours de ce remaniement.

Une telle reprise est exclue pour les conglomérats du Pliocène supérieur qui présentent une beaucoup plus forte proportion de galets de cristallins que les conglomérats du Miocène.

ETUDE GRANULOMETRIQUE

2-1 - LES METHODES

Le choix de la méthode utilisée dépend du degré d'induration du sédiment et de la dimension des éléments. On utilisera donc :

Pour les sédiments indurés :

- . La méthode linéaire pour les conglomérats,
- . le tamisage virtuel linéaire pour les grès.

Pour les sédiments meubles (sables et graviers) :

Le tamisage classique sur tamis Afnor (de raison $\sqrt[10]{10} = 1,259$).

La monenclature utilisée relative aux matériaux détritiques est celle de la Chambre Syndicale des Pétroles (1966).

. Les rudites (longueur supérieure à 2 mm) :

les blocs (au-dessus de 200 mm), les galets (de 20 à 200 mm), les gravillons (de 2 à 20 mm).

La technique granulométrique utilisée pour mesurer et comptabiliser cette fraction grossière, qu'elle soit meuble ou indurée, est généralement la méthode linéaire, plus rarement le tamisage.

. Les arénites (de 0,04 à 2 mm) :

les sables (S.S.) de 0,2 à 2 mm, les sablons (microarénites) de 0,04 à 0,2 mm.

La technique utilisée est le tamisage classique sur tamis Afnor pour les sédiments meubles et le tamisage virtuel linéaire pour les sédiments indurés.

. Les lutites (dimensions inférieures à 0,04 mm) :

les poudres de 0,002 à 0,04 mm, les micrites (au-dessous de 0,002 mm).

Ces lutites sont analysées par sédimentométrie.

2-1-1- METHODE LINEAIRE (A. CAILLEUX et J. TRICART, 1959)

Cette méthode consiste à tendre une ficelle ou tracer un trait sur l'affleurement de conglomérat (rudite) puis à mesurer pour chaque galet intersecté, la longueur apparente $\frac{L}{s}$ et la longueur \underline{m} suivant laquelle il est intersecté par la ficelle.

On considère que L_s est une bonne approximation de la largeur réelle du galet (qui est la dimension mesurée par le tamisage) et les m, une approximation du volume total correspondant à chaque largeur (au tamisage, ce volume est remplacé par le poids) ; volume et poids donnent des valeurs du même ordre, les variations de densité des roches étant faibles.

2-1-2 - TAMISAGE CLASSIQUE DES SEDIMENTS NON INDURES

Le principe de cette méthode est décrit dans tous les ouvrages de sédimentologie. Le poids de l'échantillon est de 200 g pour les sables, de 10 kg pour les conglomérats.

La préparation consiste en un trempage dans l'eau et une trituration à la main. Pour ceux qui sont légèrement indurés le trempage au pétrole, voire au thiosulfate (10 %) qui n'altère pas les grains, s'impose.

Après séchage en étuve, un tamisage de 10 minutes sur tamis Afnor est effectué par une machine à secousses Roto-Lab (Chauvin).

2-1-3 - TAMISAGE VIRTUEL (sur lames minces)

La méthode est décrite par A. CAILLEUX et J. TRICART (1959 tome 1 p. 134) : on fait défiler la plaque dans le champ du microscope et, pour chaque grain qui se présente à la croisée des fils du réticule, on mesure :

. la plus grande longueur de la section, ou longueur apparente $\mathbf{L}_{\mathbf{S}}$;

to the world the second of the second

. la longueur m suivant laquelle le grain est intersecté par le réticule ; on mesure aussi la distance qui sépare deux grains successifs et qui représente la matrice. La somme des m et l'ensemble de la matrice correspondent à la longueur totale mesurée, celle-ci correspond au poids total (100 %) du sédiment étudié par tamisage normal. and the transfer of the state of

On porte sur l'axe des abscisses les classes exprimées en microns et sur l'axe des ordonnées la masse totale des éléments supérieurs à la "maille considérée" (ou à la classe considérée). "翻译",更多一定"一点"的"新闻文章"。

Million and Milly transport of the cases, and agree the after that he does not by the expense all the co

2-1-4 - SEDIMENTOMETRIE

State of the State of State of the

and the first transfer to the Cette technique est appliquée à la fraction des éléments de taille inférieure à 40 ui apparaît à la base de la colonne des tamis.

Elle est basée sur les propriétés de la Loi de STOCKES.

Les échantillons subissent la préparation suivante :

- The Mark Congress Color of the désagrégation mécanique par trempage dans l'eau distillée et trituration par machine à secousses pendant une heure ;
 - . <u>élimination éventuelle de la matière organique</u> par H₂O₂ . élimination éventuelle des carbonates par HCl N/10 jusqu'à pH

ateure en la repuesta en esperago antrológico de la companión de la companión de la companión de la elegación La forega de entrológico de la estada de la companión de la companión de la companión de la companión de la est

- . dispersion de la suspension par le phosphate trisodique en milieu alcalin et agitation pendant une quinzaine d'heures. Les suspensions sont placées dans des éprouvettes, groupées par batterie de douze, dans un bain-marie Rivière qui les maintient à température constante. La sédimentation est alors analysée :

soit par la méthode densimétrique (S. MERIAUX, 1954) :

on suit la variation de la densité de la suspension qui sédimente en mesurant à des intervalles de temps bien définis l'enfoncement du densimètre ;

soit par la méthode de la pipette :

prélèvement à intervalles de temps définis, à l'aide d'une pipette d'Andreasen, d'une fraction de la suspension à une hauteur h et pesée du résidu sec de cette suspension.

Nous avons aussi utilisé, à titre de contrôle des résultats précédents, une balance à sédimentation (Sartorius).

2-2 - EXPRESSION DES RESULTATS

2-2-1- SOUS FORME DE TABLEAUX DETAILLES où sont présentés les résultats bruts de tous les affleurements et échantillons étudiés : tableau 2A pour les conglomérats terminaux du Miocène, tableau 2C pour les sables miocènes, tableau 2D pour les conglomérats infrapliocènes, tableau 2E pour les sables du Pliocène supérieur et tableau 2F pour les conglomérats du Pliocène supérieur.

2-2-2- SOUS FORME DE TABLEAUX REGIONAUX :

Le tableau 2B présente les moyennes des caractéristiques des conglomérats terminaux du Miocène et le tableau 2G celles des conglomérats du Pliocène supérieur.

2-2-3- COURBES DE FREQUENCES SIMPLES (échelle semi-logarithmique)

Cette représentation fournit les valeurs du mode principal et des modes secondaires (fig. 4, 5, 10, 11, 12, 14, 15 et 16).

2-2-4- COURBES CUMULATIVES (échelle semi-logarithmique)

(Fig. 4, 5, 10, 11, 12, 14, 15 et 16).

Ce système de représentation permet de calculer les fractiles qui sont exprimés par les symboles Q₁, Q₂, Q₃.

 $\rm Q_2$ est le symbole de la médiane (valeur de l'abscisse correspondant à l'ordonnée de 50 %) ;

 Q_1 , ou premier quartile, est la valeur de l'abscisse correspondant à l'ordonnée de $-25\,\%$ et tel que 25 % des sédiments sont plus fins que lui ;

3, ou troisième quartile, est la valeur de l'abscisse correspondant à l'ordonnée de 75 % et tel que 75 % des sédiments sont plus fins que lui.

Nous précisons que nous comptabilisons les particules par les éléments fins.

Ces fractiles permettent de calculer les indices de classement suivants :

- "Sorting index" de Trask (So) ou coefficient de mauvais classement

so
$$= \sqrt{\frac{Q_3}{Q_1}}$$

Si So < 2,5 le sédiment est bien classé Si So > 4,5 le sédiment est mal classé la moyenne est située vers 3.

- Qd $oldsymbol{arphi}$ de KRUMB $\overline{ ext{EIN}}$: exprime la valeur de la relation :

$$Qd \varphi = \frac{Q_1, Q_3}{2}$$

On mesure la longueur du segment $Q_1 Q_3$ avec une bandelette appelée bandelette des φ ; cette bandelette est graduée : -1,0, 1, 2, 3, 4..., 1 unité de cette échelle étant l'intervalle qui représente un doublement des dimensions des particules. On divise ensuite l'espace (- 1 à 0) en 10 parties égales.

Plus le $\mathrm{Qd} \, \varphi$ est grand, plus le sédiment est mal classé, le $\mathrm{Qd} \, \varphi$ est donc un indice de mauvais classement (hétérométrie).

- Hétérométrie de Cailleux (Hé)

Cet indice s'exprime par l'intervalle d'abscisse logarithmique correspondant à un intervalle d'ordonnées de 25 % choisi dans la partie la plus redressée de la courbe. Cet intervalle d'abscisse est mesurée avec la bandelette des Qd $oldsymbol{arphi}$.

Comme pour le $\mathrm{Qd} \varphi$, plus la valeur de Hé est petite, mieux le sédiment est classé.

- Asymétrie

Cet indice exprime la répartition des éléments par rapport à la médiane Q2.

$$s = \frac{Q_1 \times Q_3}{(Q_2)^2}$$

- Si l'asymétrie est égale à 1, le mode coïncide avec la médiane, Si l'asymétrie est positive (S > 1), le classement est maximal du côté fin, Si l'asymétrie est négative (S < 1), le classement est maximum du côté grossier.

Il existe d'autres indices que nous n'avons malheureusement pas pu utiliser car ils utilisent des valeurs telles que P_{10} , P_{16} ... que nous n'avons que très rarement dans nos courbes obtenues généralement par la méthode linéaire puisque nos conglomérats sont presque toujours fortement indurés.

Discussion des notions de classement et de triage

A partir des courbes cumulatives se distinguent le classement et le triage.

Le classement (sorting) est donné par la pente de la courbe : plus la pente est forte, plus le sédiment est homométrique, bien classé (well sorted) et inversement.

Le triage (maturity) est donné par la linéarité de cette courbe ; si c'est une droite, le sédiment est très bien trié, mature ; au contraire les inflexions de cette courbe traduisent des mélanges, c'est-à-dire un mauvais triage (immaturity).

L'interprétation sédimentologique de ces deux notions peut être la suivante :

le classement dépend de l'agent de dépôt final, alors que <u>le triage</u> dépend du nombre des apports et aussi de l'agent de dépôt final.

Un sédiment homométrique ou bien classé caractérise un milieu de type marin.

Un sédiment hétérométrique ou mal classé a été engendré dans un milieu continental ou épicontinental.

Un sédiment bien trié ou mature évoque une unité d'apports, dans le contraire, le mauvais triage ou immaturité et la marque d'une diversité d'apports.

2-2-5- LES DIAGRAMMES Q₁, Md, Q₃ de D. J. DOEGLAS (1968)

Ils sont classiques et permettent, outre de figurer les résultats de nombreuses analyses, de situer facilement les principales caractéristiques granulo-métriques Q₁, Md, Q₃ et de saisir rapidement l'importance de l'hétérométrie (la droite représentant le sédiment est d'autant plus longue que celui-ci est plus hétérométrique) et de l'asymétrie qui est d'autant plus forte que les 2 branches situées de part et d'autre de Md sont plus dissemblables (fig. 6 et 13).

2-3 - LES FAITS ET LEURS INTERPRETATIONS

Au total 84 affleurements ont été étudiés dans les sédiments du Mio-Pliocène du Plateau de Chambaran. Les résultats de ces analyses sont présentés de manière synthétique dans les tableaux et dans les figures qui accompagnent le texte.

2-3-1- GRANULOMETRIE DES CONGLOMERATS TERMINAUX DU MIOCENE

48 analyses granulométriques ont été effectuées dans ces conglomérats, (tabl. 2A et fig. 4, 5 et 6).

2-3-1-1- Médianes et Q_3

Les médianes oscillent entre 10 et 48 mm autour d'une médiane générale de 24 mm : ces conglomérats sont donc en général assez grossiers. La représentation sous forme de courbes cumulatives des médianes et des Q₃ (fig. 7) illustre bien cette grossièreté.

Les médianes et les Q présentent une diminution générale quand on chemine de l'E vers l'W du plateau, c'est-à-dire en suivant la direction générale des apports. Il y a aussi une nette tendance à l'augmentation quand on va de bas en haut du plateau (fig. 8).

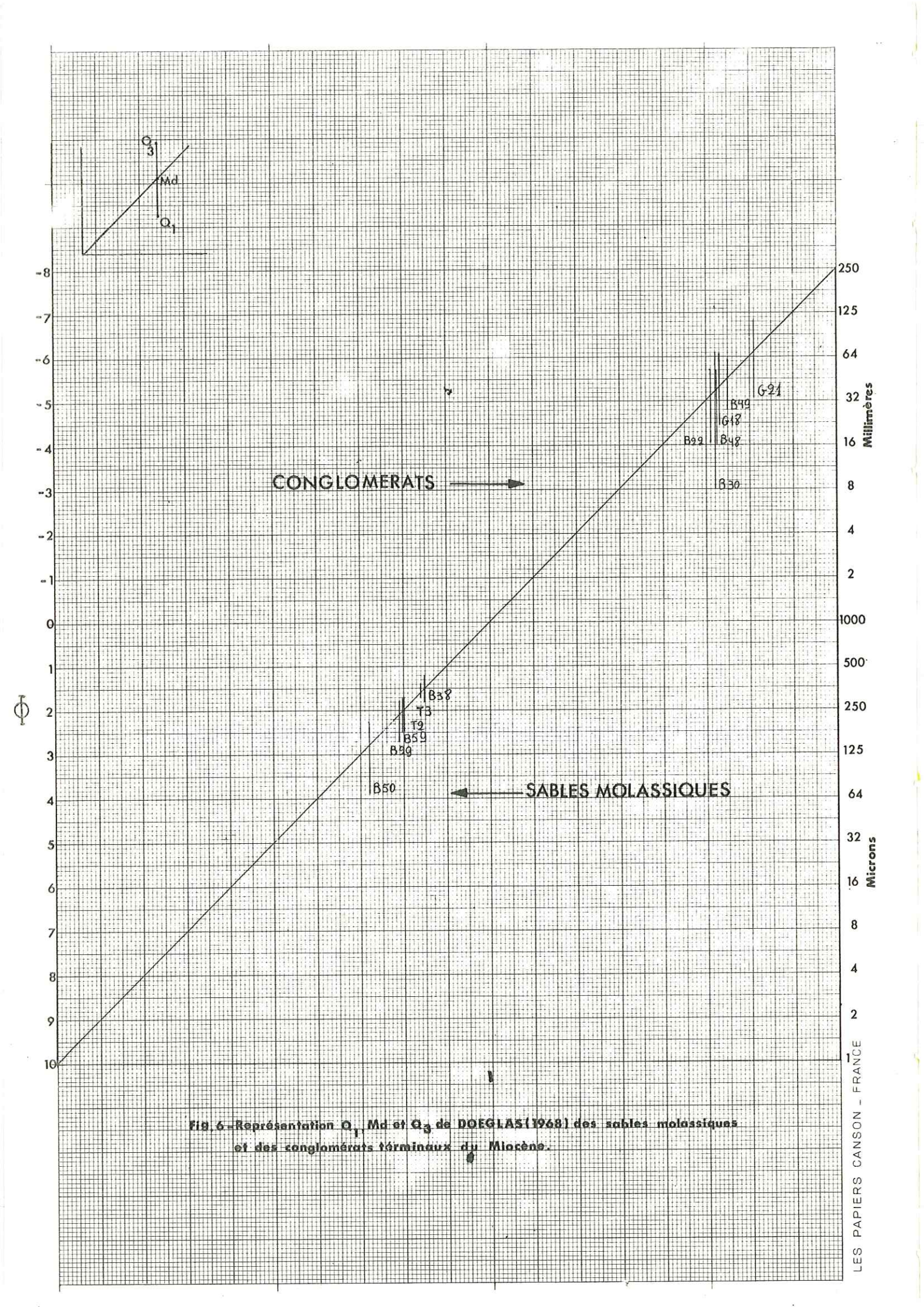
Ces deux faits sont matérialisés par la figure 8 sur laquelle sont représentés géographiquement et altimétriquement les affleurements de la région orientale et centrale du Plateau de Chambaran et où, pour chaque affleurement, sont indiquées les valeurs de la médiane (Q_2) et du Q_3 : on voit nettement que Md et Q_3 diminuent d'Est en Ouest et augment de bas en haut du plateau; ceci explique le fait que la partie sommitale du plateau est partout recouverte par des galets de grandes dimensions.

TABLEAU 2 A -ERISTIQUES GRANULOMETRIQUES DES CONGLOMERATS TERMINAUX DU MIOCENE CLASSES PAR NUMEROS D'AFFLEUREMENTS

	······································		: 772 - 3 :		ı	: 772 - 1 :		· 771 - 60	771 - 59	ı	1	771 - 56	771 - 55	7717- 54		i	771 - 51		ı	771 - 48	771 - 47		•	t	•	: 771 - 32 ·		. 771 - 30 :			-1	771 - 27		771 - 26	**	771 - 25			771 - 22	D'AFFLEUREMENTS	NUMEROS
		TULLING (- L'Eslinard)	TULLINS (Route de l'Eslinard)		LA FORTERESSE	St- PAUL d'IZEAUX	Chanaize)	Ange) St-APPOLINARD (Le Mas de	St-APPOLINARD (Puy -Saint	DIONAY (Cul de Perrette)	BESSINS (Combe de Mouze)	BESSINS	BESSINS (Route de la Trappe)	MURINAIS	penay)	NERPOL et SERRES (Char-	NERPOL (Barratière)	Côtes)	Ä	CHEVRIERES (Faltas)	VARACIEUX	Roybon)	VARACIEUX (Route de	St-CHRISTOPHE (Le Laris)	QUINCIEU	OUINCIEU		PLAN	· Aures)		ST-MICHEL DE St-GEOIRS	BRION (Le Talus)	(L'Abbaye)	ST-PIERRE DE BRESSIEUX	FOURNEYRE et FEUGES	ST-PIERRE DE BRESSIEUX	(Les Balmes)	ST-SIMEON DE BRESSIEUX	MAR NANS	LOCALITES	
	; ;	846.2	845,15		840,1	841,9	828	830		827,6	830	829,7	829,43	833,9	839,5		839,575	837,7		832,775	834, 2	834,3		813,77	839,4	837,87		838.5	836 6			835, 9	831,49		831,20		829,77		827.7	×	COORDO
5.577	3	338, 7	 338 3	••	336, 2	339,1	324	325	·•	326,4	327	326,55	327, 17	328, 55	330,8		332	332,3	•	329,675	330, 32	331	. •••	328, 85	335, 4	835,18		339.4	336.6	, ••		335,7	337,67		337,43		339,11	,	336.8	н	COORDONNEES LAMBERT
	· ·	410	580,	**	640	0.19	470	: 530	••	540.	575	587	600	550	350	••	460	600		600	620	639	••	420	672	638		550	630	••		680	520	;	510	•••	435	• •	490	7	MBERT
	••	••	**	••	••	••	••	••	••	••		• •			• ••	•	•	29	• •	, 16			•	• • • • • • • • • • • • • • • • • • •		••		∞	••	••		••	••	••	••	•	••		: 17	ုင္	., 1
• • •	``	40	 &	23	13	22	••	••	••	. 19	. 22	. 18	 38	18.5	12	••	28	48	•	39	17	24,5	••	14,5	42	••	27	39	17	••	••	10	 <u>ఴ</u>		33	•	 ჯ	••	35	Md	* !
		70	70.	48	38	40	<u>జ</u>	••	7	., &	55	50	78	40	40		5 5 2	62	•	55	4	57,5		25	75	င်း င်း	48	72	28	•••	••	40	70	· · ••	ម្ចា មា		54	,,	58	ွှင	
		· 20-50-80	25-50-80	31,5 - 50	50	4	12.5 - 31.5	31,0 - 63		20 - 31,5	31,5 - 63	50	25-50-100	20-40-63	16-25-40		31,5 - 63	63	.	50 - 100	16-25-63	12,5-25-40-63		20	12,5-25-50	· 31,5 - 63	20-31.5-80	31, 5-50-100	25 - 35	••		24-40-63-160	16-40-100-116		20-31,5-50-80	• • •	÷ 40		40 - 80	MODES)
	,	0,8	. 0,9	1,0	1,15	. 0,9	1,25		•• •	. 0,7	1,2	1,0	1,0	, 0 , 9	نبا 42	. ••	, , 0, 8			, o, 5	1,25	1,25	••	0,8	0,8	1,15	0.75	0.95	 0,7	••	••	1,15	0,65	• ••	0.85		0.9	••	0,35	He	
			••	••	••	••		••	··					•	,	•••	• •1	0,6	, . ,	0,9	•	• ••	• ••	• ,••	,,		••	•••	••		-		••	•			•	••	0	φbo	"
		••	••		•	**	••	••	••	• • •	• •	•	# *'	•	. 41	•	•	0,78		0,57		:	•	• ••	••	**	**		••	•	••	••		• ••	•	•	••	••	0.80	S	* t
				••		•••	••	••	••	••		• •		• •			•	1,46		1,85	,		11	• ••	••	••	••		••	••	;	••	••	•		• •	••	,,	1,84	so	1 1 1 1 1 1 1 1 1 1 1 1 1 1 1 1 1 1 1
	A.				•							•	••	,	• •			•			•		•	· •••	••		7*	.**	•				•,			••	•.•	7.	- 7		•

Suite du Tableau 2 A

/ Nimbros d'affini	••	: (Coordonnées Lambert	nnées Lan	bert)	l			••	••				••
rement)	: (Localités)	×	.	2	⁰	. Md	°	MODES	He	9 PO.	S	08	
772 - 5	TULLINS	846,4	338,1	300	••	••	30	12,5-25-50-80	1,2	••	••	••	••
772 - 6	RIVES (Sud)	848,7	343,7	370		. 14	38	40 - 63	1,05	,		,	
772 - 7	RIVES (Réaumond)	849,1	344,35	360		. 30	. 42	40-100-200	8.0			<u>.</u>	
772 - 8	VOREPPE (Gachetière)	859,95	337,20	300			. 42	25-50+63	1,3				
772 - 9	VOREPPE (Chablais)	860, 21	338,26	. 650		. 27	. 67	10-20-40-63-80	<i>i</i> ⊢				
772 -11	PREFANTON	860,77	339,57	620			52	31,5-50	۵.				٠.
772 -12	ROUTE DE VATILIEU	840,8	333, 2	480		98		25-50-100					٠.
772 -13	ROUTE DE VATILIEU	. 840,75	331,1	490		·• ·	45	12,5-25-50-80	1,7				
772 -14	* VATILIEU	841,5	333,1	610		22	. 20	12,5-50-100					
772 -15	: NOTRE-DAME-de-L'OZIER	. 841,2	331,4	380		. 25	. 95.	25-50-80	9,1	., ,			
		••					28	25-50	1,5	•			•
	••	••	••	••		••	. 52	55-63-100	1,3	••	••	••	••
772 -16	N.D. de 1'OZIER (Bergeran-	••		••		••			••	. ,		,	
	: dière)	. 842,1	330,75	530		. 50	. 45	25-50-125	1,5				
772 -17	ROUTE DE MONTAUD	. 853	333,65	754		**	34	. 25	0.5				
772 -18	ROUTE DE MONTAUD	853,1	335,6	760	23	#	: :	40-63	9 0	0,77	0,78	1,69	
772 -21	St-EGREVE (Route de Char-						•						• .
	mette)	863,4	332,6	380	34		115	63-100	0,75	6.0	0,79	1,84	
795 - 8	St-APPOLINARD (au Fond												
	de Loup)	826	323	425			92 .	. 25-63	1,85				
795 -10	CHATTE (Aux Pins)	831	322	340			. 38	25-40	1,4				
795 -11	St-VERAND (Le Truchet)	834	323	432			. 42	31,5-50-80	1,3		1	1	٠.
	MOYENNE GENERALE								1,08	0,75	0,75 0,74	1,73	



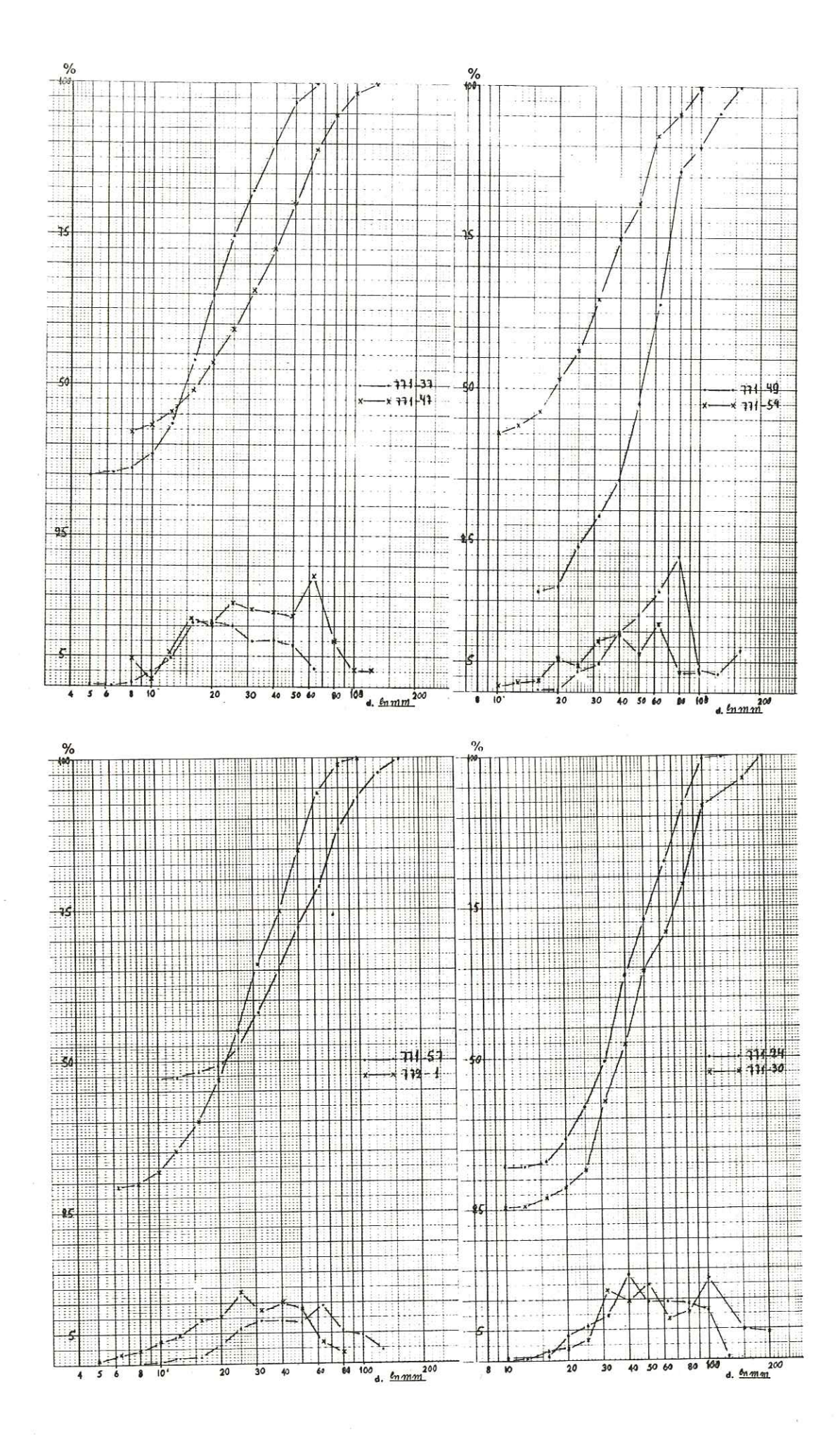


Fig. 5 - Courbes granulométriques des Conglomérats terminaux du Miocène.

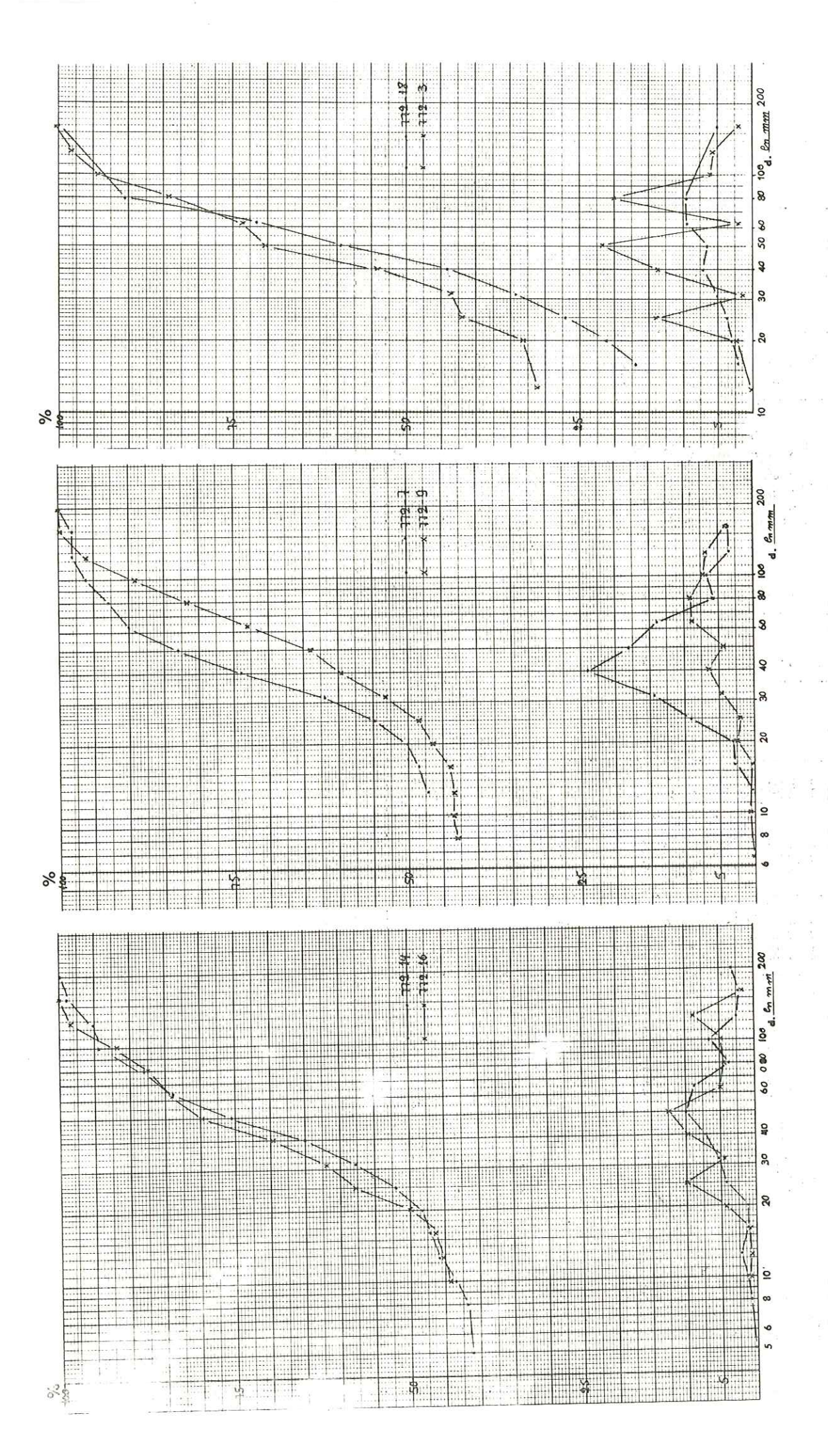
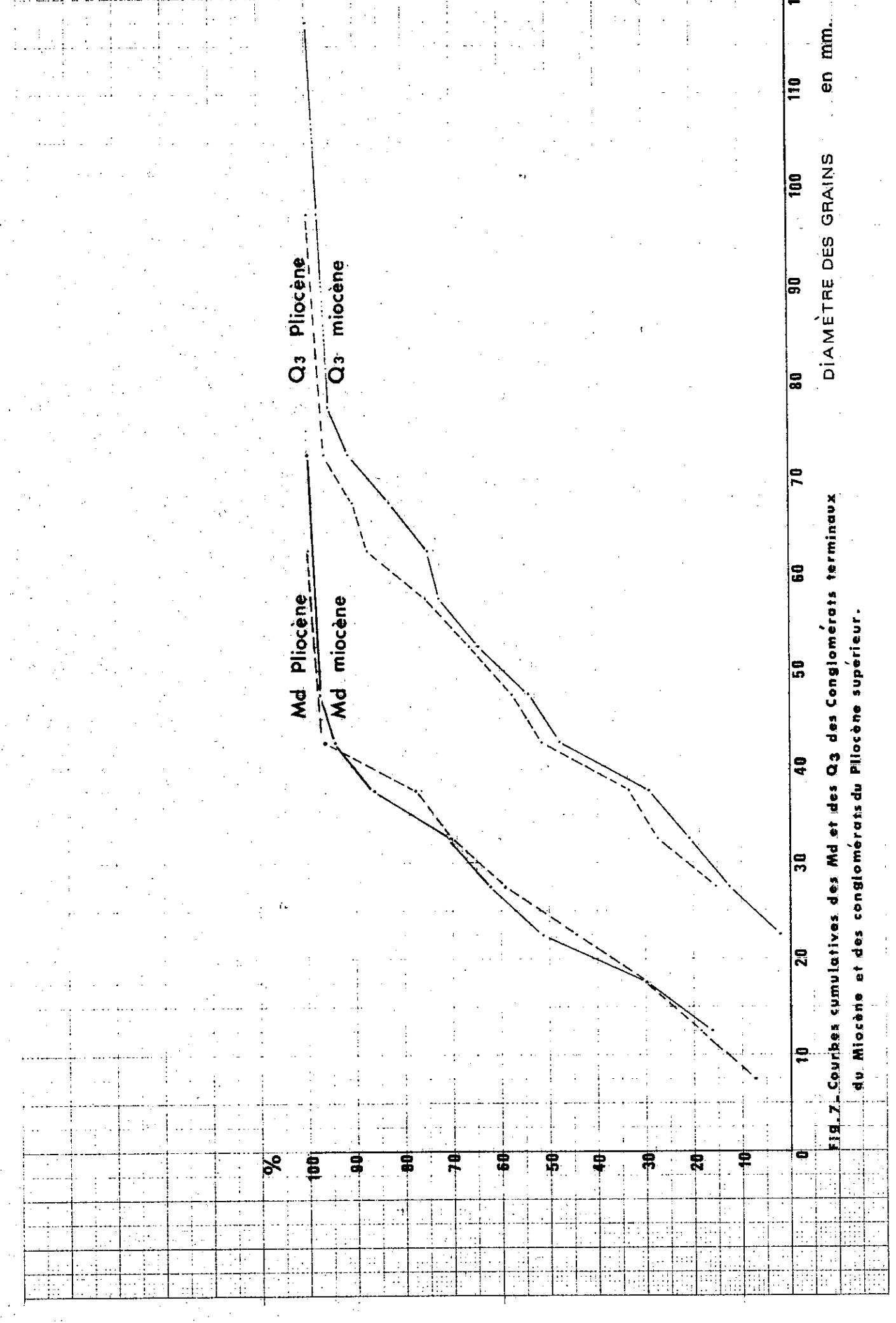


Fig. 4 - Courbes granulométriques des conglomérats terminaux du Miocène.



THE INCOMPLICATIONS OF T

2-3-1-2- Hétérométrie

La moyenne générale des hétérométries (tabl. 2A) calculées pour les 48 analyses est de 1,0 et le mode principal est également situé à 1,0.

L'histogramme des hétérométries (fig. 9C) coïncide très bien avec celui figuré par A. CAILLEUX et J. TRICART (1959) pour représenter les dépôts fluviatiles (fig. 9B). En revanche, il ne superpose en aucune manière avec l'histogramme des hétérométries des sédiments marins (fig. 9A).

On peut donc admettre que, d'une manière générale, les conglomérats terminaux du Miocène ont été déposés par un appareil fluviatile, de type plutôt rapide.

A titre d'essai, nous avons figuré géographiquement sur une carte les 37 valeurs de l'hétérométrie correspondant aux divers affleurements étudiés et nous avons constaté le caractère aléatoire de cette répartition : on ne peut, de la sorte, définir ni un sens des courants, ni des régions particulières (tabl. 2B).

Cela veut dire aussi que ces dépôts ont été effectués sur tout l'ensemble du territoire étudié par des appareils identiques; les variations de l'hétérométrie sont alors dues à des variations, dans le temps, des conditions de dépôt qui se font de façon parfois tranquille (l'hétérométrie est alors faible), parfois brutale (l'hétérométrie est alors élevée).

2-3-1-3- Qd Ψ

Quelques échantillons seulement permettent de calculer ce paramètre ; il complète cependant assez bien le paramètre précédent (tabl. 2A).

La moyenne (0,73) et la médiane (0,71) sont, là encore, caractéristiques d'un dépôt fluviatile.

2-3-1-4- <u>Asymétrie</u>

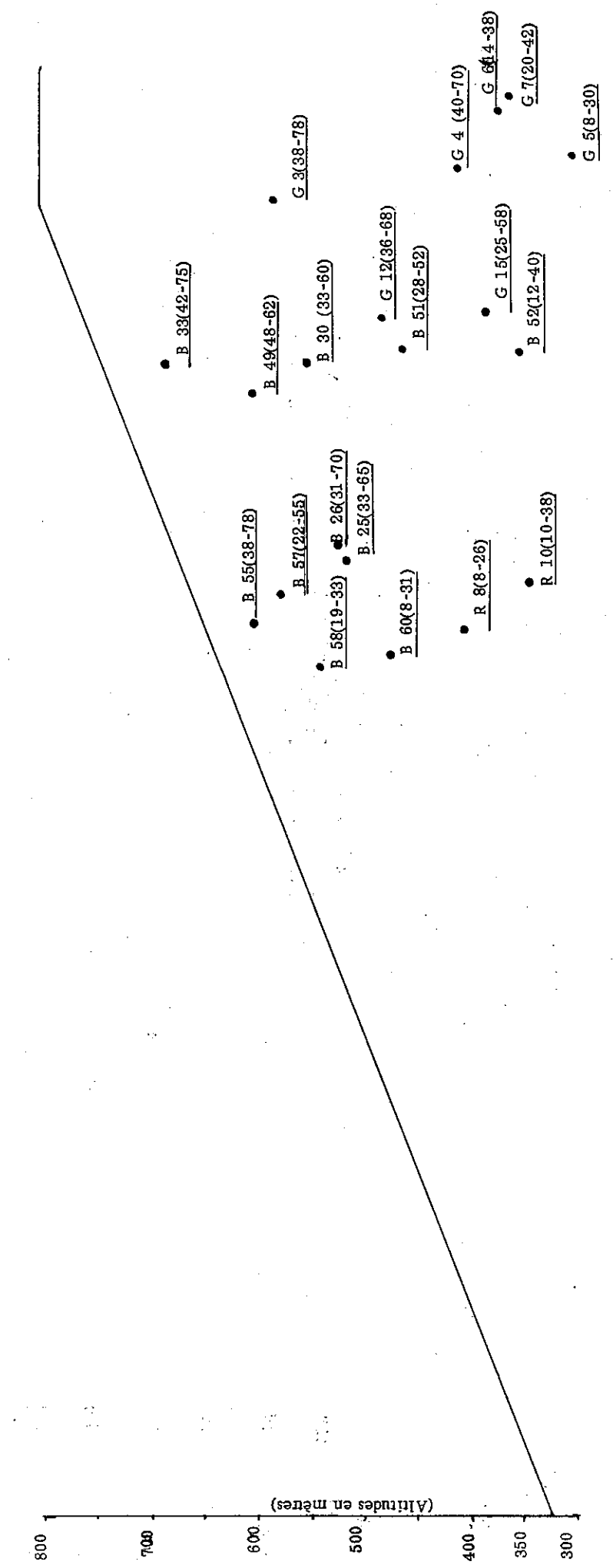
Elle est toujours négative (tab1. 2A) et oscille entre 0,57 et 0,80 autour d'une moyenne de 0,73 et d'une médiane de 0,78.

Il y a donc un déficit des parties fines; ceci caractérise un dépôt rapide dans un milieu turbulent qui provoque la lévigation des parties fines et la concentration des parties grossières.

Ce milieu peut être le milieu côtier, mais nous venons de voir que l'hétérométrie et le Qd φ indiquent un dépôt fluviatil, de type plutôt rapide. D'autre part, si nous étions en milieu côtier, l'homogénité générale des hétérométries sur l'ensemble du plateau nous forcerait à admettre un milieu côtier vaste et plat ; or, sur de tels espaces, la sédimentation est généralement fine ; la grossièreté générale de nos sédiments exclut cette vaste platitude côtière.

On est donc poussé à admettre un dépôt rapide dans un milieu turbulent non côtier, effectué par des appareils fluviatiles, sur une pente relativement forte (quelques degrés).

On est ainsi tout naturellement conduit à évoquer une sédimentation de glacis sous forme d'épandages en nappes (sheet-flood) par des cours d'eau divagants (braided rivers) alimentés par des chasses d'eau (wash-out) plus ou moins brutales.



RIVES, TULLINS

Col de-Tou-Plan Quin-St-Paul d'

Marnans

tes-Aures, cieux, d'Izeaux, Varacieux, Serre-Ner-Vatilieu,

ю.

St-Verand.

síe ux.

de-Bres-

St-Pierre

Dionay St-Appolinard. L'Osier.

Fig.8 - Représentation géographique et altimétrique des médianes (Q2) et des Q3 des conglomérats terminaux du Miocène dans la région centrale et orientale du Plateau de Chambaran.

Andrews and the second of the			* .		
AFFLEUREMENTS	_	Moye	nne rég	ionale	des
AFFLEUREMENTS AFFLEUREMENTS AFFLEUREMENTS AFFLEUREMENTS	5 :	Hé	Qdφ	S	So
Région de Voreppe, Montaud :(772) 8-9-10-11		:		:	1,76
Région de Rives, Tullins :(772) 3-4-6-7	en al	0,89			ing die der En geborg
Région de Brion, Vatilieu, :(771) 27-28-30-3 N.D. de 1'Osier : 50-51-52 :(772) 1-2-12-13	. 4.	1,03			
Région de Marnans, St-Pierre de (771) 22-24-25-2	26,	0,69	0,6	0,80	1,84
Région de Murinais, St-Vérand :(771) 29-46-47-4 :(795) 11	48-54	1,04	0,9	0,57	1,85
Région de Dionay, St-Appolinard : (771) 55-56-57-1		:1,50			
Région de St-Christophe :(771) 37-38	,	:0,80 :		78 6	
Moyenne générale	7 3. S.		0,73	0,73:	1,73

Tableau 2B : Moyennes des caractéristiques granulométriques des conglomérats terminaux du Miocène classés par région.

And the problem of the

and the second of the second o

2-3-1-5- Modalité

La quasi-totalité des conglomérats montre des courbes assez semblables les unes aux autres et caractérisées par un mode principal bien marqué, accompagné de un ou plusieurs modes secondaires relativement réduits.

On est donc en présence d'une formation assez homogène dans l'ensemble et présentant des hétérogénéités de détails ; les provinces distributrices sont donc suffisamment éloignées des lieux de dépôts pour qu'une homogénéisation, encore imparfaite, ait pu commencer à se réaliser.

2-3-2- GRANULOMETRIE DES SABLES DU MIOCENE SUPERIEUR (Vindobonien)

Il s'agit, soit de lentilles sableuses disséminées dans les conglomérats, soit de sables molassiques, souvent épais et qui couvrent de vastes surfaces.

2-3-2-1- Les lentilles sableuses des conglomérats (tabl. 2C et fig. 10) Les échantillons prélevés dans des lentilles sableuses sont caractérisés par une faible hétérométrie (0,35), un faible $Qd\Psi$ (0,36) et une asymétrie légèrement négative (0,97).

On peut donc penser à un dépôt effectué dans une zone relativement calme, par un courant fluviatile peu violent mais dont la légère turbulence provoque la lévigation des parties les plus fines.

Ces sables se présentent sous la forme de dépôts plus ou moins lenticulaires et interstratifiés dans les conglomérats. Cette disposition est le fait d'appareils fluviatiles divagants (braited rivers); les éléments grossiers sont abandonnés dans l'axe des courants, tandis que les fines particules sont déposées à la périphérie, dans des zones plus calmes.

2-3-2-2- Les Sables gréseux du Vindobonien (tabl. 2C et fig. 11)

La microfaune a permis à G. DEMARCQ (1962, 1970, p. 86) et à G. LATREILLE (1969, p. 88) de distinguer de bas en haut :

- <u>les Sables de St-Donat</u>, à microfaune marine de l'Helvétien supérieur,
- les Sables de Montchenu, à microfaune marine, à la limite de l'Helvétien supérieur et du Tortonien inférieur,
- les Sables de Tersanne, à microfaune marine du Tortonien inférieur,
- les Sables supérieurs à Hélix delphinensis, continentaux, du Tortonien supérieur.

Tous ces sables présentent des courbes granulométriques semblables les unes aux autres et caractérisées par une faible hétérométrie (moyenne 0,35), un faible $Qd\Psi$ (moyenne 0,44) et une asymétrie légèrement négative (moyenne 0,93).

TABLEAU 2 C : CARACTERISTIQUES GRANULOMETRIQUES DES SABLES MIOCENES CLASSES PAR NUMEROS D'AFFLEUREMENTS :

- LENTILLES SABLEUSES DES CONGLOMERATS TERMINAUX DU MIOCENE

	794 - 2	771 - 59	771 - 50	771 - 29	771 - 38	794 - 3			795 - 8	771 - 56	771 - 30	NUMEROS D'AFFLEUREMENTS
MOYENNE GENERALE pour les	: BREN : (Sables supérieurs)	ST-APPOLINARD (Sables supérieurs)	: NERPOL : (Sables supérieurs)	: BRION : (Sables supérieurs)	: MONTCHENU (La Léonard) : (Sables de Montchenu)	ST DONAT-sw-L'HERBASSE (Sables de St-Donnat)	- SABLES GRESEUX DU VINDOBONIEN	MOYENNE GENERALE	: St-APPOLINARD (au fond du Loup)	BESSINS	: PLAN	S. LOCALITES
pour l'ensemble des sables pour les sables supérieurs.	: 805,4	. 830	: 838,9	836,1 :	: 813	810	ONIEN	** ** **		829,7	838,5	COORD
les sables périeurs	: 318,7	325	: 331,8	334,5	: : 324,75	315,5	<i>:</i>			326, 55	: 339,4	COORDONNEES L.X
	: 340	530	: 520	530	: 315	265				587	: 550	LA MBERT Z
.0,19 0,16	: 0,19	0,185	: 0,07	0,145 0,160 0,210	0,30	0,32	. **	0,16	• • • • • • • • • • • • • • • • • • •	0,160	: 0,165	o
0,26	: 0,25	: 0,245	: 0,15	0,240 0,220 0,270	: 0,37	0,35		0,41	. 0,82	0,20	: 0,22	Md
0,32		: 0,320	0,22	0.350 0.270 0.330	: 0,45	0,42		0,26		0,25	: 0,28	
	: 0,315-0,630-1,0	0,315	0,05-0,16-0,63	0,050 - <u>0,250</u> 0,250 0,315	: : 0,315	0,400		1	0,100	0,200	: 0,063 - <u>0,250</u>	MODES
0,35	0,4	0,4	0,55	0,45	: 0,3	0,15		0,35	0.4	0,35	: 0,3	He
0,44	: 0,4	, 0,4	0,83	0,65 0,4 0,35	. 0.3	0,2		0,36		. 0,33	: 0,4 :	o o
0,93 0,89	1,0	0,98	0,68	0,88 0,89	0,98	1,09	·	0,97	1 1 1 1 1 1 1 1 1 1 1 1 1 1 1 1 1 1 1 1	. 1,0	0,95	S
1,35 1,41	: 1,31	1,31	: 1,77	1,55 1,30 1,25	: : 1,22	1,14		1,27		; 1,25	: 1,30	so

38-11t ---

Fig. 11 - Courbes granulométriques des sables molassiques du Miocène.

Globalement ces chiffres indiquent des dépôts caractéristiques d'un milieu littoral ou d'un milieu fluviatile long; cependant des nuances apparaissent:

- <u>les Sables de St-Donat</u> (794-3) et de Montchenu (771-38) présentent un excellent classement et un très bon triage, typiquement marins.

- <u>les Sables supérieurs</u> (771-29, 771-50, 771-59, 794-2) présentent un moins bon classement et une plurimodalité fréquente caractéristique d'un moins bon triage : l'environnement est plus nettement continental.

Il est intéressant de noter que les caractéristiques granulométriques de ces sables et l'environnement continental qu'on en déduit sont identiques aux caractéristiques des lentilles sableuses des Conglomérats continentaux du Miocène.

2-3-3- GRANULOMETRIE DES CONGLOMERATS DE L'INFRAPLIOCENE

Quatre analyses granulométriques ont été effectuées dans ces Conglomérats (tabl. 2D, fig. 12 et 13).

L'hétérométrie est forte (0,75-1,1 - 1,2-1,45) et correspond à un dépôt par un appareil fluviatile rapide, voire même à un cône alluvial torrentiel.

Le $Qd\phi$ est particulièrement élevé (3,1 et 3,27) et caractérise un dépôt torrentiel (fig. 12 et 13).

L'asymétrie est très fortement négative (0,07 et 0,22) et indique un courant très turbulent qui remanie en permanence les sédiments déposés. L'examen des courbes montre un déficit, donc une remise en suspension et un départ des particules très fines (de diamètre inférieur à 0,2 mm) et surtout des particules moyennes (de diamètre compris entre 0,5 et 10 mm).

En résumé, les conglomérats de l'Infrapliocène correspondent à des dépôts effectués dans un milieu très turbulent par des appareils fluviatiles de type torrentiel.

2-3-4- GRANULOMETRIE DES SABLES DU PLIOCENE SUPERIEUR

Il s'agit soit des sables qui, dans le Pliocène supérieur, sont situés au-dessous des conglomérats, soit de lentilles sableuses disséminées dans ces conglomérats.

2-3-4-1- Les Sables dit de Lens-Lestang du Pliocène supérieur

(tabl. 2E et fig. 14) sont des sables moyens (Médiane moyenne de 0,26 mm).

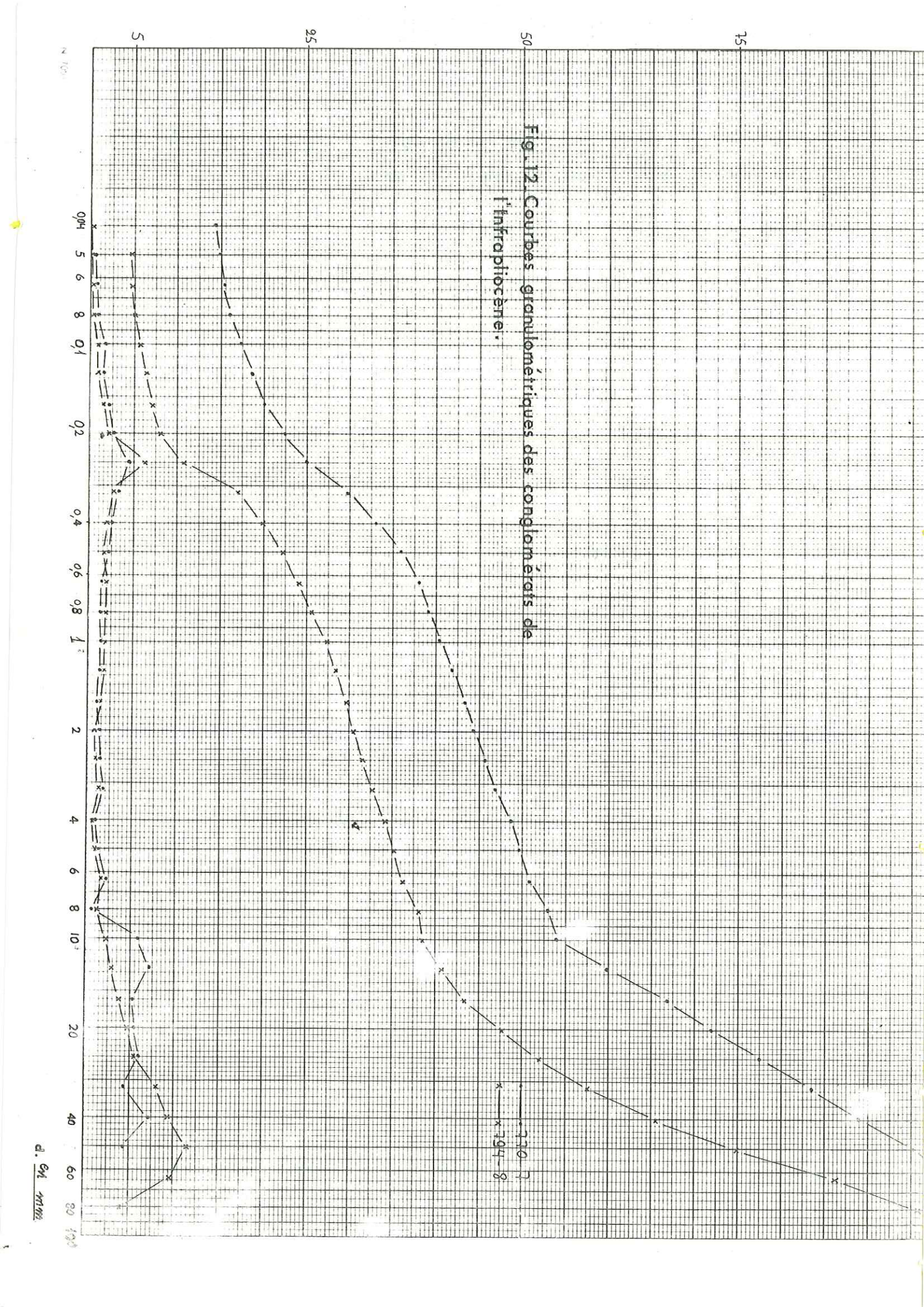
Leur hétérométrie varie de 0,25 à 0,7 autour d'une moyenne de 0,4. Leur $Qd\Psi$ varie de 0,35 à 0,45 autour d'une moyenne de 0,4.

Ces deux paramètres indiquent un dépôt de type fluviatile lent, ou de type deltaïque. Comme on sait, par ailleurs, que ces sables succèdent à des argiles lacustres, on peut admettre un dépôt fluviatile, par des cours d'eau relativement lents à compétence peu marquée, s'écoulant sur des pentes faibles.

L'asymétrie varie de 0,84 à 0,89 autour d'une moyenne et d'une médiane situées à 0,87. Elle est donc négative et correspond à une <u>légère turbulence</u> qu'explique un remaniement après dépôt par les chasses d'eau successives.

TABLEAU 2 D : CARACTERISTIQUES GRANULOMETRIQUES DES CONGLOMERATS DE L'INFRAPLIOCENE

794 - 8	794 - 3	794 - 2	770 - 7	NUMEROS D'AFFLEUREMENTS
: ROMANS (La Croix-de-Porte): 811,1	ST-DONAT-sur-L'HERBASSE	: BREN (Boffards)	MANTAILLE	S LOCALITES
811,1	810	805,4	802,3	COORDO
: 313,1	315,5	: 318,7	802,3 331,3	COORDONNEES LAMBER
: 300 : 0,72	265	: 340	280	LA MBERT
: 0,72	••	•• •	280 . 0,25	О
22	; 18	•• -	•• (19 km C fi	Md
50	. 40	: 36	 22	္မဝ
: 0,25-3,15-6,3 : 0,75 : 3,1 : 0,07 : 8,33	25-40-80-100	: 40 - 50	$0,25-3,15-6,3 1,45$ $3,27$ $0,22$ $9,38$ $12,5-\frac{40}{}$	MODES
: 0,75	 2	: 1,1	1,45	He.
 ω, 1	.,	••	3,27	He Od P
0,07	••		0,22	d (P)
			9 38	so



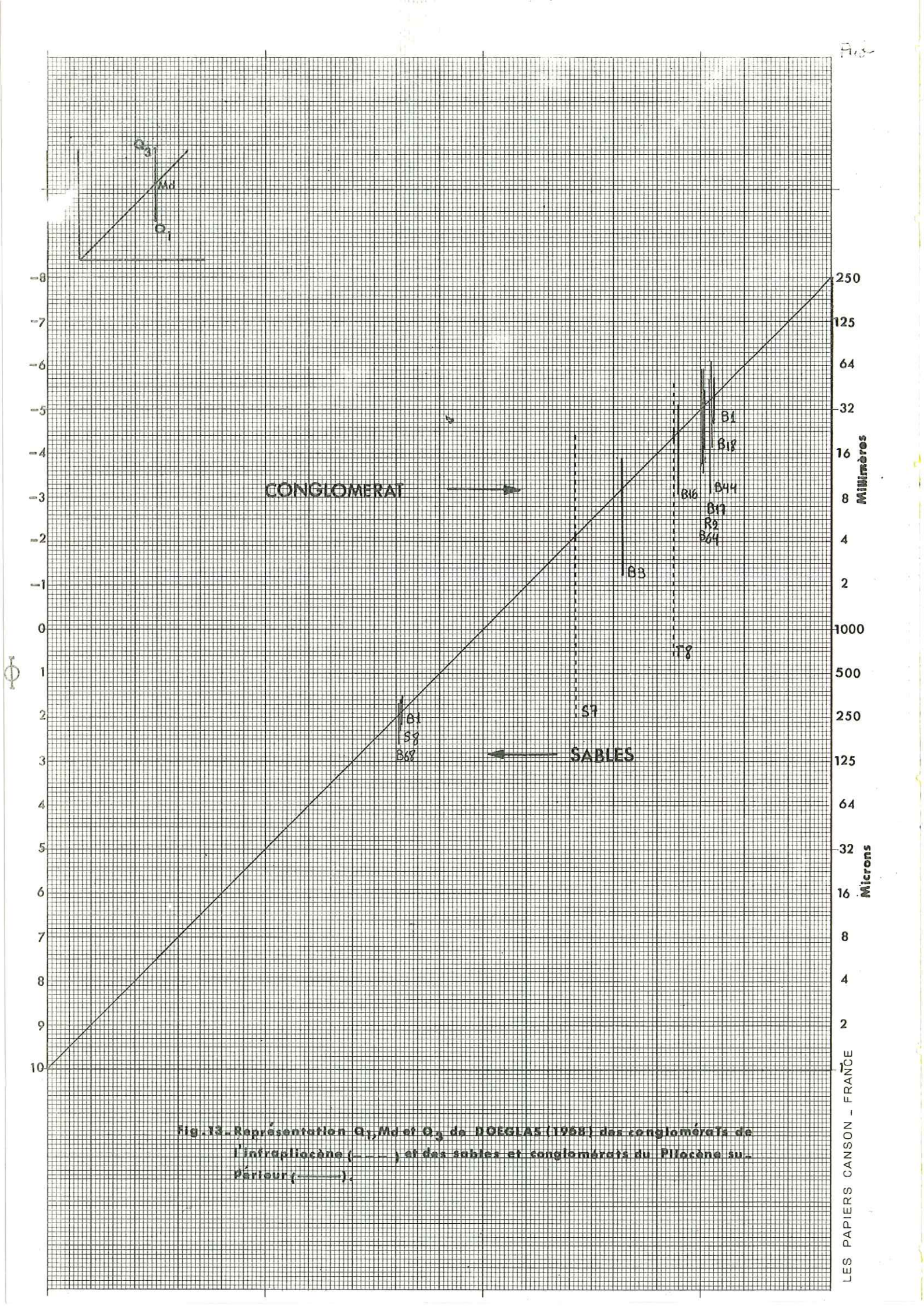


TABLEAU 2 E : CARACTERISTIQUES GRANULOMETRIQUES DES SABLES DU PLIOCENE SUPERIEUR CLASSES PAR NUMEROS D'AFFLEUREMENTS.

- LES SABLES DITS DE LENS-LESTANG

ļ			1					1,,			1 1 1 1 1 1 1 1 1 1 1 1 1 1 1 1 1 1 1 1		
:	1	0,87	0,4 : 0,4 : 0,87	: 0,4		: 0,33	: 0,25 :	: 0,19				MOYENNE GENERALE :	
	: 1,3	0,87	0,35 : 0,45 : 0,87 : 1,35	0,35	0,25	0,33	: 0,26	0,18	570	828,50 : 330,55 : 570	828,50	ROYBON (L'Aigue Noire)	771 -68
	-ų i			. 0,6	: 0,40	: 0,49	: 0,32 :		: 415	812,40 : 334,75 : 415	812,40	Echatel) :	
						01		- ·	•			LENS-LESTANG (Combe :	771 -10
	002 (10 <mark>12</mark>)			0,5	0,63 - 0,250	0,21	0,14	•, ••	370	335,25 370	812,40	LENS-LESTANG :	771 - 3
	: 1,30	0,86	: 0,40:	: 0,,28	: 0,063 - 0,35	0,46	: 0,38 :	: 0,27	**	••	seoff		••
7 :	: 1,27	0,87	: 0,35 : 0,87 :	: 0,30	: 0,315	0,31	: 0,26 :	: 0,19	••			nière) :	
	••			: 0,70	: 0,063-0,16-0,25	0,20	: 0,09 :	••	: 335	812,33 : 336,47	812,33	LENS-LESTANG (Barbon- :	771 - 1 :
	1,25	0,84	0,35 0,84	0,25	0,250 - 0,500 : 0,35	0,30	. 0,26 . 0,31	0,19	: 300	326,8	798,2	BEAUSEMBLANT (St-Philibert): 798,2	770 - 8
	.				MICHO	ω.	H				>		DAFFEEDONGWENTO
	 S	n			· ·)			A MBERT	COORDONNEES LAMBERT	COORDC	:	NUMEROS :
-			1	1 1 1 1 1 1									

- LENTILLES SABLEUSES DES CONGLOMERATS DE LENS-LESTANG

	771 - 70	: 771 - 36 : : 771 - 40	: 771 - 19	=	771 - 11	NUMEROS D'AFFLEUREMENTS
MOYENNE GENERALE	BESSINS	: ST-CLAIR-sur-GALAURE : (Aux Simons) : 819,8	ST-CLAIR-sur-GALAURE		: LENTIOL :	LOCALITES
	828,8	819,8	820,4		816,47	COORDO X
	326, 8	331,75	335,4		816,47 : 336,6 : 385 : 0,06	COORDONNEESLAMBERT
	,, ,, ,,	: 460	: 460		: 385	MBERT
0,13	0,18			** ***	: 0,06	 O
0,17	0,22	: 0,07 : 0.18	: : 0,21	: 0,07	: 0,23	Md
0,29	0,28	0,15	0,52	: : 0,21	: 0,39	
	0,25	: 0,125 : 0,125	0,160-0,250 $0,1-0,25$: 0,050-0,080-	0,39 : 0,063-0,125-	MODES
0,74	0,5	 	: 1,2	: 1,4		He:
0,63 0,86				n n	: 1,4	
0,86	: 0,5 : 0,92	 1 06			: 1,4 : 0,44	ω
	1,24		ni in m		: 2,54	SO

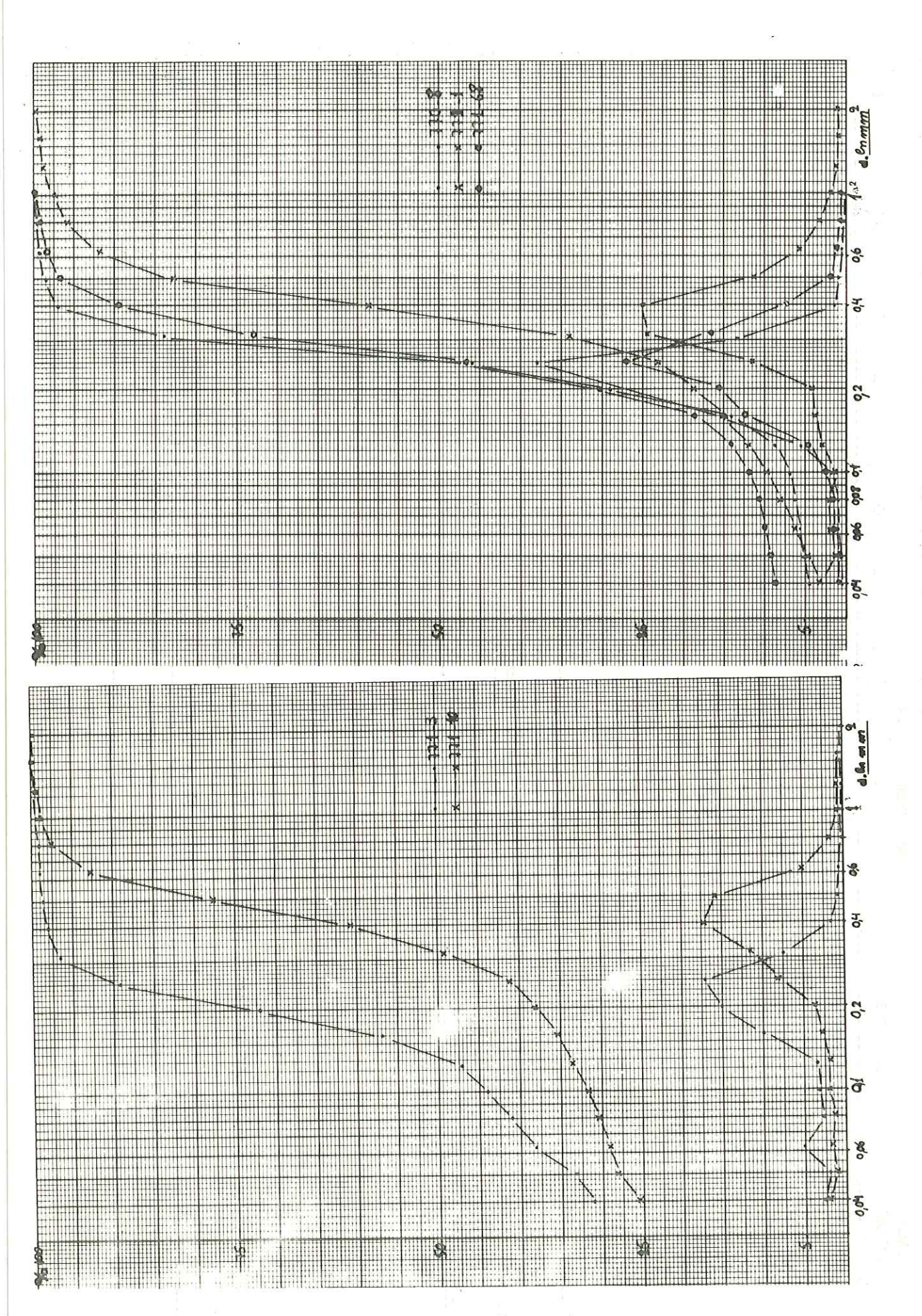


Fig. 14 - Courbes granulométriques des sables du Pliocène supérieur dits de Lens-Lestang.

La modalité est variable : généralement unimodale et située autour de 0,25 et 0,40, elle peut aussi être bimodale ou même plurimodale. On retrouve ici cette zone d'incertitude située à la limite du fluviatile et du deltaïque.

2-3-4-2- Les lentilles sableuses des Conglomérats du Pliocène supérieur (Tabl. 2E et fig. 15).

Elles sont fréquentes et leur extension latérale est souvent très grande au point qu'elles peuvent apparaître, dans les carrières, sous l'apparence de bancs.

Leurs hétérométrie varie de 0,3 à 1,4 autour d'une moyenne générale de 0,74;

Leurs $Qd \varphi$ varie de 0,3 à 1,4 autour d'une moyenne générale de 0,63.

Ces deux paramètres caractérisent un dépôt de type fluviatile lent.

L'asymétrie varie de 0,44 à 1,06 autour d'une moyenne générale de 0,86, très proche de l'unité ce qui indique une absence presque totale de remaniement du sédiment après son dépôt qui s'effectue dans un milieu calme.

La modalité est variable, uni-, bi- ou même trimodale.

On peut donc penser à des sédiments fluviatiles abandonnés dans des zones tranquilles et de faible énergie, en dehors des courants principaux où se déposent les conglomérats de Lens-Lestang.

2-3-5- GRANULOMETRIE DES CONGLOMERATS DU PLIOCENE SUPERIEUR (dits de Lens-Lestang).

36 analyses granulométriques ont été effectuées dans ces conglomérats; (tabl. 2F et fig. 13 et 16).

2-3-5-1- Médianes et Q_3

Les médianes oscillent entre 5,5 et 62 mm, autour d'une médiane générale de 28 mm. Ces conglomérats sont donc des sédiments grossiers (fig. 7).

Nous avons représenté géographiquement et altimétriquement les affleurements de la région septentrionale du Plateau de Chambaran (fig. 17) et, comme pour le Miocène, on observe une augmentation générale de la grossièreté au fur et à mesure qu'on se rapproche du sommet du plateau.

En revanche l'aire géographique représentée est insuffisante pour que puisse être mise en évidence une variation granulométrique importante d'Est en Ouest.

2-3-5-2- Hétérométrie

La moyenne générale des hétérométries (tabl. 2F) calculées pour les 36 analyses est de 0,84 et le mode principal des hétérométries est situé à 0,8.

L'histogramme des hétérométries (fig. 9D) coıncide très bien avec celui figuré par A. CAILLEUX et J. TRICART (1959) pour représenter les dépôts fluviatiles (fig. 9B). En revanche, il ne superpose en aucune manière avec l'histogramme des hétérométries des sédiments marins (fig. 9A).

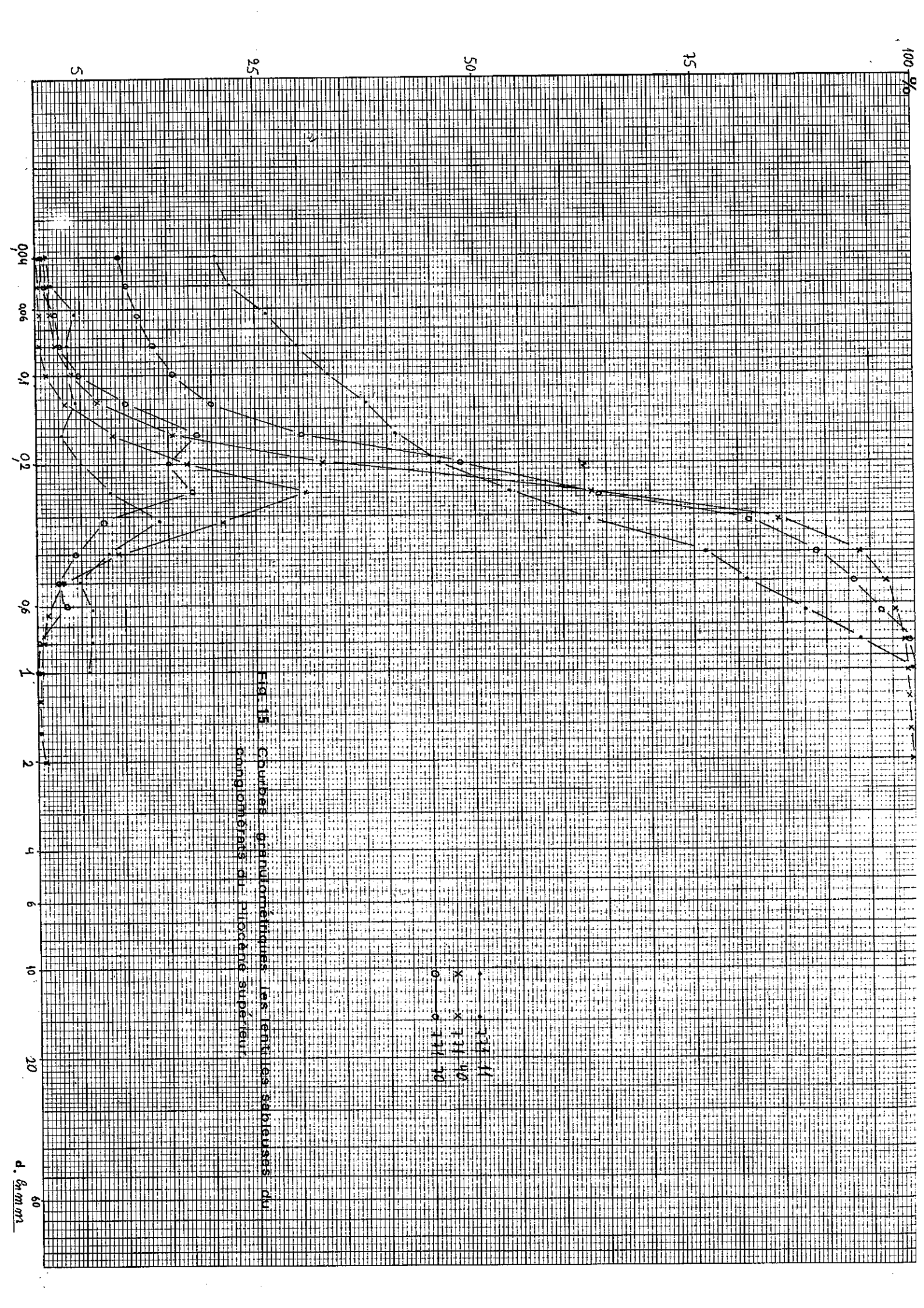


TABLEAU 2 F - CARACTERISTIQUES GRANULOMETRIQUES DES CONGLOMERATS DU PLIOCENE SUPERIEUR CLASSES PAR NUMEROS D'AFFLEUREMENTS.

NUMEROS :			NEES LAM				.		***	: :		:
D'AFFLEUREMENTS		X	Y	Z	Q ₁	Md	Q ₃	MODES	Hé	Qdφ	S	. so .
770-2:	MORAS :	808,3	335,35	400	:	•	4.0	31,5-50	1	: :		: :
770-3	MONCHENU :	812,1	325,9	440		• 14	: 31	10-25-40-63	0,9			
771 - 1 :	LENS-LESTANG (Barbonnière)	812,33	336,47	335	•	: 18	42	40-63	1,0	•		: :
				•	27	: 42	55	: 16- 32 :	0,2	0,55	0,84	1,42
771 - 2	LENS-LESTANG (Combe des					:	:	: -		:		
:	Morts)	813,38	335,28	415	• · · · · · · · · · · · · · · · · · · ·	17,5	63	25-50-100	1,2			: :
771 - 3 :	LENS-LESTANG :	812,4	335,25	370	ŧ	•	25	: 25-50 :	1,4	: :		
:	:				2,5	9,5	15	0,315-3,15-16	0,4	1,3	0,41	2,44
771 - 4 :	LENS-LESTANG :	813,48	335,18	420		1 10	: 48	25-50-100	1.3	: :		
771 - 7 :	LENS-LESTANG (L'Echatel)	812,42	334,83	379	1	: 28	: 42	: 25-40	0,45			: :
771 -8 :	LENS-LESTANG (Les Latences)		334,90	390	•	: 30	: 42	: 12,5-25-40 :	0,5	:		
771 -9 :	LENS-LESTANG (Combe	012,1	:	:	:	:		:		:		
:	Echatel)	812,4	334,75	390		: 40	55	: 25-50	0,4	:		
771-10 :	LENS-LESTANG (Combe :	012,1	:	:		: "		: :		:		: :
H1-10	Echatel)	812,4	334,6	415	•	: 40	: 70	: 50-100 :	0,8	•		
771-11 :	LENTIOL :	816,47	336,6	385	Fare Pa	: 21	: 41	: 25-50-80	0.8	.	: *	
771-12 :	LENTIOL :	817,68	337,4	: 400	:	: 23	53	: 63 = :	0.8	:	•	: :
	LE GRAND SERRE	816,2	333,8	: 430	: "	: 14	: 27	: 10-31,5	0,85	: 1	•	: :
771-13 771-15	LE GRAND SERRE (Berut)	817,9	334,1	: 430	 1 1 1 1 1 1 1 1 1 1 1 1 1 1 1 1 1 1 1	: 5,5	: 27	: 8,20-31,5 :	1,1	:		: :
	LE GRAND SERRE (BETUT)	817,3	: 334,5	: 430	8,5	: 23,5	: 36	0,2-3,15-6,3-31,5		1.05	0,55	: 2,05 :
771-16				: 440	: 18	: 35	: 44	: 40-125	0,3	: 0,65	0,64	: 1,56
771-17	LE GRAND SERRE (Le Buis)	818,5	334,3	: 440	:	:	:	: = :	0,0	: 0,00	: ", 0 1	: ::
771-18	LE GRAND SERRE (Le Champ	0100	994 07	465	: 18	: 40	: 70	: 40-80 :	0,65	: 1.0	0.78	1,97
	Militaire)	818,8	334,77	• 2	: 10	: 31	: 50	: 25-50-80	0,6	: 1,0	: ", 10	: ":
771-19	St-CLAIR-sur-GALAURE	820,4	335,4	460		: 28	: 48	: 40-63	0,65			
771-20	VIRIVILLE	825,7	336,8	480	:	: 27	: 63	$:\frac{40-03}{2,5-4-10}:$	0,82		: -	:
771-23	MARNANS	828,3	337,1	540	: 0.00	: 26	: 63	: 0,315-25-100 :	0,8	3,7	0.03	: 12.87
	THE COLUMN SECOND	01.0	: 000	: 450	0,38	: 22	: 39	: 25-40-63	0,8	: ", "	: 0,03	: 12,01
771 -35	LE GRAND SERRE	818	333	450	: .	: 22	: 39	: = :	0,0	:	:	:
771 -36	St-CLAIR-sur-GALAURE		:	:		:	: 28	: 05 50 :	1,2	1 ° ° °	i.	
	(Aux Simonds)	819,8	331,75	460	:	7,5		25-50		:		: :
771-39	MONTRIGAUD	820	327,1	465		62	95	80	0,6	:	:	:
771-40	St-BONNET-de-VALCLERIEUX	819,6	326,3	440			30	· 40	1,3	:	:	1 1 1
771-42	DIONAY (Col de la Made-	Harada and M	•	•	:		:	:	0.0	:	:	: :
	leine)	824,8	326	540	•	10	28,5	16-31,5	0,9	:		
771-44	DIONAY (Cottoyaux)	825,95	326,85	580	8,5	40,5	55	25-40	0,5	1,35	0,28	2,54
771 -45	ROYBON (La Verne)	824,7	329,2	525		28	58	50-80	1,0	:	:	÷
771-64	ROYBON (Gerbert)	830,15	333,25	580	. 14	34,5	60	0,25-6,3-31,5-50	0,8	1,06	0,71	2,07

(suite du tableau 2 F.)

(Numéros d'affleurements)	: (Localités)	(Coordor X	nées Lamb : Y	ert)	: : Q ₁	: Md	: : Q ₃	: (Modes)	: : Hé	Qd φ	S	: SO
794- 1	: BATHERNAY	: 808,5	323,5	: 450	•	•	: ₅₂	25-80	1,2	:		
n , 1		:		:	•	20	: 34	25-50	0,9		in a la v	•
795- 1	LE CHALON (Barbonière)	816,9	320,45	430	•	40	68	40-63	0,8			
795- 2	LE CHALON (Combe-de-Vaux	816,42	319,95	420	12,5	36	60	12,5-50-80	0,75	1,15	0,57	2,19
795- 4	St-ANTOINE (Les Secs)	824,6	321,95	500	:	18	32	31,5	0,6			:
	MOYENNE GENERALE								0,80	1,31	0,53	·

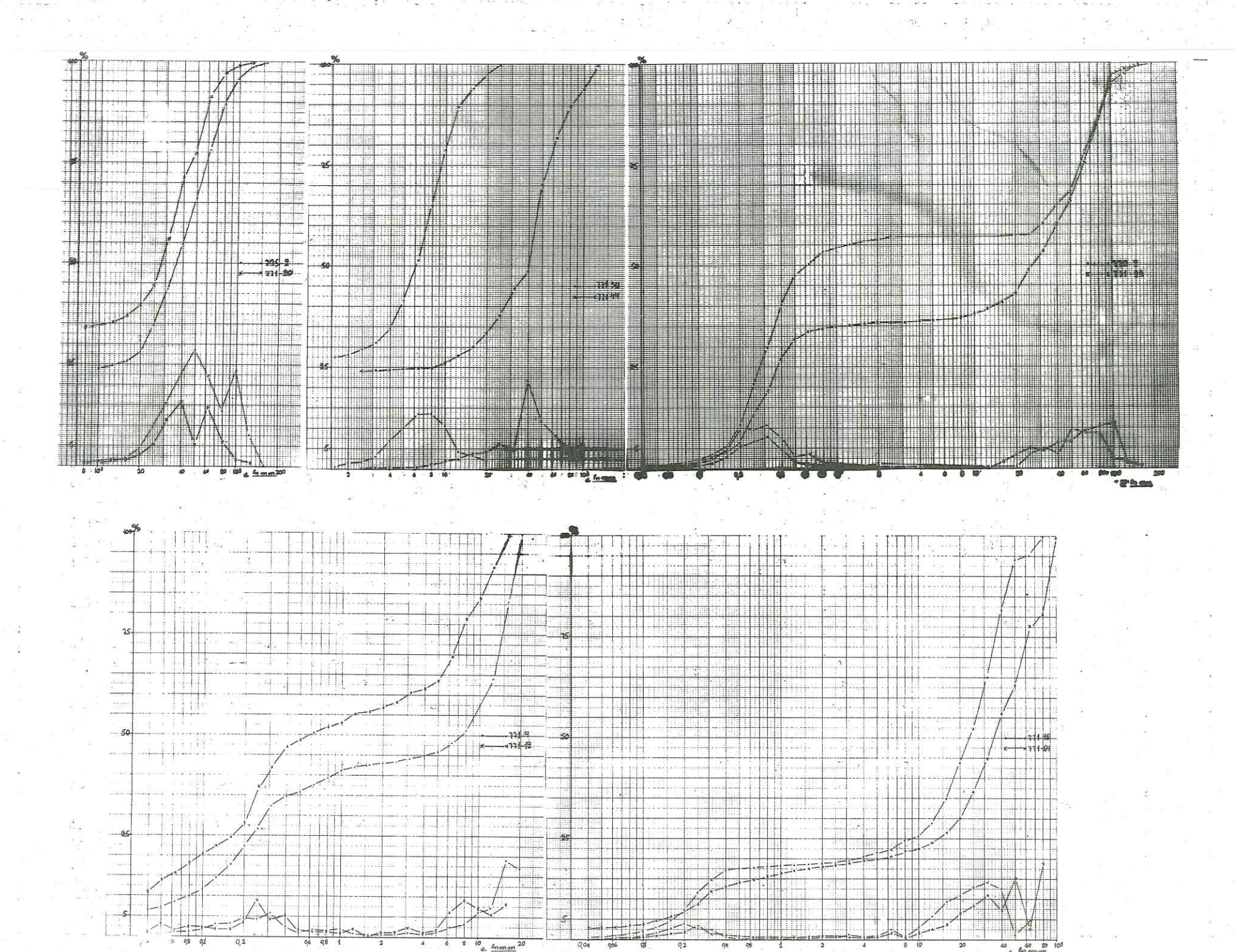
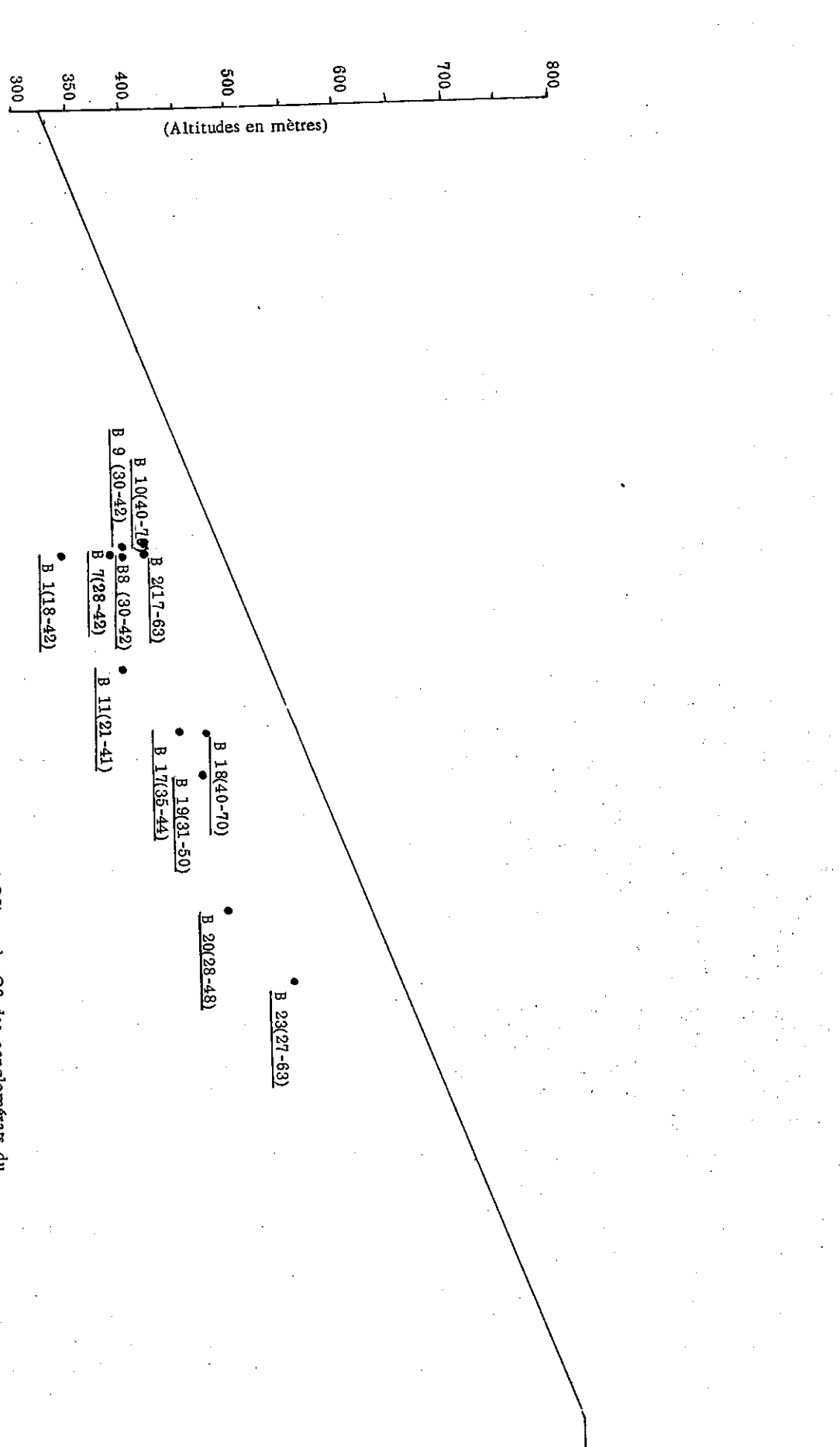


Fig. 16 - Courbes granulométriques des Conglomérats du Pliocène supérieur.



bens-Lestang

Lentiol
Le Grand Serre

Marnans

Fig. 17 - Représentation géographique et altimétrique des médianes (Q2) et des Q3 des conglométats du Pliocène supérieur dans la région septentionale du Plateau de Chambaran.

On peut donc admettre que, d'une manière générale, les conglomérats du Pliocène supérieur ont été déposés par un appareil fluviatile typique.

Comme pour le Miocène, nous avons figuré géographiquement sur une carte les valeurs de l'hétérométrie correspondant aux divers affleurements étudiés (tabl. 2G) et comme pour le Miocène, la répartition est aléatoire. On ne peut donc, par cette méthode, définir un sens des courants et on peut appliquer à ces conglomérats les mêmes conclusions que celles déjà énoncées pour le Miocène : les conglomérats du Pliocène supérieur ont été déposés sur l'ensemble du territoire étudié par des appareils identique entre eux et les variations de l'hétérométrie d'un affleurement à un autre sont dues à des variations dans le temps des conditions de dépôts qui se font parfois de façon tranquille, (l'hétérométrie est alors faible) et parfois de façon plus brutale (l'hétérométrie est alors plus forte).

2-3-5-3- Qd φ

Quelques échantillons seulement permettent de calculer ce paramètre ; il complète cependant assez bien le paramètre précédent (tabl. 2F). La moyenne (1,45) et la médiane (1,10) sont, caractéristiques d'un dépôt fluviatile.

2-3-5-4- Asymétrie

Elle est toujours assez fortement négative (tabl. 2F) et oscille entre 0,03 et 0,84 autour d'une moyenne de 0,52 et d'une médiane de 0,64. Ceci caractérise un dépôt dans un milieu très turbulent qui provoque la lévigation des parties fines et la concentration des gros éléments.

Ce milieu étant fluviatile, on peut donc admettre un appareil rapide s'écoulant sur forte pente : on est donc, plus encore que pour le Miocène, conduit à évoquer un glacis sur lequel s'effectuent des épandages en nappes alimentés par des chasses d'eau brutales.

2-3-5-5- Modalité

La plupart des courbes représentant les conglomérats pliocènes présentent deux modes extrêmement nets (tabl. 2F et fig. 16) :

- l'un, le principal, situé entre 8 et 100 mm autour d'une moyenne de 40 mm. Ce mode correspond aux éléments des roches calcairaires qui sont, fragmentées dans cette dimension.
- l'autre, plus modeste et situé entre 0,2 et 0,3 mm, correspond aux grains provenant de la désagrégation des granites et des gneiss.

Entre ces deux modes existe généralement un fort déficit marqué par un palier important (cf. fig. 16).

Cette bimodalité particulière et ce déficit caractérisent les alluvions fluviatiles drainant à la fois des massifs calcaires et des massifs granitiques ou gneissiques. Lorsqu'elles arrivent en mer, de telles alluvions se classent très vite pour donner des courbes unimodales, ce qui n'est pas le cas ici : on peut donc affirmer qu'ici les conglomérats du Pliocène supérieur sont typiquement fluviatiles.

**** 7

				·	* *
	. APPLEUDENCENTER	Moye	nne rég	ionale	des :
	AFFLEUREMENTS:	Hé	Qdφ	s	So
Région de Marnans	: :(771) 20-23	0,73	: : 3,7	:0,03	: :12,87
Région de Lentiol, le Grand Serre	(771) 11-12-13-14-15-16- 17-18-19-35-36	0,80	: : 0,91	:0,71	: 1,76
Région de Lens-Lestang	:(771) 1-2-3-4-7-8-9-10	0,80	. 0,55	:0,84	1,42
Région de Moras	(770) 2	1,0	:	:	:
Région de Roybon	· :(771) 64-68	0,80	: 1,06	:0,71	: 2,07
Région de Dionay, St-Antoine	: (771) 42-44-45-70 : (795) 4	; : 0,75	: : 1,35	; :0,28	: : 2,54
Région de St-Antoine, le Chalon	:(771) 39-40 :(795) 1-2	0,86	1,15	0,57	2,19
Région de Montchenu, Bathernay	:(770) 3 et (794) 1	0,97	:	:	:
	•	:		:	:
Moyenne général	.e	0,84	1,45	0,52	3,8

Tableau 2G : Moyennes des caractéristiques granulométriques des conglomérats du Pliocène supérieur classés par régions.

2-4 - CONCLUSIONS GENERALES A L'ETUDE GRANULOMETRIQUE DES SEDIMENTS

DETRITIQUES DU PLATEAU DE CHAMBARAN

- 2-4-1- <u>L'ANALYSE GRANULOMETRIQUE PERMET DE PRECISER L'AGENT DE DEPOT FINAL</u> pour le chacun des niveaux détritiques constituant le Plateau de Chambaran :
- 2-4-1-1- Les conglomérats terminaux dits de Voreppe et de Toutes-Aures du Miocène sont moyens à grossiers et leur grossièreté augmente régulièrement quand on passe de la base au sommet de la formation.

D'autre part, on observe un affinement général et régulier de la grossièreté de ces conglomérats quand on chemine suivant la direction générale des apports ; à l'Est les conglomérats sont plus grossiers qu'à l'Ouest et qu'au Sud-Ouest où ils finissent par disparaître pour passer progressivement à des sables molassiques.

Cette masse conglomératique correspond à des dépôts fluviatiles de type plutôt rapide, à turbulence notable : on pense à une sédimentation de glacis, formée par une suite d'épandages en nappes (sheet-flood) abandonnés par des cours d'eau divagants (braited rivers) sujets à des chasses d'eau (wash-out) plus ou moins violentes.

L'homogénéité et la maturité générales de ces dépôts (maturity) impliquent un parcours assez long depuis des provinces distributrices relativement éloignées.

2-4-1-2- Les lentilles sableuses interstratifiés dans la masse de ces conglomérats correspondent à des dépôts dans des zones calmes par des courants fluviatiles peu violents et latéraux par rapport aux courants principaux qui déposent les conglomérats ; par ce fait, une chenalisation divagante (braided rivers) est confirmée.

2-4-1-3- Ces conglomérats passent progressivement vers l'Ouest et le Sud-Ouest à des Sables molassiques (molasse du Bas-Dauphiné).

Généralement marins à leur base (Sables de St-Donat, de Montchenu et de Tersanne), ils deviennent fluvio-lacustres à leur sommet (Sables continentaux à Hélix delphinensis).

- 2-4-1-4- Les chenaux infra-pliocènes, affluents de la ria rhodanienne et creusés dans la molasse miocène de la partie occidentale du plateau, correspondent à des appareils fluviatiles rapides, d'allure torrentielle et caractérisés par une forte turbulence.
- 2-4-1-5- Après le dépôt des argiles marines ou lacustres du Pliocène inférieur les sables dits de Lens-Lestang correspondent à des dépôts de type fluviatile lent, à compétence peu marquée, s'écoulant sur des pentes faibles mais mis en place par des chasses d'eau successives.

2-4-1-6- Au fur et à mesure qu'on s'élève dans la série, les conglomérats font leur apparition, d'abord en lentille dans les sables où ils correspondent à des chenaux plus rapides puis sous forme de bancs de plus en plus grossiers si bien qu'au sommet du plateau les galets ont souvent de très grandes dimensions.

Dans ces conglomérats de Lens-Lestang, les lentilles sableuses sont fréquentes et présentent souvent une vaste extension latérale. Elles correspondent à des sédiments fluviatiles abandonnés dans des zones tranquilles et de faible énergie en dehors des courants principaux où se déposent les conglomérats.

Ceux-ci furent abandonnés par des appareils fluviatiles de type rapide, à turbulence notable alimentés par des chasses d'eau brutales et s'écoulant sur un glacis où s'étalaient des épandages en nappes.

Deux provinces distributrices, l'une calcaire, l'autre cristalline, alimentaient ces dépôts.

2-4-2- <u>L'ANALYSE GRANULOMETRIQUE EST-ELLE UN CRITERE DE DISTINCTION DES DIVERS</u> NIVEAUX DETRITIQUES DU MIO-PLIQCENE DU PLATEAU DE CHAMBARAN ?

La réponse est négative en ce qui concerne la distribution des conglomérats terminaux du Miocène et les conglomérats de Lens-Lestang dont les caractéristiques granulométriques sont trop voisines les unes des autres ; seule, la bimodalité souvent très marquée des conglomérats pliocènes peut être utilisée en ce sens.

Une réponse faiblement positive concerne les conglomérats infra-pliocènes, plus hétérométriques que les autres.

L'analyse pétrographique des galets reste donc le meilleur critère de distinction de ces divers conglomérats. Quant aux sables-molasse miocène d'une part, Sable de Lens-Lestang d'autre part, aucun critère granulométrique ne permet de les séparer l'un de l'autre.

ETUDE MORPHOMETRIQUE DES GALETS DES CONGLOMERATS

3-1 - METHODE

La forme et le degré d'usure des galets des conglomérats sont les deux critères qui permettent d'apprécier l'agent de fragmentation et d'usure ; on peut classer les indices en deux groupes suivant qu'ils expriment plutôt soit la forme générale soit le degré d'usure :

- l'indice d'aplatissement qui donne une bonne idée de la forme des galets;
- l'indice d'émoussé et l'indice de dissymétrie qui reflètent le degré d'usure des galets.

La méthode est exposée en détail par A. CAILLEUX et J. TRICART (1959).

Ces études ont montré que, pour une formation donnée, la valeur moyenne de ces indices est spécifique d'un façonnement particulier (vent, fleuve, plage marine...).

Pour chaque affleurement étudié, 100 galets de calcaires sont mesurés ; pour quelques affleurements et à titre de comparaison, 100 galets de quartzite ont aussi été étudiés. Les galets prélevés ont une longueur voisine de 50 mm (longeur pour laquelle l'usure caractérise le mieux l'agent d'usure, donc de transport). Longeur, largeur, épaisseur et dimension AC sont mesurés au pied-à-coulisse et le plus petit rayon r est évalué au moyen d'une cible faite de cercles concentriques gradués de 1 à 50 mm.

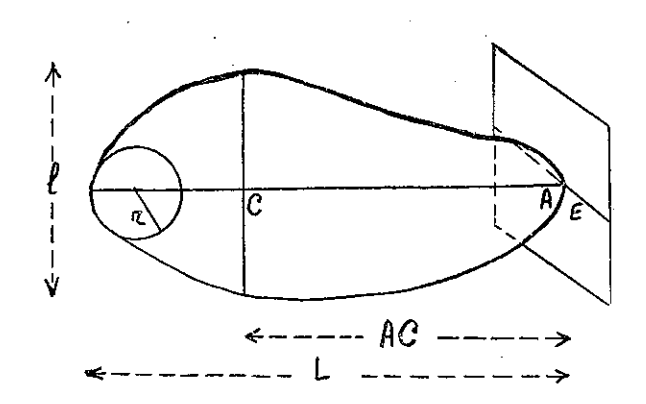


Fig. 18 - Schéma des éléments mesurés sur un galet.

- Longueur (L) : plus grande dimension mesurable.

- Largeur (1) : plus grande dimension mesurable perpendiculaire à L.

- Epaisseur (E) : plus grande dimension mesurable perpendiculaire à L et à 1.

- AC = plus grande section de L comprise entre une extrémité du galet et l'intersection L/l.

- r₁ : rayon du plus petit arc formé par les bords du galet dans le plan L, 1.

Les trois indices sont :

Aplatissement:
$$A = \frac{L + 1}{2 E} \times 100$$

Dissymétrie :
$$D = \frac{A C}{T} \times 1000$$

. Emoussé :
$$I = \frac{2 r_1}{L} \times 1000$$

3-2 • LES RESULTATS

Les résultats sont traduits sous forme de tableaux et de courbes d'ordonnées simples et cumulatives. Dans les tableaux, les affleurements ont été regroupés par formations : conglomérats terminaux du Miocène dits de Voreppe et de Toutes-Aures (tableaux 3-2-1-1 à 3-2-1-7), conglomérat infrapliocène (tableau 3-2-2) et conglomérat du Pliocène supérieur, dit de Lens-Lestang (tableaux 3-2-3-1 à 3-2-3-8).

Pour les conglomérats terminaux du Miocène, nous avons distingué sept régions présentées d'est en ouest, chacune faisant l'objet d'un tableau où les affleurements sont répartis altimétriquement.

Pour les conglomérats du Pliocène supérieur, nous avons distingué: au nord du Plateau de Chambaran quatre régions réparties d'Est en Quest, au centre et au Sud, quatre autres régions également réparties d'Est en Quest; chacune de ces régions fait l'objet d'un tableau où les affleurements sont répartis altimétriquement.

Pour chaque lot, nous fournissons la valeur médiane (galet de rang 50 dans un lot de 100 galets) des indices d'aplatissement, de dissymétrie et d'émoussé; pour l'indice d'aplatissement, nous fournissons aussi la valeur du galet de rang 85; pour chaque affleurement, la nature des galets a été indiquée: calcaire (C), quartz (Q), Quartzite (Qz).

Pour chaque indice, nous fournissons le pourcentage des galets faiblement usés, le pourcentage des galets moyennement usés et le pourcentage des galets fortement usés.

Le (ou les) mode(s) ont été indiqué (s); dans le cas de bi ou de plurimodalité, le mode principal est souligné.

Au total 46 lots de 100 galets ont été étudiés dans les conglomérats terminaux du Miocène dits de Voreppe et de Toutes-Aures, 4 lots dans les conglomérats infrapliocènes et 38 lots dans les conglomérats pliocènes dits de Lens-Lestang.

Pour chacun de ces 88 lots, nous avons établi pour chaque indice, une représentation des résultats au moyen d'une courbe d'ordonnées simples et d'une courbe cumulative, soit au total 528 courbes qui nous ont permis de présenter une interprétation solide des faits.

Ne pouvant présenter toutes ces courbes dans notre mémoire, nous en avons sélectionné cent vingt parmi les plus caractéristiques et que nous présentons dans les fig. 19, 20, 21, 23, 24 et 25.

	Indice d'aplatissement (A)	Indice de dissymétrie (D)	Indice d'émoussé (I)
Altitude Nature des galets Médiane	Médiane	Médiane "D (550 en %	Médiane I 100 en % 101 L I 200 en % 201 L 1 400 en % I 500
	258 16 21 249 8 14 242 18 17	662 5 19 15 10 700-850 640 20 24 19 5 750	33 40 3 42 0 3
. 620 . C		655 9 13 18 12 700 640 21 19 18 15 750	0 2 1 0 0 34 9 0
Région de Rives,	Tullins (Conglomérats de Toutes-Aures)		
	Indice d'aplatissement (A)	Indice de dissymétrie (D)	Indice d'émoussé (I)
Altitude Nature des galets Médiane	Médiane Rang 85 A 150 en % A 250 en %	Médiane D (550 en % 551 (D (600)en % 700(D(749 en % D)750 en %	Médiane I 100 en % 101 1 200 en % 201 1 400 en % I) 500
:	: : : : : : : : : : : : : : : : : : :	: 640 : 2 : 14 : 15 : 5 : 650 : 635 : 13 : 24 : 14 : 8 : 600 : 635 : 9 : 13 : 21 : 16 : 700-850 : 625 : 21 : 18 : 10 : 5 : 650	292 : 0 : 18 : 62 : 10 : 275-450-550 280 : 2 : 22 : 58 : 6 : 250-450-650 415 : 1 : 6 : 35 : 27 : 350-450-650 475 : 0 : 2 : 31 : 41 : 250-350-450
: 772-1-3 : 580 : C : 195	95 : 260 : 10 : 21 : 175 <u>-225</u> -275	587 : 20 : 29 : 3 : 2 : 600-700	: 430 : 0 : 2 : 26 : 45 : 300-450-5
580 Altitude Nature des galets	Indice d'aplatissement (A) Indice d'aplatissement (A) So So So A E A E A E A E A E A E A E A E A E A	Indice de dissymétrie (D) 20 en % 13 21 14 551 \(D \) 600 (D(749) 21 18 15 700 \(D(749) \) en % 22 21 18 55 D)750 23 24 en % 24 25 en % 25 en % 27 27 28 en % 28 29 3 29 60 60 60 60 60 60 60 60 60 60 60 60 60	Indice d'émoussé 1 0 0 1 1 200 en % 1 101 1 200 en % 2 18 en % 2 201 1 400 en % 2 26 31 5 62 en % 45 41 1 1 500 (I)

(?

: 771-4-27	771-4-33	: 771-4-31	: 772-1-2	771-4-32	: 771-4-28	772-5-14	1110-40	772-5-16	772-5-13	: 772-5-12	771-8-51	: 771-8-52	Affleure - ments	** **
: 680 ; C ;	672 C	650 C	: 640 : C :	: 638 : C :	: 630 : C :	610 C			: 490 : C :	: 480 : C :		350 : C :	Altitude	
221 : 313 :	260	184 248 20 176 245 40	245	198 2 65 13	206: 268:	266	200 2 200 2 10	: 275 :	240 320	170: 235: 14:	270	195: 268 : 13	Médiane Rang 85 A (150	Indice
5 : 32 : 175-250-325-375	20	0 ; 12 ; 150 - 200 - 225 $0 ; 12 ; 150 - 200$. 14	$3 : 24 : \frac{175}{275}$	8 : 22 : 200		5	: 22 :	9 : 44 : 200- <u>275</u> -325-375 ; ;	4 : 15 : <u>175</u> : :	. : 23 	: : 3 : 16 : 200-250	en %	d'apIatissement (A)
: 602	640	. 530 : 540 :	588	: 590 : :	: 610 :	638		; 590 ;	635	: 550 :	: 640 :	: 620 : :	Médiane	Inc
18 : 29 : 9	18	60 28 4 52 : 12 : 12		24 : 26 : 9	20 : 25 : 7	 21	· 	37 : 15 : 5	11 : 8 : 7	35 : 24 : 10	7 : 27 : 16	10 : 24 : 9	D \$550 en % 551 \ D 600 en % 700 \ D \ 749 en %	Indice de dissymétrie
: 4 : <u>650</u> -750	14 650-750	: 0 : 8 : 750	: 5 : 650	6 600	: 4 : 650	• • •	850	: 5 : 700 : 59 : 650-750	: 7 : 650 : :	: 11 : 650 : :	113 600	: 7 : 65,0	D > 750 en % Mode	(D)
290 : 0 : 14	355 0 15	303 0 16 213 : 4 : 32	 	387 : 0 : 0	: 182 : 3 : 55	455 0 2	 	: 430 : 0 : 4 : 545 : 0 : 53	: 525 : 0 : 3 : : : : :	375 : 1 : 3	430 0 4	: 240 : 1 : 32	Médiane I 100 en % 101 1 200 en % 201 1 400 en %	Indice
: 67 : 7 : 300	44 24 200	: 48 : 4 : 200	15	: 66 : 12 : <u>35</u> 0	34 : 4 : 200	 36	 	35 : 33 : <u>450</u> 70 : 1 : 250	21 : 55 : 350 : : : : 850	: 46 : 21 : 350 : : 750	39 :28 : 250	: : : : : : : : : : : : : : : : : : :	201 (1 (400 m) en %	Indice d'émoussé (I)
300-475	200- <u>350</u> -750	200-300-350 :		350-450		500-650-800		450-550-750 : 250 :	350 <u>-450</u> -600-750 850	350-450-500-650 :	250-450	250-400 :	Modes	

795-4-11 : 432 : C : 212 : 287 771-7-48 : 600 : Q : 168 : 200 771-8-47 : 620 : C : 188 : 276	Altitude Nature des galets Médiane	3-2-1-5- REGION DE MURINAIS, SA	771-3-26 : 520 : C : 202 : 305	771-3-25 : 510 : Q : 172 : 212 : : : :	: C : 218 :	Afflewer Altitude Mediane Rang 85	Indice
287 11 29 200 31 1 276 18 20 265 9 24		SAINT-VERAND Indice d'aplatissement (A))5 : 10 : 27 :	2 : 26 : 4 :	 4	A 150 en % A 250 en %	d'aplatissement (A
250-325-375-450 200 175-300-375 200	Modes	t (A)	175-225	175	175-225-275-325	Modes	
650 620 604	Médiane		568	: 580	700	Médiane	
33 18 18 24		Indice	36	23	. 10		Indice de
. 6 : 19	551 \ D\ 600 en % 700 \ D\ 749 en %	de dissymétri	: 24 : _2	: 40 : 2	6 30	551 D 600 en % 11 700 D 749 en %	dissyı
16		ē (Ð	2	· · · · ·		D 750	(Đ)
700-800 650 650	Modes			600	750	Modes	
460 420 480 415	Médiane		: 330	312		₩ Médiane	
0 0 0 0	I 【100 en %	Ind	<u> </u>	0		I (100 en %	Indic
2 31 2 43 1 32 1 32 7 43	en % 201 / I / 400 en %	Indice d'émoussé	8 : 65	16 : 66 :		1012 I 2200 en %	Indice d'émoussé
	I → 500 i	i	 Съ		• •• ••	en %	ıssé (I)
400- <u>500</u> -650 300- <u>450</u> -550-650 300- <u>450</u> - <u>550</u> -850	Modes		: 250- <u>350</u> -450	: 200-300			

	771-5-37	Afflewe- ments		3-2-1-7- <u>Régi</u>	771-7-55	771-7-56	771-7-57	771-7-58			771-7-59	771-7-60	. 795-3-8	795-3-10	Affleure - ments	,	
1 1 1 1 1 1	420	Altitude		Région de Saint-Christophe	.600	587	575	540			530	470	425	340	Altitude		
1 1 1		Nature des galets	** **	Saint-C	C	ი ი	0	0	C	0	0		 Ø	 ი	Nature des '' galets	** ** *7	1 1 1
1 1	170	Médiane		hristor	235	200	247	155	195	165	230	155	145	220	Médiane	!	1
1 1	: 200	Rang 85	Indice	j j	321	311	: 390	187	262	198	: 380	170	: 175	298	Rang 85	Indice	
1	37	A \ 150	•		7	: 12	. 11	42 42	: 10	32		44	53	: 15	A 	d'aplat	1
	· · ·	en % A ≥ 250 en %	d'aplatissement] - - - - -	# #	. 41	48	,. Ст	: 21		: 49		., 2	34	en %	d'aplatissement	
	: 175		nent (A)		200-450	175-258	: 175-225	175	: 200	175	: 175-225 : 375-425	150	: I50	225-275	11 *1 ** 15 15 15	at (A)	1 1 1 1 1 1 1
#1 	r.+ ++	Modes				175-250-325-425	L75-225-325-375	•	*		-275-325	£ +12°1	•	-	Modes	; 1 3 1 1 1 1	,,,,,,,,,,,,,,,,,,,,,,,,,,,,,,,,,,,,,,,
1 1 1 1	: 610	Médiane			: 680	: 608	: 560	670	: 670	660	: 650	600	: 710	780	Médiane		
	24	D ∠ 550 en %	Indice de		C)	20	50	ω	6	31	: 41	26	: 19	က က	D √ 550 en %	Indice (
	: 20	55i LD (600 "			13	21	ω.	177	:15	С	 ⊢	24	 	., '-	" 551" Ö (* 600 en %	de dissy	
	: 10	700 \(\tau \) \(\tau \) \(\tau \) en \(\% \)	di ssymétrie		22	., ., .,	; 10	24	: 16	10	: 12	٦.	. 19	16	700 \ D \ 749 en %	dissymétrie	1 1 1 1
1	4	D ≯ 750 en.%	()		9		10	7	22	28	. 24	19	: 36	67	D 3 750	(Đ)	1 1 1 1 1 1
	: 600	Modes			700	: 650	750-850	700	700	800	: <u>700</u> -850	: 850 -900	: 650-750	850	Modes	** * * * * * * * * * * * * * * * * * *	
1 1 1 1 1 1 1	: 320	Médiane	.,		: 390 :	: 466 :	: 525	460	490	530	: 490	500	: 480	. 485	, Médiane		1 1 1 1 1 1 1 1 1 1 1 1 1 1 1 1 1 1 1 1
	 -	I (100		*	0		0	0		. ,		., ,,	0	,, 	I (1 00	" H	1
1	: 17	I (100 en % 101 (1 (200 en %	Indice		12		0	0	ω	· · ·	0	· · · ·	22	<u>,</u>	i(100 en % i01 (i (200 en %	dice d	5 1 1
	51	201 (1 (400	Indice d'émoussé		40	32	23	32	30	22	30	25	32	23	201 1 400 en	Indice d'émoussé	1
1 - 1 - 1	œ ,,,	1>500	ussé (I		26	43	57	37	50	50	: 43	50	: 41	48	1>500) e (I)	1 1 1 1 1 1
	<u>250</u> -450	Modes	(1)		450	350-550-700-750	450-550-650	500-600	350-450-600-900	450-550-700	350+450+550+650 850	450-550-650-850	350-450-550-800	300-450-600-750	Modes		111111111111111111111111111111111111111

11 : 8 : 34 : 31 : 750 : 312 : 1 : 17 : 18 : 18 : 21 : 700 : 230 : 2 : 2 : 2 : 2 : 2 : 2 : 2 : 2 : 2 :	380 0 61 250-300-350-450- 666 5 11 19 575 575 575 680 4 7 28 5 342 7 44 225-275-400-450 660 2 6 19	Altitude Nature des galets Médiane Rang 85 A 150 en % A 250 en % Médiane D 551 \ D 600 en % 700 \ D 749 en % Den % Médiane I 100 en % 101 \ I / 200 en % 101 \ I / 200
: 8 : 34 : 31 : : 13 : 13 : 21	11 19 11 7 28 9 9 6 19 3	en % 551 \ D \ 600 en % 700 \ D \ 749 en %
•• ••		
1 : 14 : 57 22 : 39	0 6 50 0 7 49 0 10 55	I (100 en.%
: 6 : <u>300</u> -450 : 8 : <u>250</u> -350	26 375-550 25 350-450-550 17 350-550-650	I) 500 Modes

NORD DU PLATEAU DE CHAMBARAN 3-2-3-1- Région de Marnans

771-2-18	771-1-11 771-1-13 771-1-15 771-1-16 771-2-17 771-6-35 771-6-36 771-2-19	Afflewe- ments			771-3-23	771-2-20	Affleure - ments		
465	385 430 430 430 440 440 460	Altitude	, ,,	3-2-3-2-	540	480	Altitude		(
ZQ	600000000	Nature des Galets			Θ Ω	.റ	Nature des galets		
190	198 170 200 170 170 170 160 160 200	Médiane		Région de I	260	240	Médiane	-	
250	266 210 260 210 310 310 190 220 270	Rang 85	Indice	Lentiol,	376 227	300	Rang 85	Indice	1
Ø	225 54 54	A ¿ 150 en %	Indice d'aplatissement	le Gra	12	ယ	A ₹ 150 en %		1
11	23 26 28 28 28 28	A) 250 en %	isseme	Grand-Serre	57	47	A > 250 en %	d'aplatissement	
175-225-325	200 175 175-225-275-325 175-225 225-325-375 175 175 175 175 225-275-325	Modes	at (A)	100 100	150-200- <u>275</u> -400 425 1 <u>75</u> -350	225-275-325	Modes	nent (A)	
67.0	610 630 590 620 610 640 690	Médiane	•		561 584	600	Médiane		
2	11 8 8 13 8 14 5 5 7 7 7 8 8 14 15 15 15 15 15 15 15 15 15 15 15 15 15	D ∠ 550 en %	Ind		45 21	14	D. ₹ 550 en %	Indice d	
: ::	11 21 11 22 11 25 25 25 25 25 25 25 25 25 25 25 25 25	" 551"∠Ö∠"600 " en %	Indice de		မှ ည ဗ	24	551 \(D \(\) 600 \\ en \(\) \(\)	de dissymétrie	
20	22 7 7 7 7 7 7 7 7 7 7	700 ∠ D ∠ 749 en %	dissymétrie		-1 ₁₂	<u>∺</u> 8	700 (D (749 en %	métrie	
7	444460000	D > 750 en %	étrie		2 0		D) 750 en %	(Đ)	
700	650-750 650-750 650 700 650 700 650 700-750	Modes	(D)		600	600-650	Modes		
320	5130 290 310 250 250 498 270 330 350	Médiane			393 304	260	Médiane	; ; ;	
0		I (100 """ en %				2	I ₹ 100 en %	1	
ယ		101 & I \(200 \)	Indice		12 5	30	101 1 200 en %	Indice	
79	35 5 8 8 2 7 8 8 2 5 8 8 2 7 8 7 8	201 (1 (400 en %	Indice d'émousé		69 \$	68	201 \ I \ 400 en %	d'émoussé	
0	54 112 20 113 113 113 113 113 113 113 113 113 11	I 🔪 500	ıssé (I)		26		1 > 500	ssé (I)	
350	450-550 300-450-550 300 250-350-450 550-700 250-350-450-550 350-450 200-350-550-650 750	Modes			350 300-550	250-350	Modes		

1		•• ••	<u> </u>	<u> </u>	••	•• ••	** 1	** **	•• •	• • .	., ., ., ., ., ., ., ., .,	
770-4-2	Affleure -			771-1-4	771-1-2	771-1-10	771-1-9	771-1-3	, ,	771-1-1	Afflewe- ments	; ; ; ; ;
: 400	Altitude	••• •• •	3 2 3 4 4	420	: 415	415	: 390	370		·	Altitude	" "
0	" Natüre des " galets	•• ••	1	 C	 O	zo :	 .O	 O	 Q	 C	" "Nature des " " galets	
160	Médiane		Région de Moras	201	: 161	190	: 170	195	: 163	226	Médiane	
200	Rang 85	In	Moras	296	192	220	: 200	270	212	312	Rang 85	Indice
42	A 🗸 150 en %	Indice d'		i •	: 46	. 24	: 27	 O	: 28	9	A 1 50 en %	ce d'ap
0	A > 250 en %	d'aplatissement	 	 φ	0	63	69	28	 ∞	42	A > 250 en %	d'aplatissement
175	Modes	ment (A)		175-225-300-375	150-200	225	175-200	200	175	175-275-375	Modes	ent (A)
: 680	Médiane		, 1 1 1 1	603	618	610	: 658	615	629	658	Médiane	
7	D \(550\) en %	Indice	1 1 1 1 1 1	15	16	 23	: 17	. : 21	22	 5	D	Indice
	551 \ D \ 600 en %	6		38	28	24	12	22	16:	17	551 〈 D 〈 600 en %	de dissymétri
24	700 (D (749 en %	dissymétrie	Î 	11	∞ ·	11		. co	14:	17	700 C D C 749 en %	métrie
24	D > 750 en %	(D)] 	00	20		14	-7;-		10	D 3750 " " " " " " " " " " " " " " " " " " "	9
650- <u>750</u> 900	Modes			600-700	650	600	650	•	650	600-700	Modes	
: 370	Médiane		i I I I	450	355	: 350	: 340	490	350	390	Médiane	
	I 4 100 en %	Indice	E E E E	0	0	., .,	. 0	0	·. ,			
CT.	101 (1 (200 en %	e d'ém		ω	: 14	12	, . G		 	10	101 \(\) I \(\) 200 en \(\% \) 201 \(\) I \(\) 400 en \(\% \)	Indice
57	en % 201 (1 (400 en %	d'émousé (I)		37	50	51	72	22	54	46	201 (1 (400 en %	d'émoussé
11	.1 ≯500	I)		4	: 10 :	17	œ ••	48	: 10 :	29	1)500	ussé (I)
300 <u>-500</u>	Modes			350-450-550-700 800-900	350-500-600	200-350-600-750	300-400	250-500-800	350	200-300-400-600	Modes	

1-2-3-5-
Region
de Roybon

* ** L	` "	. "		Indi	Indice o	aplat	d'aplatissement	ent (A)		Indice de dissymét	de dis		rie (D)		"	In	dice d	Indice d'émoussé	sé (I)		. !
Afflewe-	Altitude	Nature des galets	Médiane	Rang 85		A 2 150 en %	A> 250 en %	Modes	Médiane	D √ 550 en %	551 (D (600	700 ZD Z 749 en %	D 750	Modes	Médiane		101 1 200	201 (1 (400 en %	1 > 500	Modes	
795-2-4-	500	<u>ر</u>	280	360	,	н ј	55	225-300-400-425	670	6	H	TI.	12	700	510	0	0	17	56	350-450-550	
771-6-45	525	0	: 180	200		28	Б	: 175	670	œ	75	<u>∓</u> 4	91	700	330	·" ",	н	79 :	en	350-450	
٠,	540	Ö	150			3	ω΄	195		15	16	Tip	 	700	310	'' '! '. O. '		6 <u>1</u>	14	300	
: 771-8-70		0	184	232		16	12	175	648	့'' ်ဝ	14	., Çi	77	650-700	: 275	, 0	12	77	₩.	2 : 250-300	
771-6-44	580	0	150			1	, jk	150	680	1.8	14	14	13	13 : 650	320	H	1	58	14	300-650	i
			1			1011	1 1 1 1 1		1 1 4 1 4 1	1 1 1 1 1	1								1		

3-2-3-6- Région de Dionay, St-Antoine

						1 1 1 1 1 1 1 1 1 1 1 1 1 1 1 1 1 1 1 1	1 1 1	! ! ! ! ! ! ! ! ! ! ! ! ! ! ! ! ! ! !	1 1 1 1 1 1 1 1 1 1 1 1 1 1 1 1 1 1 1 1	;	1 1 1 1 1 1 1 1 1 1 1 1 1 1 1 1 1 1 1 1				1	1 1 1 1 1 1 1 1 1 1 1 1 1 1 1 1 1 1 1 1
10 250-300-350	63		344 (700	-4 -4	. 18 18	·· ··	666	18: 175-250-350			250	186	. ი	.580	771-8-64
: 17 : <u>300</u> -400-350	: 66) ; 6	320 : 0	700 :	: 14 :	3 : 24	 0	: 686	175-225	: 33 :	 ::	: 280	: 216	 ი	: 570	: 771-8-68
: 16 · 250 <u>-350</u> -600	ජි	, &	350 : 0	750 :	φ	7 32	, H	686	225-275-400-450	42	., ,,	390	230	., O	550	771-8-66
; · · · · · · · · · · · · · · · · · · ·			i i i i i	1	17	1 1 1 1 1 1 1 1 1 1 1 1 1 1 1 1 1 1 1 1			L		,, !	! ! !			 • • 	
Mode	201 en	I & I		Modes :	D. en 9	551, en 5 700 en 9	D & en % 551	,. Médi	Mades	A >	 A & en 9	Rang	gale Méd	 Nati	Altí	ments
	ķ i\	%i,	liane	• ••	, 750	<u>ر</u> ۵.	550 550	ane		250	150	 g 85			 tude	· Affleure-
**	 40	\ 20		••	•	<6 <7∙	;	, *•			••	**		••	••	••
**	0		. ••	••	••	00 49	•	••		**	••	••	••	••	••	••
	**	••	,.	••	,,	••	1*	. 1*				**	••	••	••	••
	1 1 1 1	1 1 1 1 1 1	1 1 1		1		1 1 1 1 1 1 1 1 1 1 1 1 1 1 1 1 1 1 1 1	1 1 1 1 1 1 1 1	1 1 1 1 1 1 1 1 1 1 1 1 1 1 1 1 1 1 1 1	1 1 1 1 1 1		: : :	, ⁷ *	••	••	••
ю́ (I)	l'émouss	Indice d'émoussé (I)		**	trie (D)	Indice de dissymét	Indice d	••	(A)	Indice d'aplatissement	e d'ania	Indic	••	••	••	••
	1 1 1 1		1 1 1 1 1 1				,,,,,,,,,,,,,,,,,,,,,,,,,,,,,,,,,,,,,,,	11166838×			1			11111	1	

••	••		1	Indice	d'apie	Indice d'aplatissement	nt (A)		i 	In	Indice de dissymétri	e dissy	métrie	(D)	! 3 1 1 1 1	 	Ind	ícė d'	Indice d'émoussé	Ξ	
Affleure -	Altitude	Nature des 'galets	Médiane	Rang 85	Ä / 150 en %	A) 250 en %	; ; ;	Modes		Médiane	D (550 ° ° ° ° ° ° ° ° ° ° ° ° ° ° ° ° ° °	551 \ D \ 600	en % 700 \ D \ 749 en %	D)750 en %	Modes	Médiane	ı ≰100 en %	"101 (1(200 " " en % " " 201 (1(400	201 (I (400 en %	I 🔪 500	Modes
770-8-3	440	 C	180	270	12	20	200-350) ; ;		590	23	21	-7	, ,, ,, , ,, ,, ,, ,, ,, ,, ,, ,, ,, ,,	650	300		ω	Ο ₁	17	150- <u>250</u> -350-450
••		 	152	190	37		175			632	7	16	15	18	650	: 240 :	44	. 17	59	7	200-300
: 794-4-1	: : 450	. n	175	190	: 10	; 17 :	200			672	7	ဖ	<u>.</u> .	 &	650	: : 330		44	52	25	350-550-650
* * * * * * * * * * * * * * * * * * *		.,	145	190	40		175			632	10	18	14	17	700	250	<u>, ,,</u>	18	63	12	300-400

3-2-3-8-
Région
de
Montchenu,
Bathernay

771-6-39	795-2-3 771-6-40	795-1-2 795-1-1	Afflewe - ments
465	440 440	420 430	Altitude
C	0 0	ი ი	Nature des galets
190	230 205	210 290	Médiane
270	320	280	Rang 85 Indic
7	3	ro 4.	A (150" d. a. p. p. l. a. p. l
23	30		Rang 85 Indice d'aplatissement A 250 en %
200	. 200-250-350 : 175-300-375	1 175-225-250 6 : 225-300-325-400 : 450	it (A)
650	620 625	670	Médiane
24	 14		D ≼ 550 Indi en %
1.0	: 25 : 16	. 13	en %
6	10	23 14	700 (D (749 symetric) en %
28		-3 '00	D 750
850	650 700	700 650	Modes
395	570 : 425	490 440	Médiane
0	 	6 0	I <6"00%
7	ω o	- 0 0	101 € 1 € 200 Indic
#	12 38	21 26	101 1 200 Indice con % Con % Con % Con % Con South Con % Con Con South Con S
8 4	23	49	1 > 500 Ess &
300-350-450-550 750-800	350-500-600-800 250-350-450-550 600-800	350- <u>450</u> -550-750 450	n) Modes

3-2-4- SYNTHESE DES RESULTATS

Pour faciliter l'interprétation des résultats, nous présentons sous forme des tableaux ci-après, pour chaque indice :

un classement géographique, par région, des valeurs moyennes des médianes des affleurements étudiés pour les galets de calcaire et un classement similaire pour les galets de quartz.

Les calculs ont été effectués de la façon suivante :

Dans chaque région, on a calculé pour chacune des colonnes des tableaux précédents (3-2-1-1 à 3-2-3-8) la valeur moyenne des médianes ; si le nombre des affleurements d'un tableau est impair (par exemple 7 pour la région de Voreppe, Montaud, tableau 3-2-1-1) la valeur moyenne des médianes correspond à l'affleurement médian (ici le 4^e) et si le nombre des affleurements d'un tableau est pair (par exemple 14 pour la région de Brion, Vatilieu, Notre-Dame-de-l'Osier, tableau 3-2-1-3), on calcule la moyenne arithmétique des médianes des affleurements médian (ici le 7^e et le 8^e).

3-2-4-1- <u>Valeurs moyennes régionales des Médianes des indices d'aplatis-</u> sement, de dissymétrie et d'émoussé des galets de calcaire des conglomérats terminaux du miocène dits de Voreppe et de Toutes-Aures classés géographiquement d'Est en Ouest.

:	: Méd.	:A < 150	ent(A) 2A>∕250: : en%	Méd.	:D 	:D),750:	Méd.	:1(100	:
: Région de Voreppe, Montaud	179	: 18	14	647	20	: 13	256	: · 0 · · ·	2
Région de Rives, Tullins	190	17	17	635	18	5	415	· 0	35
Région de Brion, Vatilieu, ND. de l'Osier	199	14	22	615	19	; 7 ; 7	378	0	13
Région de Marnans, St-Pierre de Bressieux	210	: 12	28	634	23	: 12	330	: : 1	5
Région de Murinais, St-Vérand	200	11	24	625	24	2	460	: 0	38
Région de Dionay, St-Appolinard	: : 225 :	: : 11 :	41	660	13	: : 23	487	: : 0	45
: Valeur moyenne générale :	200	: : 13	: : 23	635	: : 19	: 9 :	397	: : 0 :	24

3-2-4-2- Valeurs moyennes régionales des médianes des indices d'aplatissement, de dissymétrie et d'émoussé des galets de quartz des conglomérats terminaux du miocène dit de Voreppe et de Toutes-Aures classés géographiquement d'Est en Ouest.

	Apla	tissem	ent(A)	Diss	ymétri	e (D)	Emou	Emoussé (I)		
	Méd.	A\(150 en %	A) 250 en %	Méd,	D≼550 en %	D》,750 en %	Méd.	I <u>(</u> 100 en %	I》500 en %	
Région de Marnans, St-Pierre-de- Bressieux	179	21	6	: 579	36	3	335	: : 0	11	
Région de Murinais, St-Vérand :	168	: 31	: 1	:620	: 18	: 4	: 420	: 0	: 33	
Région de Dionay, St-Appolinard	155	43	2	665	22	23	490	0	45	
Région de St-Christophe		•	•	•	•	•	• ,	•	•	
Valeur moyenne générale	169	_	: : 2	_	: 23	: 4	377	: : 0	: : 22	

3-2-4-3- Valeurs moyennes des indices d'aplatissement, de dissymétrie et d'émoussé des galets de calcaires et de quartz du conglomérat infrapliccène.

	Aplatissement (A) Dis				metrie	(D)	Emoussé (I)		
Nature des galets	Méd.	A <u>(</u> 150 en %	A),250 en %		D&550 en %			I(100 en %	
C	: : 248	: 4	: : : 47 :	673	: : 3	13	358	. 0	18
Q	: : 145	: : 36 :	: : : 1 : : :	637	: : 17 :	21	230	2	: : 8 %

3-2-4-4- Valeurs moyennes régionales des indices d'aplatissement, de dissymétrie et d'émoussé des galets de calcaires des conglomérats Pliocènes dit de Lens-Lestang classés géographiquement d'Est en Ouest.

:	Aplat	issemer	it (Å)	Diss	ymétrie	(D) :	Emous	ssé (I) :
: :	Méd.	A (150 en %		Méd.	D / 550 en %		Méd.		I) 500 en %
: :- Nord du Plateau de Chambaran :	¥	;	;		÷			:	: :
Région de Marnans	250	7	52	580	29	1	326	1	13
Région de Lentiol, le Grand-	200	. 9	24 :	620	. 6	3	422	. 0	: 35 :
Région de Lens-Lestang	201	9	34	615	15	8	450	0	: 41 :
: - Zone centrale et méridionale :		: ., : : :	:		:			:	: :
Région de Roybon	216	: 11	33	686	1	9	344	0	10
Région de Dionay, St-Antoine : Région de St-Bonnet, le Chalon: Région de Montchenu, Bathernay:	_	. 8 : 5 : 11	33 : 31 : 18 :	659 630 631	: 6 : 14 : 15	9 8 17	392 440 315	0 0 1	29 : 34 : 21 :
Valeur moyenne générale	210	9	33	630	14	8	392	0	29

3-2-4-5- Valeurs moyennes régionales des indices d'aplatissement, de dissymétrie et d'émoussé des galets de quartz des conglomérats pliocènes dit de Lens-Lestang classés géographiquement d'Est en Ouest.

: · · · · · · · · · · · · · · · · · · ·	Aplat	isseme	nt (A)	Diss	ymétri	e (D)	Emo	ussé (I)
: a ***	Méd.	A<150 en %	A>,250 en %	Méd.	D∠550 en %		Méd.	I{100 en %	• •/ •
: :- Nord du Plateau		:	:		:	:	·-		
: Région de Marnans	185	: 15	: 12 :	584	: 21	, 2	304	: O	·
: Région de Lentiol, le Grand- : Serre	170	23	0	620	8	4	290	0	3
	163 160		2 :	629 680	: 17 : 7	: 8 : : 24 :	350 370	: 0 : 0	: 10 : : 11 :
: - Zone centrale et méridionale		:	: :	٠	: :	: :		• •	: :
: Région de Dionay, St-Antoine : Région de Montchenu, Bathernay :	150 148	•		670 632	: : 15 : 8 :	: 13 : : 17 :	320 245	: : 0 : 2	: 14 : : 9 : : 9 :
Valeur moyenne générale	161	33	2	630	11	10	312	0	10

3-3 - INTERPRETATION DES RESULTATS

3-3-1- CONGLOMERATS TERMINAUX DU MIQCENE DITS DE VOREPPE ET DE TOUTES-AURES

3-3-1-1- Indice d'émoussé

Les affleurements des Conglomérats de Voreppe, situés à la base de cette formation compréhensive ont un fort émoussé, typiquement marin ; au fur et à mesure qu'on chemine vers le sommet, l'indice d'émoussé décroît et se rapproche d'un façonnement fluviatile.

Dans les Conglomérats de Toutes-Aures, du Tortonien supérieur, cette dualité disparaît et on peut traiter toute la formation dans un même ensemble.

Pour les galets de calcaire, les valeurs moyennes des médianes de cet indice augmentent d'Est en Ouest et varient entre les deux valeurs extrêmes 256 et 487 autour d'une valeur moyenne générale de 397; le pourcentage des galets très usés $(I \ge 500)$ augmente d'est en ouest de 2 à 45 % et celui des galets peu usés $(I \angle 100)$ est pratiquement nul.

Pour les galets de quartz, les valeurs moyennes oscillent entre les deux valeurs extrêmes 320 et 490 autour d'une valeur moyenne générale de 377; le pourcentage des galets très usés (I > 500) oscille entre 8 et 45 % et celui des galets peu usés est pratiquement nul.

Ceci indique une usure accentuée et un transport assez long par un courant fluviatile ou marin ou un brassage sur une côte; le simple examen des médianes de cet indice ne permet donc pas de trancher de manière plus précise entre un façonnement fluviatile long et un façonnement marin.

On perçoit également une augmentation générale de l'émoussé d'est en ouest qui coîncide avec la direction générale des paléocourants.

L'examen des courbes d'ordonnées simples permet de calculer les modes et montre, dans toutes les régions, des mélanges de lots unimodaux mais peu émoussés et de lots fortement émoussés mais plurimodaux; cette confrontation de la médiane des indices d'émoussé et de l'unimodalité ou de la plurimodalité des lots exclut un façonnement marin et induit un façonnement fluviatile (fig. 19).

3-3-1-2- Indice d'aplatissement

Pour les galets de calcaire, on constate des variations géographiques importantes de cet indice; en effet d'est en ouest on voit :

- augmenter la valeur moyenne des médianes (179-190-199-210-200-225),
- diminuer la proportion des faibles aplatissements (18-17-14-12-11-11),
- augmenter la proportion des forts aplatissements (14-17-22-28-24-41).

On assiste ainsi à une évolution d'est en ouest dans le sens d'un plus grand aplatissement, donc d'une plus forte usure des galets et on peut en déduire un courant général E-W.

Les valeurs moyennes des médianes de l'indice d'aplatissement varient entre 179 et 225 avec une moyenne générale de 200 ; ce qui indique un transport et un façonnement par un appareil fluviatile.

Le pourcentage des galets fortement aplatis (A \searrow 250) est fort : il oscille entre 14 et 41 avec une valeur moyenne de 23 ; en revanche, le pourcentage des galets peu aplatis (A \swarrow 150) varie de 11 à 18 % avec une valeur moyenne de 13 %.

Pour les galets de quartz les valeurs moyennes des médianes oscillent entre 155 et 179 avec une moyenne générale de 169; le pourcentage des galets aplatis (indice supérieur ou égal à 250) est fort : 21 à 43 % avec une valeur moyenne de 34 % et celui des galets peu aplatis (indice d'aplatissement inférieur ou égal à 150) est très faible : 1 à 6 % avec une valeur moyenne de 2 %.

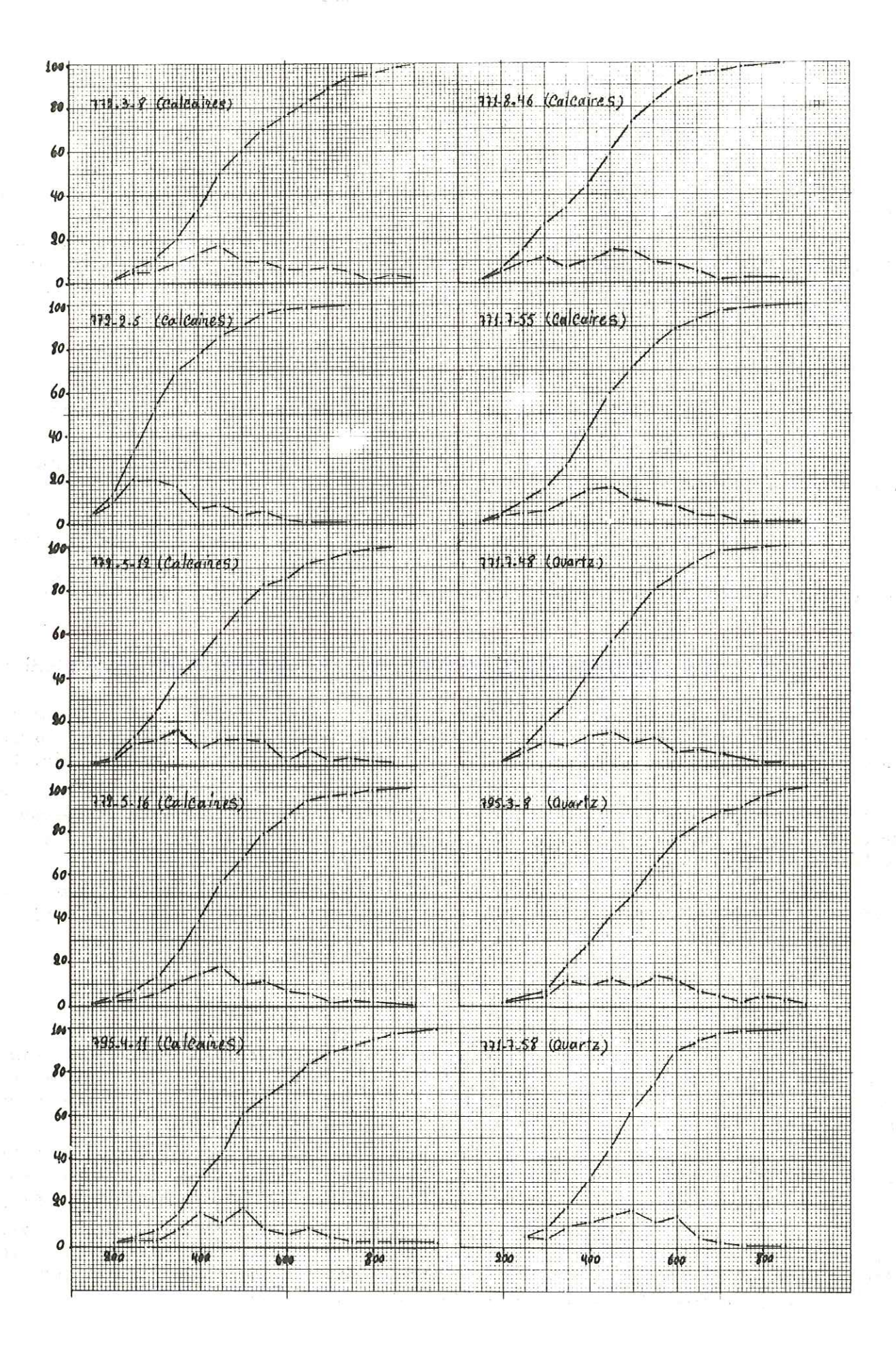


Fig. 19 - Courbes d'ordonnées simples et cumulatives des indices d'émoussé des galets des Conglomérats terminaux du Miocène.

L'ensemble de ces chiffres indique un appareil fluviatile long et un transport par un cours d'eau "matelassé".

Les courbes d'ordonnées simples sont d'une part très étalées et d'autre part généralement caractérisées par un mode principal situé autour de 200 pour les calcaires et autour de 175 pour les quartz. Ces deux caractères sont ceux d'un façonnement fluviatile (fig. 20).

3-3-1-3- Indice de dissymétrie

Pour les galets de calcaire, les valeurs moyennes des médianes sont fortes : elles oscillent entre 615 et 660 autour d'une moyenne de 635.

Pour les galets de quartz, les valeurs moyennes des médianes varient entre 579 et 665 autour d'une moyenne de 615.

Les chiffres ci-dessus indiquent un appareil fluviatile rapide caractérisé par des chasses d'eau brutales et où les chocs entre galets sont nombreux.

Par leur étalement, les courbes d'ordonnées simples confirment ce diagnostique et leur plurimodalité assez fréquente ne le dément pas (fig. 21).

3-3-1-4- Représentation conjuguée des deux indices d'émoussé et d'aplatissement

Suivant une méthode préconisée par A. CAILLEUX et J. TRICART(1959), nous avons conjugué sur un même graphique les médianes de l'indice d'émoussé, portées en abscisses et les médianes de l'indice d'aplatissement, portées en ordonnées (fig. 22).

On voit nettement une migration du domaine fluviatile vers le domaine marin quand on chemine de la région 1 (c'est-à-dire de la région de Voreppe-Montaud) vers la région 6 (c'est-à-dire la région de Dionay - St-Appolinard) ou, de façon plus générale quand on chemine de l'Est vers l'Ouest.

Au Tortonien, un rivage pourrait se situer aux environs de la région 3, (c'est-à-dire vers Brion, Vatilieu, N.-D.-de-l'Osier). Cette hypothèse, assez fragile, est encore à vérifier par d'autres techniques.

3-3-2- CONGLOMERAT PLIOCENE DIT DE LENS-LESTANG

3-3-2-1- Indice d'émoussé

Pour les galets de calcaires, les valeurs moyennes des médianes de cet indice oscillent entre deux valeurs extrêmes 315 et 450, autour d'une valeur moyenne 392 ; pour ces mêmes valeurs, le pourcentage des galets très usés (I) 500) passe de 10 à 41 % et celui des galets peu usés (I \langle 100) est pratiquement nul.

Pour les galets de quartz, les valeurs moyennes oscillent entre 245 et 370, autour d'une valeur moyenne de 312, le pourcentage des galets très usés (I) 500) passe de 3 à 14 %, et celui des galets peu usés (I) 100) est pratiquement nul.

L'ensemble de ces résultats permet d'évoquer une usure, donc un transport de type fluviatile long ou deltaïque sans qu'il soit possible de mieux préciser. Mais la plurimodalité et l'aspect très étalé des courbes d'ordonnées simples lève l'ambiguité en indiquant un façonnement fluviatile (Fig. 23).

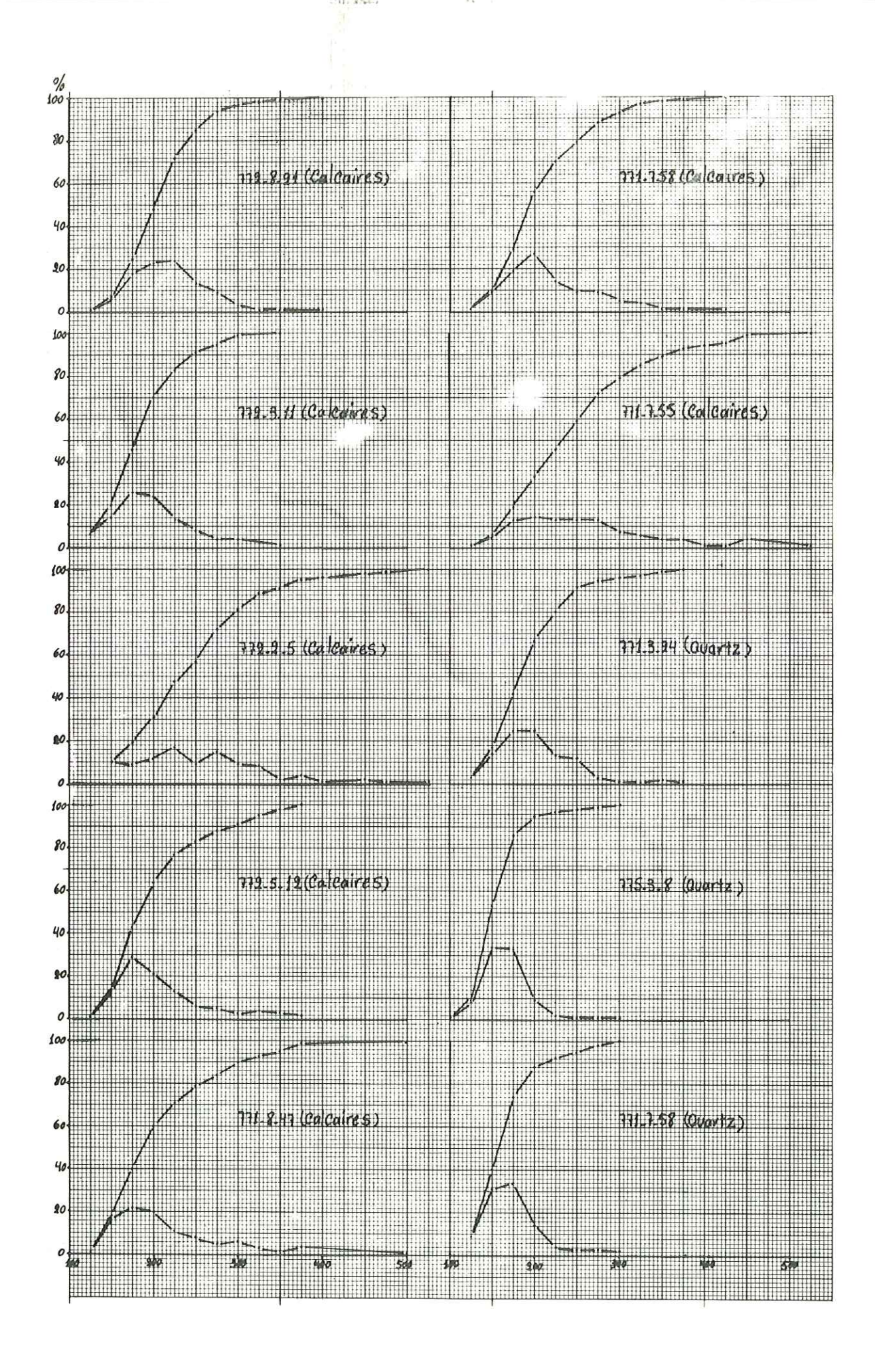


Fig. 20 - Courbes d'ordonnées simples et cumulatives des indices d'aplatissement des galets des Conglomérats terminaux du Miocène.

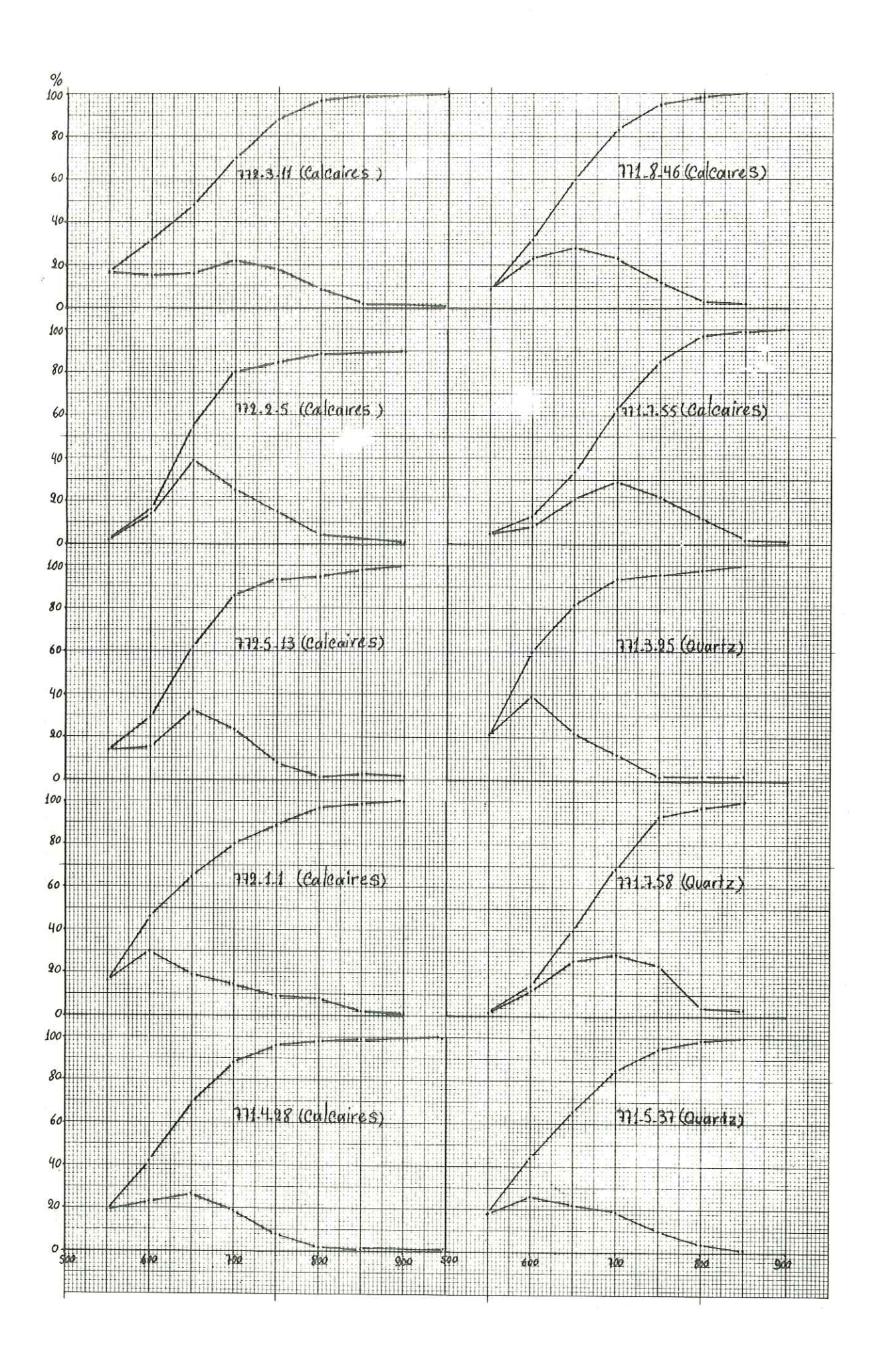


Fig. 21 - Courbes d'ordonnées simples et cumulatives des indices de dissymétrie des galets des Conglomérats terminaux du Miocène.

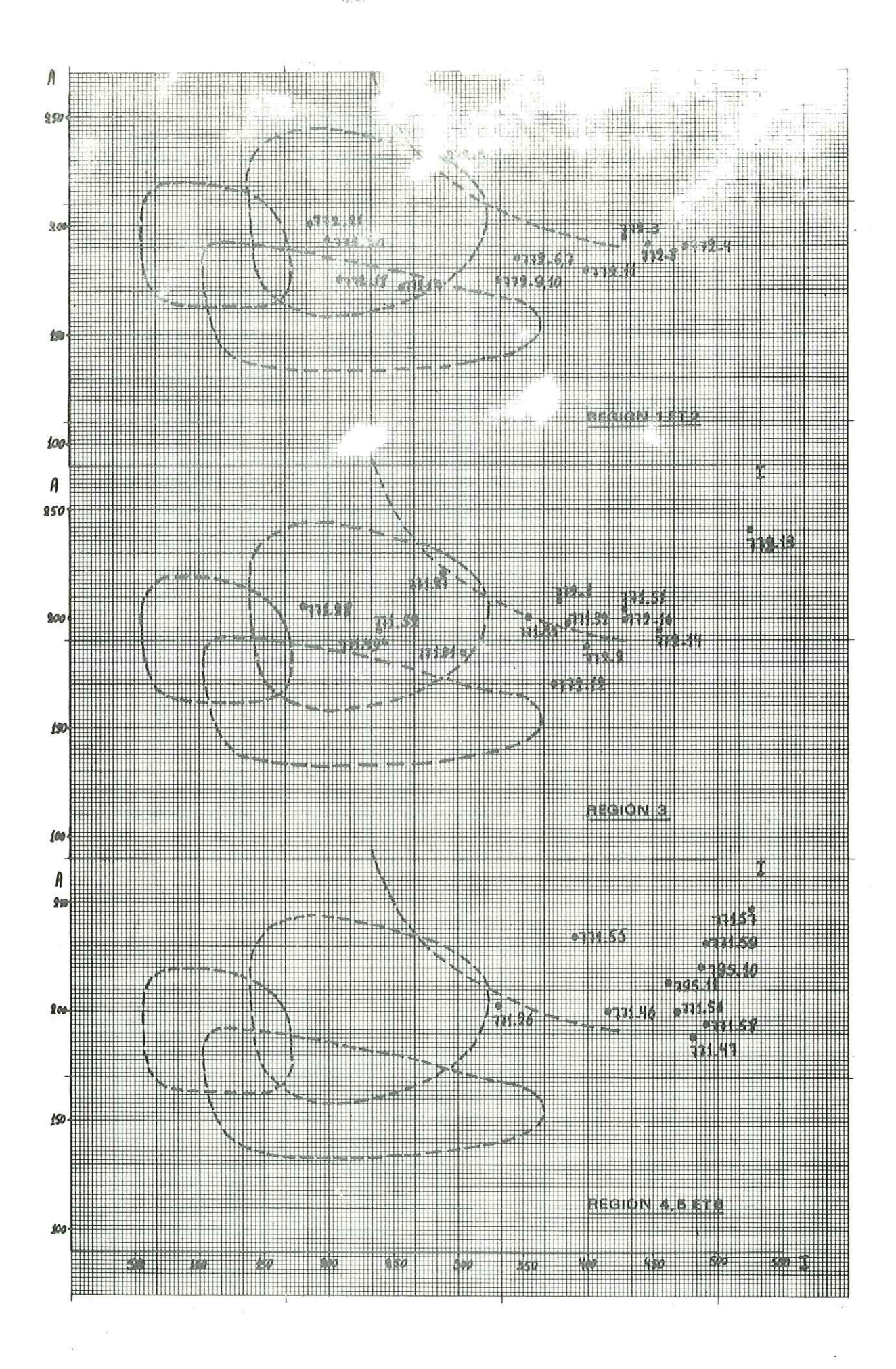


Fig. 22 - Représentation conjuguée des indices d'émoussé et des indices d'aplatissement des galets des Conglomérats terminaux du Miocène.

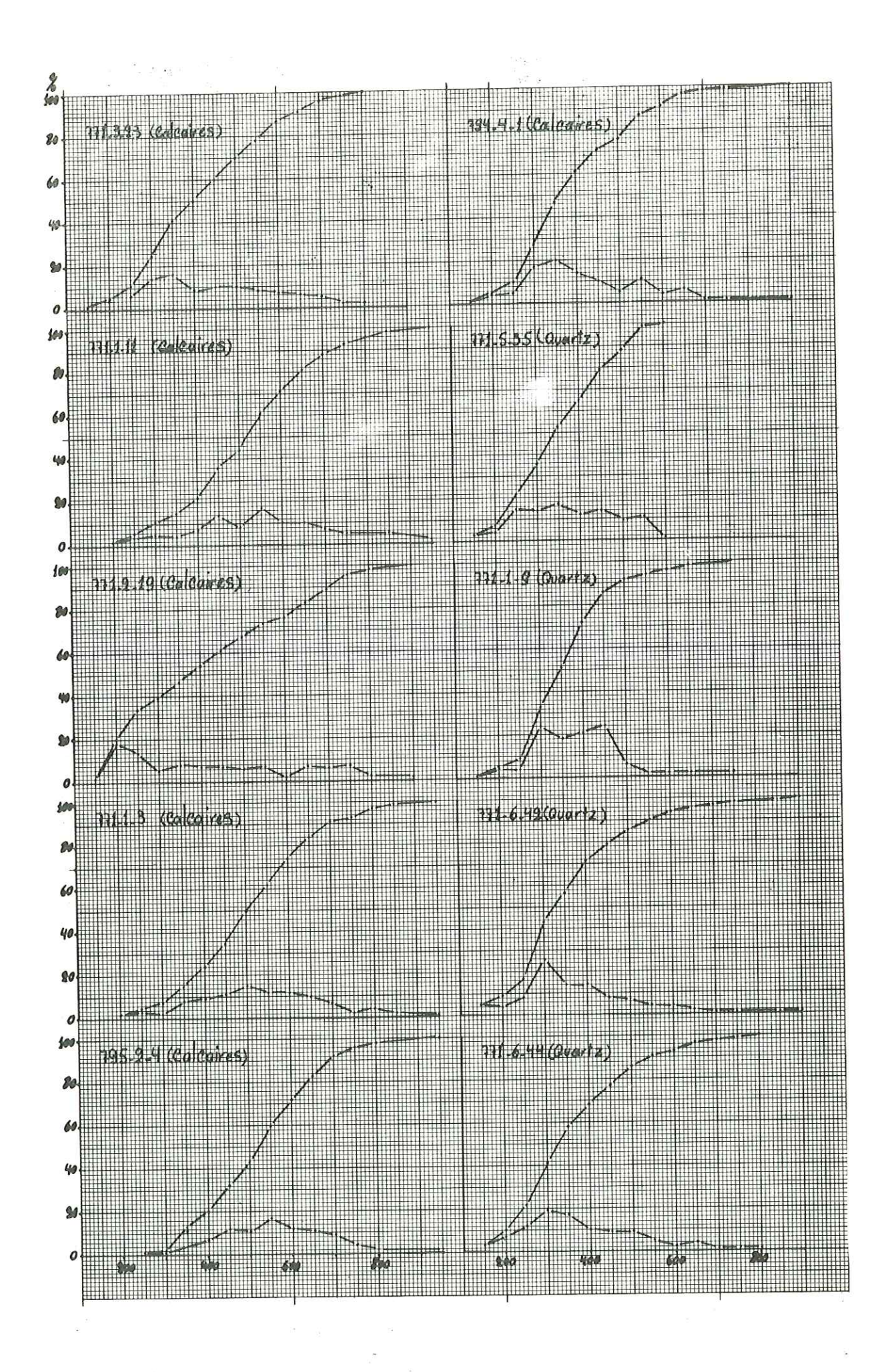


Fig. 23 - Courbes d'ordonnées simples et cumulatives des indices d'émoussé des galets du Conglomérat de Lens-Lestang du Pliocène supérieur.

3-3-2-2- Indice d'aplatissement

Pour les galets de calcaire, les valeurs moyennes des médianes de cet indice varient entre 178-250 autour d'une valeur moyenne de 210; le pourcentage des galets fortement aplatis (A) 250) est fort (18 à 52 %) avec une valeur moyenne de 33 % mais le pourcentage des galets peu aplatis (A) (150) est faible (11 à 5 %) avec une valeur moyenne de 9 %.

Pour les galets de quartz, les valeurs moyennes des médianes oscillent entre 148 et 185 autour d'une valeur moyenne de 161; le pourcentage des galets fortement aplatis (A) 250) est faible (O à 12 %) avec une valeur moyenne de 2 % et celui des galets peu aplatis (A) est fort (15 à 51 %) avec une valeur moyenne de 33 %.

Toutes ces valeurs indiquent un transport fluviatile de type

"matelassé!"

Les courbes d'ordonnées simples sont caractérisées par un mode principal autour de 210 pour les calcaires et autour de 175 pour les quartz; joint à l'étalement des courbes qui est très important, ceci caractérise un façonnement fluviatile (fig. 24).

3-3-2-3- Indice de dissymétrie

Pour les galets de calcaire les valeurs moyennes des médianes oscillent entre 580 et 686 autour d'une valeur moyenne de 630.

Pour les galets de quartz, les valeurs moyennes des médianes varient entre 584 et 680 autour d'une valeur moyenne de 630.

Ces chiffres sont assez forts et indiquent un façonnement par des courants violents susceptibles de fragmenter les éléments ; le mode de transport est sans doute de type fluviatile rapide, voire torrentiel.

Les courbes d'ordonnées simples sont très généralement étalées et confirment le façonnement par un courant liquide, rapide et brutal (fig. 25).

3-3-2-4- Représentation conjuguée des deux indices d'émoussé et d'aplatissement

Cette représentation montre des points disséminés dans le domaine fluviatile et dans le domaine marin. Là encore, nous sommes en limite, dans un domaine de type deltatque (fig. 27).

Sur la carte (fig. 29), nous avons représenté les directions de courants dans le Pliocène supérieur.

Or, sur la fig. 27, nous voyons que d'une façon générale, le façonnement des galets est d'autant plus poussé que nous cheminons du NE vers le SW.

Les deux méthodes se complètent donc et nous autorisent à tracer (en tiretés) les grands axes probables des courants.

Univ. J. Fourier CEOSCIENCES

Univ. D. FOURIER TATION

Univ. DON DES CEOSCIENCES

B.P. 53

B.P. 53

B.P. 53

B.P. 68 DA 78 69 54 27

F. 38041 GRENOBLE

F. 38041 GRENOBLE

F. 38041 GRENOBLE

F. 38041 GRENOBLE

Mail: plalour@ujf-grenoble.fr

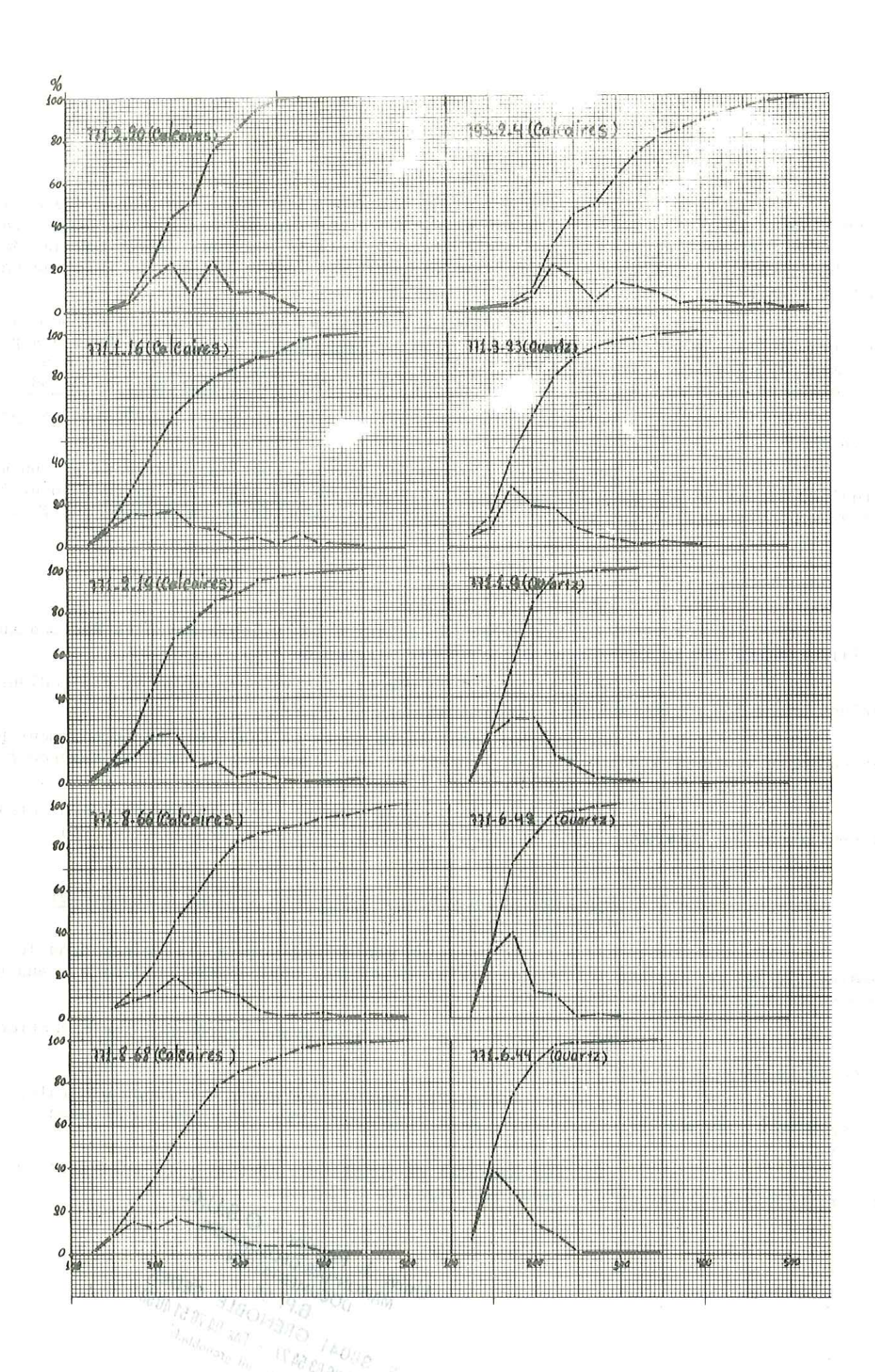


Fig. 24 - Courbes d'ordonnées simples et cumulatives des indices d'aplatissement des galets du conglomérat de Lens-Lestang du Pliocène supérieur.

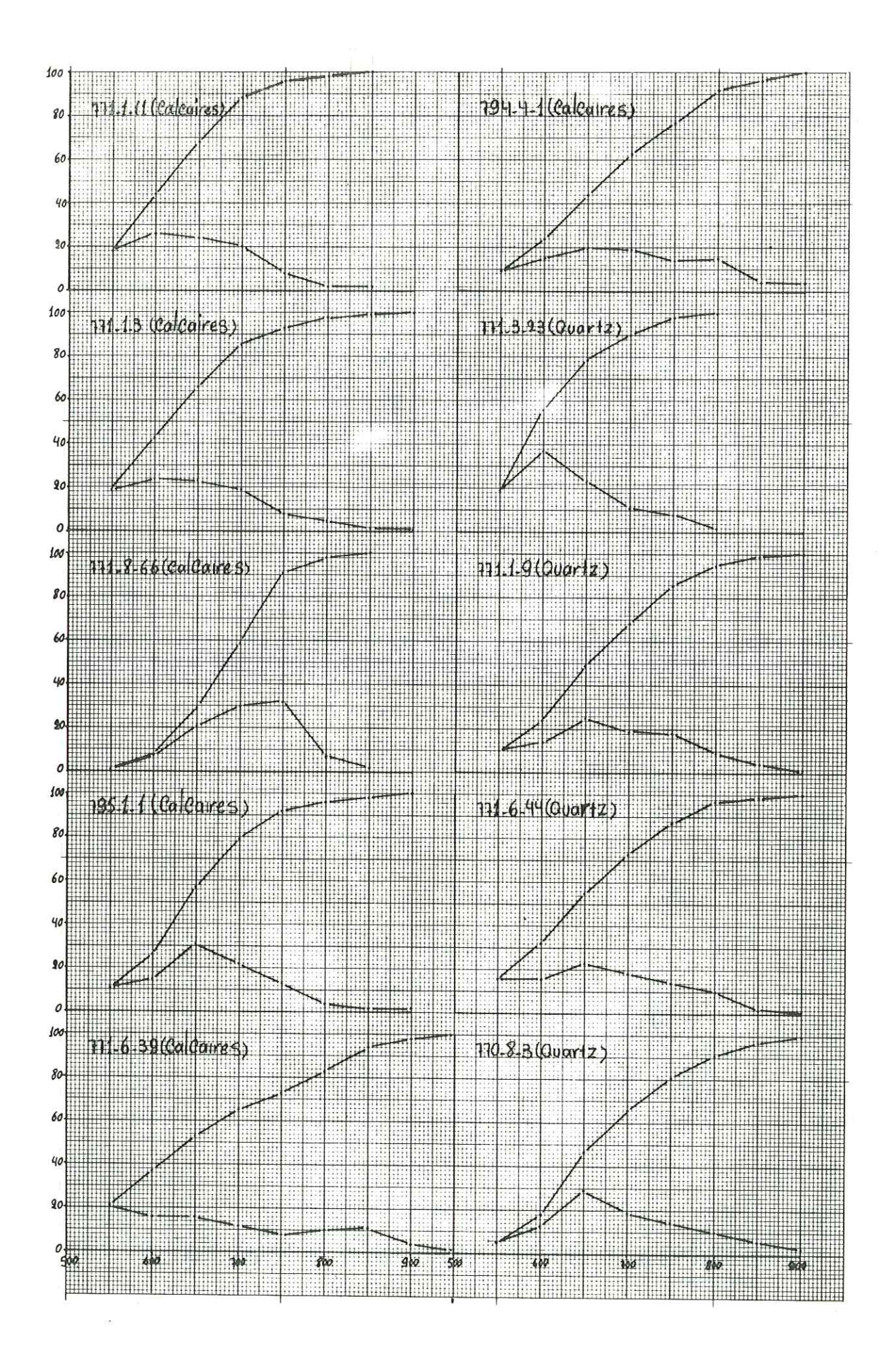


Fig. 25 - Courbes d'ordonnées simples et cumulatives des indices de dissymétrie des galets du conglomérat de Lens-Lestang du Pliocène supérieur.

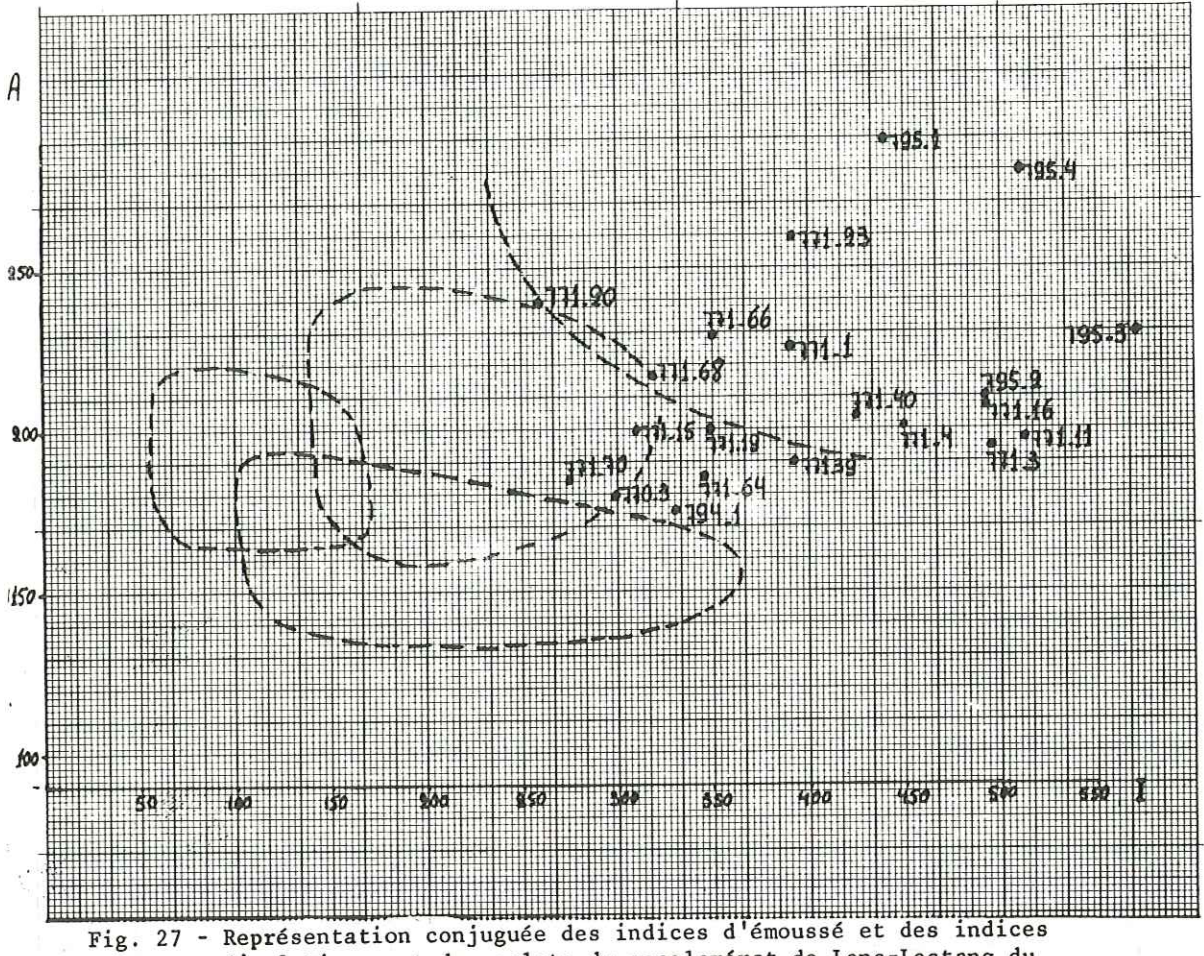


Fig. 27 - Représentation conjuguée des indices d'émoussé et des indices d'aplatissement des galets du conglomérat de Lens-Lestang du

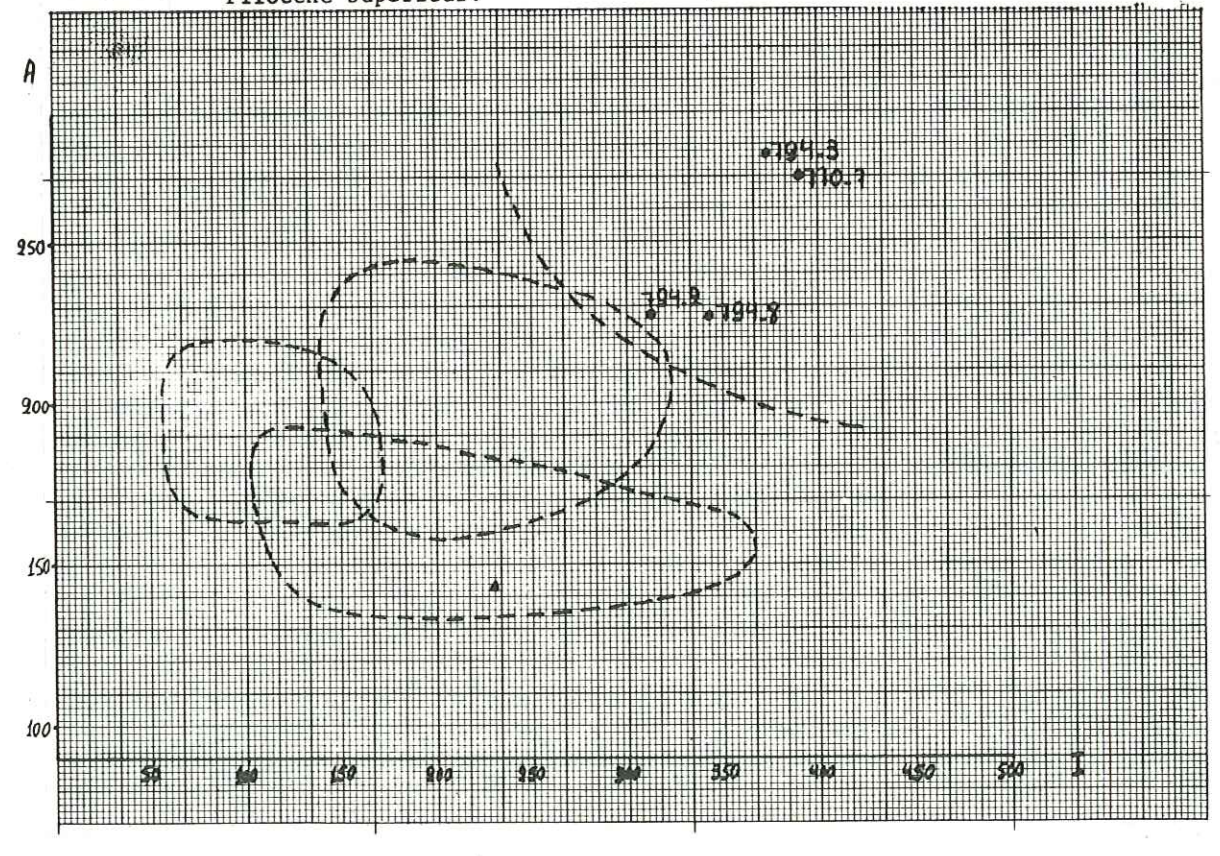


Fig. 26 - Représentation conjuguée des indices d'émoussé et des indices d'aplatissement des galets du conglomérat infrapliocène.

3-3-3- <u>COMPARAISON ENTRE LES FACONNEMENTS DES GALETS DES CONGLOMERATS TERMINAUX</u> DU MIOCENE ET DES CONGLOMERATS DU PLIOCENE SUPERIEUR

Pour chaque indice et pour chacune des deux grandes formations, les résultats précédents sont résumés par une médiane générale dans le tableau ci-dessous :

	Calcai	re	Qua	rtz
	Miocène	Pliocène supérieur	Miocène	Pliocène supérieur
: : :	397	; ; 392	: : 377	312
: A	200	: 210	: 169	: 161
D Å	635	· ·	615 ()	630 (4.3)

Pour les galets de calcaires, on note de faibles différences entre les deux formations; ces différences ne semblent d'ailleurs pas cohérentes entre elles, puisqu'au Pliocène supérieur les galets sont moins émoussés (moins évolués) légèrement plus aplatis (plus évolués) et moins dissymétriques (plus évolués) qu'au Miocène.

Pour les galets de quartz, on note des différences cohérentes : au Pliocène supérieur, les galets sont nettement moins émoussés (nettement moins évolués), moins aplatis (moins évolués), plus dissymétriques (moins évolués) qu'au Miocène.

Dans l'ensemble, les conglomérats du Pliocène supérieur seraient moins évolués et plus fluviatiles que les conglomérats miocènes qui présentent un façonnement plus élaboré.

3-3-4- L'INFRAPLIOCENE

Les conglomérats infrapliocènes sont localisés dans la partie occidentale du Plateau de Chambaran et considérés par R. BALLESIO (1972) comme provenant du remandement à l'Infrapliocène des conglomérats terminaux du Miocène par des torrents affluents de la ria rhodanienne.

L'étude morphométrique confirme cette hypothèse (cf. tableau ci-dessous et fig. 26).

C	alcaire	Qua	rtz
Miocè	ne Infrapliocène	Miocène	Infrapliocène
I: 397	: : 358	377	: : 230
A 200	248	169	145
D :635	673	: 615 :	: 637 :

Pour les conglomérats infrapliocènes, l'émoussé est faible et la dissymétrie est forte : ce sont là des indices de façonnement par un torrent : les galets mieux façonnés du Miocène ont pu être repris par les cours d'eau infrapliocènes et cassés par eux.

En revanche, l'aplatissement des galets calcaires, déjà élevé dans le Miocène, est encore plus fort dans l'Infrapliocène, tandis que l'aplatissement des galets de quartz, déjà faible dans le Miocène, est encore plus faible dans l'Infrapliocène.

Cela voudrait dire que les galets de calcaire du Miocène, déjà fortement aplatis, auraient été traînés par les torrents infrapliocènes qui auraient fait croître leur aplatissement, tandis que les galets de quartz, plus globuleux et transportés par roulement par les torrents infrapliocènes, auraient vu croître leur sphéricité.

Les quartz traduisent, mieux encore que les calcaires, la reprise et le remaniement des conglomérats terminaux du Miocène par les torrents infrapliocènes.

3-4 - CONCLUSION GENERALE A L'ETUDE MORPHOMETRIQUE DES GALETS DES

CONGLOMERATS

Pour l'ensemble des formations conglomératiques du Plateau de Chambaran, aussi bien pour le Miocène que pour le Pliocène supérieur, l'étude morphométrique des galets permet d'évoquer un façonnement et un transport par des appareils fluviatiles longs, matelassés mais rapides, alimentés par des chasses d'eau brutales:

Ces cours d'eau cheminaient suivant une direction E->W.

Les conglomérats du Miocène présentent un façonnement plus élaboré que les conglomérats du Pliocène supérieur.

Le rivage miocène s'allongeait sans doute du Sud au Nord dans la région de Notre-Dame-de-l'Osier, Vatilieu, St-Etienne-de-St-Geoirs.

Au pliocène supérieur, les cours d'eau qui descendaient des Alpes étalaient leurs alluvions continentales très loin en avant du Plateau de Chambaran.

Très localisés dans la partie occidentale de notre région, les conglomérats infrapliccènes, représentent des dépôts effectués par les torrents qui se jetaient dans la ria rhodanienne et remontaient leur tête par érosion régressive en direction de l'Est, à l'assaut du Plateau de Chambaran.

CHAPITRE 4

ETUDE DU CENTILE ET DETERMINATION DES PLUS GROS GALETS MOYENS

4-1- METHODE

La méthode est exposé en détail par A. CAILLEUX et J. TRICART (1959) p. 142. Notre premier but dans l'application de cette méthode fut de mesurer la grossièreté des éléments d'une même formation en divers points et de comparer géographiquement les variations de cette grossièreté.

Le deuxième but fut la recherche de la compétence des cours d'eau transporteurs.

Nous avons appliqué cette méthode suivant les indications de ses auteurs, mais en l'adaptant à nos besoins selon les modifications apportées par J. PERRIEUX (1961) p. 139. Voici comment nous avons procédé:

Sur un affleurement des conglomérats, nous choisissons le plus gros galet et nous mesurons sa surface ; nous calculons la valeur a du côté du carré ayant une surface équivalent à celle du galet ; puis sur l'affleurement nous traçons côte à côte 10 carrés de côté égal à 10a et, dans chaque carré, nous prélevons le plus gros galet.

Chacun de ces 10 galets est mesuré (longueur, largeur, épaisseur, surface, poids) et nous calculons la dimension moyenne L + 1 + E. Puis nous classons ces 10 galets par ordre de taille décroissante et nous choisissons le galet médian qui devient le "plus gros galet moyen"; le choix du cinquième galet plutôt que du premier est dicté par le souci d'éliminer de notre étude les effets de crues exceptionnellement fortes qui ne seraient pas représentatives de la compétence moyenne du cours d'eau étudié.

4-2 - LES RESULTATS

Au total 116 affleurements ont été étudiés dans les conglomérats terminaux du Miocène dits de Voreppe et de Toutes-Aures, de l'Infrapliocène et du Pliocène supérieur dit de Lens-Lestang.

Dans les tableaux ci-après, nous figurons pour chaque affleurement :

- . l'altitude,
- . le Δ, c'est-à-dire la distance verticale approximativement évoluée qui sépare l'affleurement de la surface sommitale du plateau.

Nous verrons en effet que cette surface présente une pente marquée vers l'Ouest qui provient d'une déformation postérieure à son établissement, si bien que tel affleurement, situé à l'Est et à une altitude de 600 m par exemple, mais distant de 100 m du sommet du plateau a été, en réalité, déposé bien avant tel autre affleurement situé plus à l'Ouest, à une altitude de 400 m, mais distant du sommet du plateau de 40 m seulement.

- . Le dimension moyenne 3, en millimètres,
- . le poids en grammes.

4-2-1- ETUDE DES DEUX PRINCIPALES CARACTERISTIQUES (dimension moyenne et poids) DU PLUS GROS GALET MOYEN DES CONGLOMERATS TERMINAUX DU MIOCENE.

4-2-1-1- Région de Voreppe, Montaud (Conglomérats de Voreppe)

LOCALITES	Affleurements		: : ^ : (en m)	: :Dimension : moyenne : (en mm) :	: Poids : : Poids : : (en g) : : :
: Veurey	: : 772-3-20	: : 548	: : 230	: : 88	: 725 :
Voreppe	772-3-9	650	140	162	5300
Saint-Egreve	: 772-8-21 :	: 380 :	: 410 :	: 188 :	: 6600 : : :
	Valeur moyenne	: :	:	: : 162 :	: : 5300 :

4-2-1-2- Région de Rives, Tullins

LOCALITES	: : Affleurements		Alti- tude (en m)	: : : : : : : : : : : : : : : : : : : :	Δ : (en m):	Dimension moyenne (en mm)	:	Poids	:
Rives	: : 772-2-7	:	360	:	: 440 :	99	:	1400	:
Tullins	: 772-2 - 5	:	300	:	500 :	142	:	2000	:
Rives	772-2-6	:	370	:	430	126	:	3050	:
Tullins	: 772-1-3	:	580	:	210 :	160	:	3800	:
Tullins	: 772-1 - 4	:	410	:	380 :	190	:	4850	:
	:	:		:	:		:		. :
	Valeur moyenne		•		:	126	:	3050	

4-2-1-3- Région de St-Paul-d'Izeaux, Vatilieu et N.-D.-de-1'Osier

: LOCALITES	: Affleurements	Alti- tude (en m)	: : Δ :(en m)	Dimension moyenne (en mm)	Poids (en g)
: St-Paul-d'Izeaux	: : 772-1-1	: : 610	: 90	: : 172	: 5000 :
Vatilieu	772-5-14	610	100	183	5170
: Vatilieu	: 772-5-12	480	220	: 206	:11800
N-D de-1'Osier	772-5-16	530	170	225	12000
:	Valeur moyenne			: : 194 :	: 8485 :

4-2-1-4- Région de Plan-Quincieu - Serres - Nerpol

LOCALITES	Affleurements	Alti- tude (en m)	∆ (en m)	Dimension moyenne (en mm)	Poids (en g)
Nerpol et Serres :	771-8-51	460	280	106	: : 1725
Nerpol et Serres	. 771-8-52	350	390	132	2300
Plan	771-4-30	550	: 170	152	: 2750
La Forteresse	772-1-2	640	70	141	3100
Nerpol et Serres :	771-8-49	600	120	125	: 3450
St-Michel-de-St-Geoirs	771-4-31	650	80	161	5100
Quincieu :	771-4-32	638	90	163	: 5900
Quincieu	771-4-33	672	50	227	8800
		•	:	•	
Va	leur moyenne			: : 133 :	: : 3275

4-2-1-5- Région Col de Toutes-Aures - Varacieux - St-Vérand

LOCALITES	: Affleurements	Alti- tude	: : Δ	Dimension moyenne	Poids
and the second second		(en m)	(en m)	(en mm)	(en g
Murinais	: 771-8-54	: : 550	: : 150	123	1450
St-Vérand	795-4-11	432	260	110	1900
Varacieux	: 771-8-47	620	: 80	117	2200
Brion	771-4-27	680	40	131	2750
Varacieux	· : 771-8-46	: 639	: 60	148	2900
Col de Toutes-Aures	771-4-28	630	110	161	4600
Murinais (La Faïtas)	· : 771-7-48	: 600	80	162	: 5200
		:	<u>:</u>	•	•
V	aleur moyenne			131	2750

4-2-1-6- Région de Marnans, St-Pierre-de-Bressieux

LOCALITES	Affleurements	Alti- tude (en m)	: : Δ :(en m)	Dimension moyenne (en mm)	Poids (en g)
St-Pierre-de-Bressieux:	771-3-24	435	: 180	141	3200
St-Pierre-de-Bressieux: (L'Abbaye)		520	: 120 :	143	3400
St-Pierre-de-Bressieux: (Fourneyre et Feuges):	771-3-25	510	120	174	5050
Va	leur moyenne			: 143	: : 3400

4-2-1-7- Région de Dionay, St-Appolinard

LOÇALITES	Affleurements	Alti- tude (en m)	(en m)	Dimension moyenne (en mm)	Poids (en g)
St-Appolinard	: : 771-7-59	530	: : 110	93	: 550
Dionay	771-7-58	540	80	87	850
Chatte	: 795-3-10	340	: 300	95	: 900
St-Appolinard	· 795-3-8	425	190	63	950
St-Appolinard	771-7-60	470	150	113	1450
Bessins	: 771-7-56	; 587	: 60	: 113	2100
Bessins	771-7-55	600	40	173	2400
Bessins (La Combe de Mouze	771-7-57	575	70	113	2450
	: Valeur moyenne	<u>:</u>	•	88	: : 1200

4-2-1-8- Région de St-Christophe-et-Le-Laris

LOCALITES	Affleurements	Alti- tude (en m)	Δ (en m)	Dimension moyenne (en mm)	Poids (en g)
: St-Christophe-et-Le- : Laris	771-5-37	420	70 :	91	1000

4-2-2- INFRAPLIOCENE

4-2-2-1- Région de St-Donat-sur-l'Herbasse, Bren

LOCALITES	Affleurements	Alti- tude (en m)	: Δ : (en m)	Dimension moyenne (en mm)	Poids (en g)
Bren :	794-3-2	340	: 60 :	61	: : 250
St-Donat-sur-1'Herbases	794-4-3	265	: 180 : :	167	: : 3200 :
. Va	leur moyenne			114	: : 1725

4-2-3- ETUDE DES DEUX PRINCIPALES CARACTERISTIQUES (Dimension, moyenne et poids) DU PLUS GROS GALET MOYEN DES CONGLOMERATS DU PLIOCENE SUPERIEUR

- Nord du Plateau de Chambaran

4-2-3-1- Région de Marnans

LOCALITES	Affleurements	Alti- tude (en m)	(en m)	Dimension moyenne (en mm)	Poids (en g)
: Marnans	: : 771-3-23	540	: ; 60	159	4950
: Viriville	: : 771-2-20	480	: : 90	160	5700
:	Valeur moyenne	•	:	159	5325

4-2-3-2- Région de Lentiol, le Grand-Serre

LOCALITES	Affleurements	Alti- tude (en m)	(en m)	Dimension moyenne (en mm)	Poids (en g)
Le Grand-Serre :	771-1-15	: : 430	60	73	450
Le Grand-Serre	771-1 - 13	430	40	-50	900
St-Clair-sur-Galaure :	771-2-19	: 460	50	108	1600
Le Grand-Serre (Bérute)	771-1-14	440	40	88	2100
Le Grand-Serre (Le Buis	771-1-16	: 30	70,	127	2800
Lentiol	771-1-12	400	90	128	2800
Le Grand-Serre(Le Buis):	771-2-17	: 440	50	133	3050
St-Clair-sur-Galaure	771-6-36	460	50	153	3300
Le Grand-Serre : (Champ militaire)	771-2-18	465	30	185	9500
Va	leur moyenne			127	2800

4-2-3-3- Région de Lens-Lestang

LOCALITES	Affleurements	Alti- tude (en m)	Δ (en m)	Dimension moyenne (en mm)	Poids (en g)
Lens-Lestang	: ; 771-1-3	370	60	: : 106	1600
Lens-Lestang (Barbonnière)	771-1-1	335	90	120	2200 2200
Lens-Lestang (Combe Echatel)	771-1-9	390	30	127	2400
Lens-Lestang (Combe Echatel)	771-1-8	390	40	112	3400
Lens-Lestang (Combe Echatel)	; : 771-1-10 ;	415	20	163	: : 5350
V	aleur moyenne			127	: : 2400

4-2-3-4- Région de Moras

LOCALITES	: : : :	Affleurements	: :/Alti- : tude : (en m)	Δ : (en m):	Dimension moyenne (en mm)	: : : : : : : : : : : : : : : : : : :
: Moras-en-Valoire		770-4-2	: : 400 :	: 10 :	101	: : : 1390 : : :

Zone Centrale et méridionale du Plateau de Chambaran

4-2-3-5- Région de Roybon

LOCALITES	Affleurements	Alti- tude (en m)	Δ (en m)	Dimension moyenne (en mm)	Poids (en g)
Roybon (Le Vatilier)	: 771-8-66	: : 550	: : 80	130	2650
Roybon (L'Aigue Noire)	771-8-68	570	60	136	4350
Roybon (Gerbert)	. 771-8-64	: 580 :	70	160	4600
Vale	ur moyenne			136	4350

4-2-3-6- Région de Dionay, St-Antoine

LOCALITES	Affleurements	Alti- tude (en m)	Δ (en m)	Dimension moyenne (en mm)	Poids (en m)
St-Antoine (Les Secs)	: : 795-2-4	: : 500	90	85	750
Bessins	771-8-70	580	50	112	1900
Dionay (Cottoyaux)	771-6-44	: 580	20	116	2050
Dionay (Col de Madeline)	771-6-42	540	50	118	2250
Dionay La Verne)	771-6-45	525	: 60	135	2400
	:	•	•		
Va1		: :	116	2050	

4-2-3-7- Région de St-Bonnet-de-Valclérieux, le Chalon

LOCALITES	Affleurements	Alti- tude (en m)	. Δ (en m)	Dimension moyenne (en mm)	Poids (en g)
St-Bonnet-de-Valclérieux (Combe-Charpin)	: 795-2-3 :	440	: 90 : 90	78	650
St-Bonnet-de-Valclérieux	771-6-40	440	100	100	1200
Le Chalon (Combe de Vaux)	· 795-1-2 ;	420	90	115	2100
Montrigaud	771-6-39	465	80	136	3150
Le Chalon (Bobinière)	795-1-1	430	90	143	3450
Va	leur moyenne	e		115	2100

4-2-3-8- Région de Montchenu, Bathernay

LOCALITES	Affleurements	Alti- tude (en m)	(en m)	Dimension moyenne (en mm)	Póids (en g)
Montchenu	: 770-8-3	: 440	: : 40	83	: 700
Bathernay	794-4-1	450	5	115	1550

4-2-3-9 Région de Beausemblant

: LOCALITES : : : :	Affleurements	: Alti- : tude : (en m)	:	Dimension moyenne (en mm)	Poids:	;
: Beausemblant (St-Philibert): :	770-7-8	: : 300 :	: : 30	125	: : 2100	:

4-3- CONCLUSIONS A L'ETUDE DU CENTILE

4-3-1- VARIATION DES VALEURS DU CENTILE SUIVANT LES DIRECTIONS DE COURANTS

Des directions de courants ont été déterminées par l'étude des litages et de l'inclinaison des galets (cf. chapitre 5). Des courants de direction sensiblement E-W pour le Miocène et variables pour le Pliocène ont été établis (cf. fig. 29). Quand on chemine suivant ces directions de courants, on observe une diminution régulière de la dimension moyenne et du poids du plus gros galet moyen:

4-3-1-1- Pour les Conglomérats terminaux du Miocène dits de Voreppe et de Toutes-Aures

	Dimension moyenne (en mm)	Poids (en g)
Région de Voreppe-Montaud :	162	: : 5300
Région de Rives-Tullins	126	3050
Région de St-Paul d'Izeaux - Vatilieu: Notre-Dame-de-l'Osier	194	8485
Région de Plan - Quincieu - Serre Nerpol	133	: : 3275 :
Région Col de Toutes-Aures - Varacieux St-Vérand		: : 2750
Région de Marnans - St-Pierre-de- : Bressieux :	143	3400
Région de Dionay - St-Appolinard	88	1200
Région de St-Christophe et-le-Laris	91	1000

4-3-1-2- Pour le Pliocène supérieur on peut suivre, dans chaque chenal, la diminution de la dimension moyenne, concomitante de la diminution de la compétence des cours d'eau

Pour le vaste chenal qui entaille le nord du plateau et aussi pour les zones centrales et méridionales du Plateau de Chambaran, la diminution est manifeste:

, Nord du Plateau de Chambaran

	Dimension moyenne	Poids
: :	(en mm)	(en g)
: : Région de Marnans	: 159	: : : 5325 :
Région de Lentiol, le Grand-Serre	127	2800
: Région de Lens-Lestang	127	2400
Région de Moras	101	1390
	: * * * * * * * * * * * * * * * * * * *	
. Zone Centrale : chenal de Dionay et	_St-Antoine	
Région de Roybon	: 136	: : 4350
Région de Dionay et St-Antoine	116	2050
		:
. Zone Occidentale : chenal de St-Bon	net-de-Valclérieux et	Le Chalon
Région de St-Bonnet-de-Valclérieux et le	115	2100
Chalon		

4-3-2- VARIATION DES VALEURS DU CENTILE EN FONCTION DE L'ALTITUDE

L'étude granulométrique a fait apparaître une augmentation de la grossièreté moyenne des conglomérats, qu'ils soient miocènes ou pliocènes, de la base au sommet du plateau.

Ceci explique le fait que la surface du plateau soit régulièrement tapissée de gros galets. Cette abondance de gros galets a fait croire à un dépôt particulier, postérieur au Pliocène supérieur et par conséquent attribué au Villafranchien, et appelé "Formation Conglomératique du Chambaran".

Ce fait a été confirmé par l'étude du centile. Chaque fois que des mesures ont été faites sur des coupes verticales, la dimension moyenne et le poids du "plus gros galet moyen" ont augmenté avec l'altitude : cf. tableau 4-2-1-1 à 4-2-1-8 pour le Miocène et tableau 4-2-3-1 à 4-2-3-9 pour le Pliocène supérieur.

A titre d'exemple, nous indiquons ci-dessous les variations du "plus gros galet moyen" le long de la coupe verticale du Vallon de l'Echatel à Lens-Lestang :

Affleurement	: Altitude	Dimension moyenne	Poids	
ALI ICUI CINCII		(en mm)	(en g)	
771 - 3	: 370	: 106	: : 1600	
771 - 9	: 390	: 127	: 2400	
771-8	390	112	3400	
771-10	: 415	: 163	: 5350	
771-10	: 415 :	: 163 :	: 5350 :	

De façon plus générale, nous avons figuré pour les conglomérats terminaux du Miocène (fig. 28A) et pour les conglomérats du Pliocène supérieur (fig. 28B) une représentation géographique et altimétrique des "plus gros galets moyens" caractérisés par leur dimension moyenne et leur poids.

On constate une augmentation progressive de la grossièreté des plus gros éléments de ces conglomérats depuis la base jusqu'au sommet du plateau ou, plus précisément, au fur et à mesure que diminue la distance (Δ) qui sépare l'affleurement de la surface sommitale du plateau.

Au chapitre 7, nous verrons que la surface du plateau a été altérée postérieurement au Pliocène : ainsi la plupart des galets de calcaire et de cristallin ont disparu ; seuls résistèrent et sont restés sur place les galets de quartzite, qui sont de grandes dimensions puisqu'ils se trouvent au sommet des séries miocènes ou pliocènes.

Ainsi, le "Conglomérat de Chambaran" n'existe pas en tant que formation mais serait un faciès d'altération du sommet du Plateau de Chambaran.

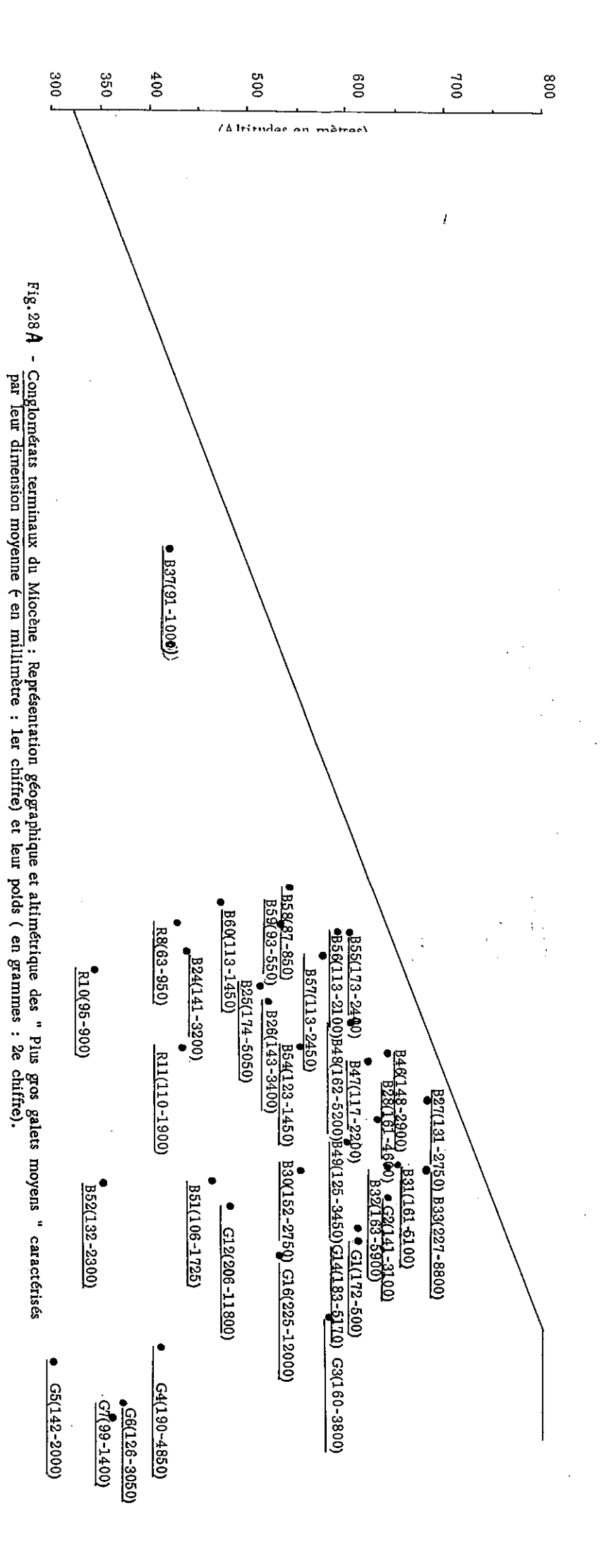
4-3-3- LE PROBLEME DES CONGLOMERATS DE NOTRE-DAME-DE-L'OSIER

Nous avons vu (chap. 1, p. 17) que la région de Notre-Dame-de-l'Osier, Vatilieu, St-Paul-d'Izeaux se trouvait dans une zone synclinale où, de ce fait, la partie sommitale des conglomérats terminaux du Miocène supérieur était située à une altitude relativement basse. A l'intérieur de cette région on assiste, comme ailleurs, à une augmentation des valeurs du "plus gros galet moyen" quand on s'élève en altitude (tableau 4-2-1-3) et c'est à Notre-Dame-de-l'Osier, au coeur du synclinal, que l'on observe les valeurs les plus élevées malgré une altitude relativement basse.

Dès que l'on s'éloigne vers l'est, en direction de l'anticlinal de Varacieux - col de Toutes-Aures - Brion, les dimensions du "plus gros galet moyen" diminuent malgré une élévation de l'altitude : en réalité en passant du "synclinal de Notre-Dame de l'Osier" à"l'anticlinal de Varacieux," on descend dans la série stratigraphique tout en s'élevant en altitude.

Et à l'intérieur de cette zone anticlinale de Varacieux-Brion, on retrouve le phénomène général de l'augmentation des dimensions des plus gros galets moyens quand on s'élève dans la série (tableaux 4-2-1-4 et 4-2-1-5).

L'étude du Centile confirme donc la place normale des Conglomérats de Notre-Dame-de-l'Osier au sommet du Tortonien et les situe même à la partie supérieure des Conglomérats terminaux du Miocène.



St-Appolinard St-Pierre - Toutes-Au- Quincieux, Izeaux, Va-de-Bressieux res. Serre - tilieu, N.D Dionay, Marnans, Plan, tilieu, N.D. St-Paul-d' RIVES TULLINS.

Nerpol. de l'Osier.

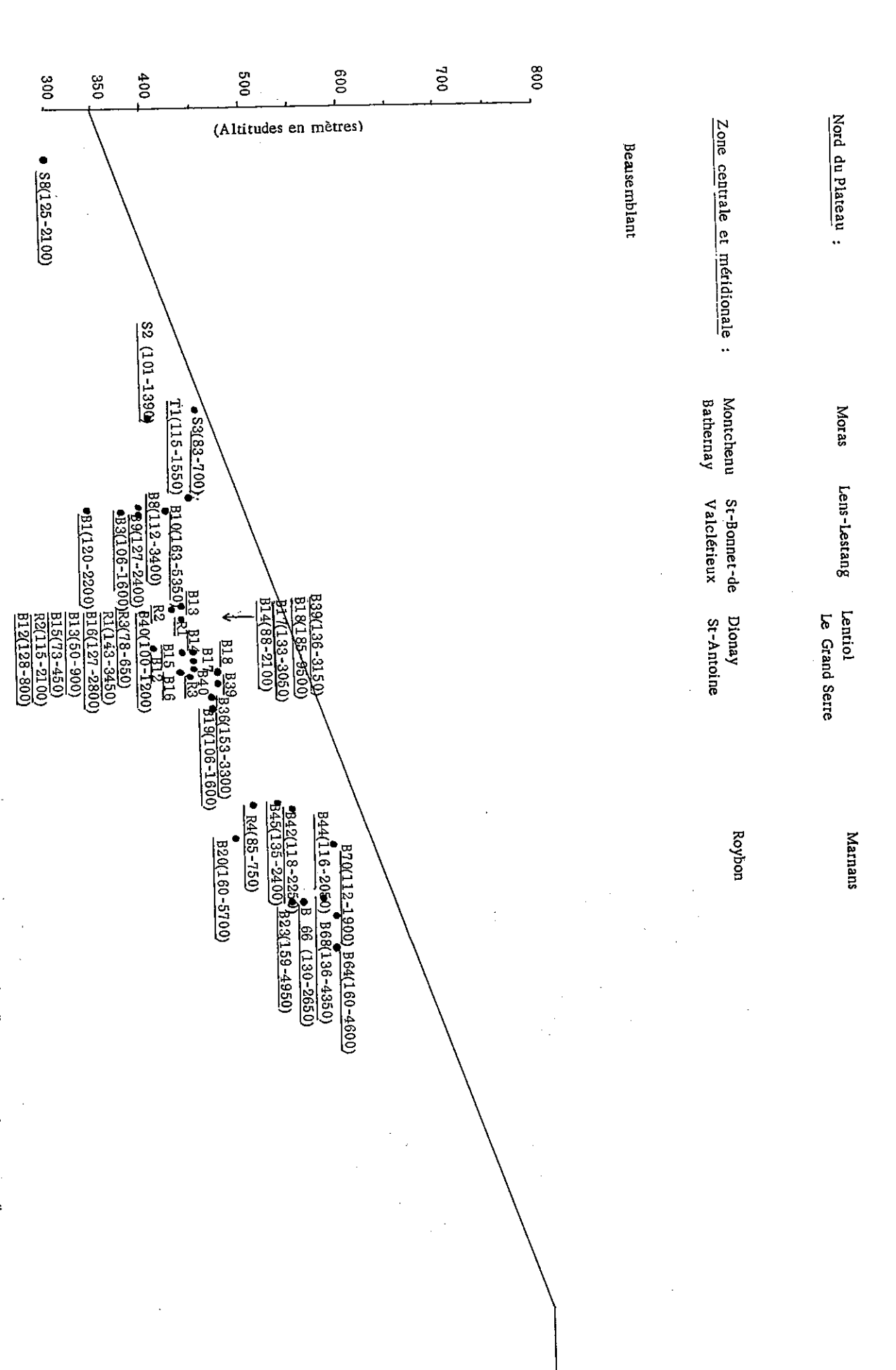


Fig. 28 B- Conglomérats du Pliocène supérieur : Représentation géographique et altimétrique des " Plus gros galets moyens" caractèrisés par leur diménsion moyenne (en millimètres : 1er chiffre) et leur poids (en grammes : 2eme chiffre).

ETUDES DES DIRECTIONS DE COURANTS

5-1 - LES METHODES UTILISEES

5-1-1- <u>DANS LES CONGLOMERATS</u>, la méthode la plus pratique est celle qui consiste à mesurer l'orientation et l'inclinaison des galets (A. CAILLEUX et J. TRICART, 1959).

5-1-1-1- Orientation des galets

On choisit les galets <u>allongés</u> (allongement L/1 supérieur à 1,5) et <u>réguliers</u>; on mesure 50 à 100 galets par série. Quand les galets sont contigus, on ne mesure que les <u>gros galets</u> (2 à 3 % du total), non influencés par les facteurs locaux; on note la situation de chaque galet (isolé ou contigu).

On mesure à la boussole l'orientation (=azimuth du grand axe (L) de chaque galet, entre 0° et 180° (précision à 5° près). L'orientation se mesure dans le plan des strates ramenées par la pensée à l'horizontale.

Sachant par l'analyse granulométrique que ces conglomérats ont été mis en place par des courants liquides, on peut admettre que la direction de ces courants est perpendiculaire à celle du grand axe des galets.

5-1-1-2- Inclinaison des galets

On appelle inclinaison d'un galet l'angle dièdre du plan de <u>litage</u> et du plan passant par L et l (plan dominant) du galet.

On mesure 50 à 100 galets; on choisit les galets aplatis (aplatis-sement) 200), réguliers, si possible isolés: s'ils sont contigus, on mesure seulement les gros galets (2 à 3 % du total); on n'a pas mesuré les galets dont la longueur est inférieure à 5 cm.

On mesure au clinomètre la valeur, de 0 à 90°, de l'inclinaison (I) de chaque galet et on note le sens de cette inclinaison ou, éventuellement, on mesure son azimuth.

Sachant que, dans un courant liquide, les galets sont inclinés vers l'amont-courant, on peut déduire le sens d'un courant par les mesures d'inclinaison des galets.

5-1-2- DANS LES SABLES ET LES GRES

Nos sables et grès sont des molasses comportant des litages inclinés et entrecroisés. La mesure de l'azimuth des lignes de plus grande pente des lits inclinés fournit directement la direction des courants ; pour chaque affleurement plusieurs dizaines de mesures sont effectuées et un sens moyen est déduit de cet ensemble.

5-2 - REPRESENTATION DES RESULTATS

- 5-2-1- SOUS FORME DES TABLEAUX 5A, 5B, 5C et 5D
- 5-2-2- SOUS FORME D'UNE CARTE (Fig. 29)

Pour chaque affleurement étudié, la direction moyenne des écoulements a été reportée sur une carte (Fig. 29) à son emplacement géographique, sous forme d'une flèche. A côté de cette flèche sont indiqués :

- L'azimuth de la direction, noté de 0 à 360° à partir du N dans le sens des aiguilles d'une montre.
- Pour les conglomérats, la valeur de l'inclinaison des galets. En outre, cette valeur permet, rappelons-le, de se faire une bonne idée de l'agent de dépôt final (mer, fleuve, torrent).

 O50 0305013

Tableau 5A - Orientation et inclinaison des galets des conglomérats terminaux du Miocène (Conglomérats de Voreppe et de Toutes-Aures)

Région de Voreppe, Montaud

Numéros d'affleurements	:tude	:Orientation moyenne : : du grand axe des : :galets (de 0 à 180°):	galets en degrés	Direction moyenne des courants (de O à 360°)
772-8	300	,60	30	330
772-21	: 380	9 60	2 0	330
772-11	620	70	26	340
772-9	: : 650	40	20	310
Région	de Rive	s, Tullins	√ 25	:
<u>Région</u> 772-5 772-7	de Rive : : 300 : : 360	s, Tullins : : : : : :	× ²⁵	240
772-5	300		22	240
772-5	300	150		240
772-5 772-7	: : 300 : 360 :	150	22	

Région de Brion, Vatilieu, Notre-Dame-de-1'Osier

no de

2254

			170)	260
:	Numéros/72-12 d'affleurements	Alti÷ tude: - (en-m)	Orientation moyenne du grand axe des \$20 lets (O à 180°)	Inclinaison des ó galets en degrés	Direction movemme des courants (de 0 à 360)
:	771- <i>5</i> 2 ⁷ 2-13	350	135	20	2225 V
:	771-51	460	Hadan. Valigo	37	260
:	772-12; ,		1100	to the man to the second to the	190
:	772-13	490	40		310 kg
: : :	772-16 . 771-	530 11	140	4ô	230
:	771-49	600	480 135	25	225
:	772-1 	610	En vrac	40	
:	772-14	610	1355		2251
: : _	771-28	630	120	15	210
:	771-32	638	155	, \25	245
: : _	772-2	640	7.20	/20	290
: : -	771-31 :	650	(chenaux) 110		290
:	771-33 :	672 :	1 15	<i>\</i>	285
:	771-27	680	35	✓ ₁₆	305
			•	<u> </u>	<u> </u>

Région de Marnans, Saint-Pierre-de-Bressieux

•			,	
Numéros d'affleurements	tude		Inclinaison des alets en degrés	Direction moyenne des courants (de 0 à 360°)
771-24	: : : : : : : : : : : : : : : : : : :	112	_23	202
771-22	: 490 :	165	-20	: : <u>255</u>
771-25	510	120	29	210
771-26	520	en vrac		: : :
Région	de Murinais	s, Varacieux		
				<u> </u>
795-11	432	en vrac		: : :
771-48	600	7 43	∕ ₃₅	313
771-47	620	en vrac	, .	: :
771-46	: 639 :	/ 30 :	<u> </u>	300

Région de Dionay, St-Appolinard

		•		
Numéros d'affleurements	tude	Orientation moyenne du grand axe des galets (de 0 à 180°)	Inclinaison des galets en degrés	Direction moyenne des courants (de O à 360°)
795-10	340	: ← → 90	30	: : :
795-8	: 425	← → 90	15)
771-60	: 470 :	170	- 29	: 260
771-59	: 530	65	<i>\(\)</i>	245
771-58	540	160	├ 20	250
771-57	: : 575	7 55	∕ ₃₀	325
771-56	587	115	25	205
771-55	600	30		300
<u>Région de</u>	Saint-	Christophe		
771-37	: : 420	: : : : \v170	+ 20	: 260

Tableau 5B - Direction des courants de Sables gréseux du Vindobonien.

: Numéros : d'affleurements :		: : Nature du litage :	: Direction moyenne des : courants (de 0 à 360°) : :
: : 794-3 :	265	litage incliné dans des très nombreux chenaux	↑
771-38	: 315	: litage entrecroisé	335
: 794-2	: 340 :	chenal	1/20
: 795-6	: 430	litage incliné	315
771-50	520	litage entrecroisé	230
771-59	530	litage incliné dans chenaux de 2 à 10 m de largeur	335
: 771-29	530	litage oblique	320

Tableau 5C - Orientation et inclinaison des galets du conglomérat infrapliocène.

		<u> </u>		
: Numéros		Orientation moyenre	Inclinaison des	Direction moyenne
d'affleurements		du grand axe des galets (de 00à180°)	galets en degrés	des courants (de 0 à 360°)
: ; 794-3 :	: : 265 :	↓	15	270 ←
770-7	280	:	en vrac	
794-8 :	300	165	\ ²²	255
: 794-2 :	340	en vrac	en vrac	:

Tableau 5D - Orientation et inclinaison des galets du conglomérat du Pliocène supérieur dit de Lens-Lestang.

Région de Marnans

				· · · · · · · · · · · · · · · · · · ·
Numéros d'affleurements	tude	rientation moyenne du grand axe des lets (de O à 180°)	: : Inclinaison des :galets en degrés :	Direction moyenne des courants (de 0 à 360°)
771-20	: 480 : : 480 :	130	26	260
771-23	: 540 :	1125	22	215
Rég	ion de Len	tiol, le Grand-Serr	<u>e</u>	en er formaliseren er en en er e En en er en
			· · · · · · · · · · · · · · · · · · ·	
771-13	430	155	25	245
771-15	430	1/65	28	255
771-16	430	130	30	220
771-17	440	130	25	220
771-35	450	↑ 180	20	270 ←
771-19	460	110	138	200
771-18	465	_	27 7	:

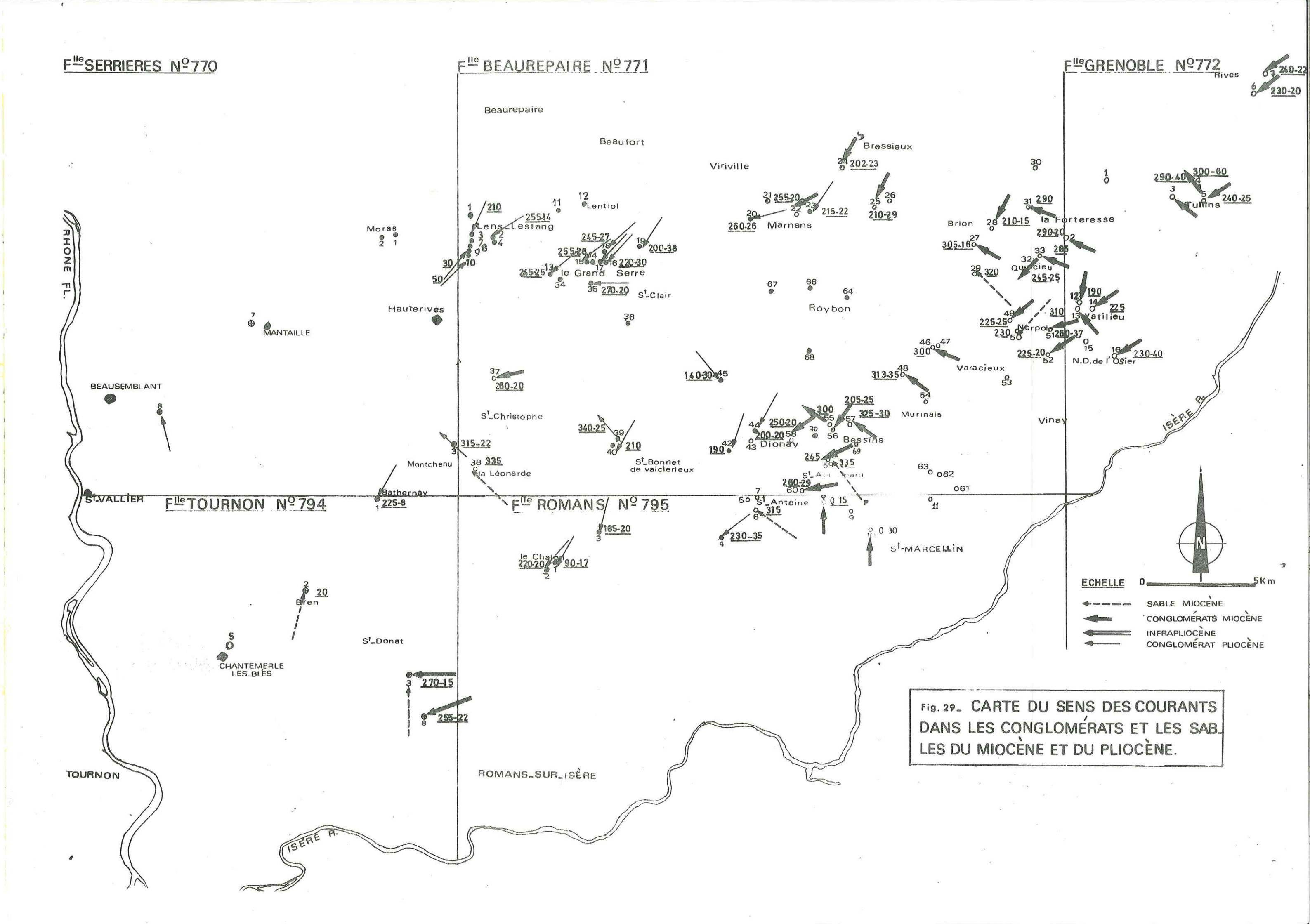
155

Région de Lens-Lestang

	the state of the s		A CONTRACTOR OF THE PARTY OF TH
tude	du grand axe des	Inclinaison des : galets en degrés:	Direction moyenne des courants (de O à 360°)
370	120		210
: : : 390 :	120	_	1 30 :
415	1140	X	7 50
: 415	165	\tag{14}	255
de Roybon		4 A. 3	ቴ. 2 t
550	en vrac		
570	en vrac	9	
: : : 580 :	en vrac		
de Dionay-S	St-Antoine		
500	140	₹ 35	230
525	1 50	30	140
540	100	en vrac	190 V
580	en vrac	:	
580	110	20	200
	tude (en m) gs 370 390 415 415 415 550 570 580 580	tude (en m) du grand axe des galets (de 0 à 180°) 370 120 390 120 415 140 415 165 de Roybon 550 en vrac 570 en vrac 580 en vrac 580 en vrac 580 en vrac	tude (en m) galets (de 0 à 180°) 370 120 390 415 415 140 415 165 de Roybon 570 en vrac 580 en vrac 40 panel axe des galets en degrés galets en de

Région de Saint-Bonnet, le Chalon

Numéros d'affleurements	tude	Orientation moyenne du grand axe des galets (de O à 180°)	: : Inclinaison des : galets en degrés :	Direction moyenne des courants (de 0 à 360°)
795-2	420	130	20	220
795-1	430 :	160	17	190
795-3	440	←→ 95.	20	185
771-40	440	120	<u></u>	210
771-39	465	7 70	25	3407
Région	de Montche	enu, Bathernay		
770-3	440	1 45	: : : 22	315
794-1	450	7135	V 8	225



5-3 - INTERPRETATION DES RESULTATS

5-3-1- DETERMINATION DU SENS DES COURANTS

5-3-1-1- Détermination du sens des courants dans les conglomérats terminaux du Miocène (Conglomérats de Voreppe et de Toutes-Aures) Tabl. 5A

Il apparaît nettement deux directions principales : l'une NE-SW, l'autre SE-NW.

Les apports en provenance du SE prédominent à l'est et au sud ; les apports en provenance du NE prédominent au nord.

Une représentation altimétrique des directions de courant a été effectuée à titre d'essai et pour vérifier l'hypothèse éventuelle d'une variation, dans le temps, de ces directions : une telle hypothèse a été infirmée.

5-3-1-2- <u>Détermination du sens des courants dans les Sables gréseux du Vindobonien</u> (Tabl. 5B)

Nous avons vu (étude granulométrique p. 56) que les conglomérats fluviatiles du Miocène supérieur passent latéralement vers l'ouest et le sud-ouest à des sables molassiques de plus en plus marins.

En même temps que ce changement dans le type de dépôt final, on constate un changement dans les directions d'apport : à la direction SE-NW classique, observée à l'E dans les Sables continentaux à Hélix delphinensis, s'ajoute à l'W une direction S-N, voires SSW-NNE, notamment dans les Sables marins de St-Donat, de Montchenu et de Tersanne et que nous interprétons comme étant en relation directe avec les courants marins de la plateforme épicontinentale.

Cet environnement marin est confirmé par le litage entrecroisé à structure lenticulaire indiquant un dépôt de microcuvettes, perpétuellement remanié par des courants changeants, sur une plateforme marine épicontinentale.

5-3-1-3- <u>Détermination du sens des courants dans les conglomérats</u> de 1' infrapliocène (Tabl. 5C)

Les quelques mesures effectuées indiquent des transports EW- ou NE-SW, liées à l'aspect "en vrac" des galets, ces mesures confirment le dépôt par des cours d'eau rapides, affluents directs du "pré Rhône" situé à l'ouest.

5-3-1-4- Détermination du sens des courants dans les conglomérats du Pliocène supérieur (Conglomérat de Lens-Lestang) (Tabl. 5D)

On voit nettement sur la figure 29 p. 108 que les directions de courants du Pliocène supérieur s'organisent suivant un sertain nombre "d'appareils" cheminan du NE vers le SW et nous rappelons ici les conclusions de l'étude du centile (p.94 à 96) et de l'étude morphométrique des galets (p.84): dans chaque appareil, sorte de vaste cours d'eau comblant les chenaux d'érosion infrapliocènes, les éléments déposés accusent une diminution régulière de leurs dimensions et un façonnement plus élaboré au fur et à mesure qu'on se déplace de l'est vers l'ouest, c'est-à-dire quand on chemine suivant le sens du courant.

5-3-2- GEOMETRIE DES DEPOTS

5-3-2-1- <u>Dans le Miocène</u>, les galets présentent une inclinaison variant de 15 à 60°, autour d'une médiane de 25°.

Les fortes inclinaisons correspondent à des localités situées à l'est (Tullins) tandis que les faibles inclinaisons sont situées plus à l'ouest. De toute manière, ces inclinaisons correspondent à des dépôts de type fluviatile turbulent.

5-3-2-2- <u>Dans le Pliocène</u>, les galets présentent une inclinaison variant de 8 à 38° autour d'une médiane de 25°. La faible inclinaison de 8° est située à Bathernay qui est l'affleurement le plus occidental de notre région ; et la plus forte (38°) est au NE du plateau, c'est-à-dire située à l'amont des courants transporteurs.

Dans l'ensemble, ces inclinaisons correspondent comme pour le Miocène, à des dépôts de type fluviatile et on peut suivre d'E en W la diminution de la compétence des cours d'eau.

- The Committee Committe

A TOTAL AND A SECTION OF A SECT

The same of the same of the same of the same of the

ETUDE DES MINERAUX LOURDS

La recherche de la province distributrice qui a fourni les sédiments détritiques du Bas-Dauphiné a déjà trouvé un embryon de réponse avec l'étude pétrographique des conglomérats (chap. 1 p. 24).

Une autre voie d'approche est celle des minéraux lourds, magnifiquement utilisée par G. LATREILLE (1969).

6-1 - RESUME DES TRAVAUX DE G. LATREILLE, CONCERNANT LE BAS-DAUPHINE

MERIDIONAL (PLATEAU DE CHAMBARAN)

6-1-1- POUR LE MIOCENE, le cortège essentiel des minéraux lourds est fourni par l'ensemble épidote-grenat-amphibole (glaucophane, actinote, hornblende) et provient de l'érosion de la zone piémontaise des Schistes lustrés. Ce cortège alpin est accompagné par un faible pourcentage de minéraux de métamorphisme et de minéraux résistants présents dans les terrains crétacés et nummulitiques des chaînes subalpines et provenant en première origine du Massif Central (A. VATAN, 1949 et 1957, p. 468); ce sont : tourmaline, zircon, anatase, andalousite, staurotide, disthène.

Quant aux minéraux légers, ils ont une origine beaucoup plus diversifiée et peuvent provenir de toutes les zones alpines et subalpines, confirmant ainsi la multiciplicité de provenance des galets.

6-1-2- LE PLIOCENE

Seuls ont été étudiés par G. LATREILLE le Pliocène inférieur marneux et le Pliocène moyen (Sables de Lens-Lestang); ces deux niveaux présentent les mêmes cortèges minéralogiques en minéraux frais que ceux du Miocène. L'auteur conclut donc à une alimentation directe à la même source alpine.

Les conglomérats du pliocène supérieur n'ont pas été abordés par cet auteur. C'est pourquoi nous les avons plus particulièrement étudiés dans ce travail.

6-2 - LA METHODE

A. - Séparation par liqueurs denses

or well all I amount with I saw your all you grow in a some

The Market of Mark Market Control of the State of the Control of t

- a) Bromoforme-CHBr₃ (d = 2,89 à 20°C) qui permet de séparer la fraction légère (d \(2,9 \)) de la fraction lourde (d \(2,9 \)).
- b) Iodure de méthylène CH₂I₂ (d = 3;32 à 20°C) qui permet de séparer la fraction lourde en deux parties : une fraction (2,9 \(\) d \(\) 3,3) et l'autre (d \(\) 3,3).
- c) Autres liqueurs denses : liqueur de clérici, liqueur de Thoulet...
- d) Centrifugation : on utilise des tubes de forme spéciale qui permettent la récupération sans risque de mélange des deux fractions séparées.

B. - Séparation magnétique : on trie les minéraux en fonction de leur susceptibilité magnétique. Les corps ferromagnétiques sont très facilement déviés.

- a) Séparatéur électromagnétique FRANTZ : les minéraux défilent sur une réglette dans l'entrefer d'un électro-aimant.
 - b) Séparateur électromagnétique CARPCO : qui est basé sur l'aimantation résiduelle des minéraux après passage dans un champ magnétique fort.
- c) Examen au microscope stéréoscopique :

 Il permet la détermination finale des diverses espèces minéralogiques
 qui constituent le cortège lourd.

6-3 - LES RESULTATS

Ils sont présentés sous la forme du tableau suivant où, pour chaque échantillon, le pourcentage de chaque minéral a été présenté de façon simplifiée :

- + + : forte proportion
- + : proportion moyenne
- : faible proportion

		ş	.,							,		
			,, ग्र.ग प्रा	o,	। एक		- o	,	., ₩	 	 	
	st-A ppomnaro	795-8	772-2 Forteresse	771-60 St-Appolinard	771-48 Faitas		St-Donat-sur-1'Her- basse	794-3	794-2 Bren	771-59 St-Appolinard	771-38 Montchenu	Affleure ments et Localités
	тор	- CS	2 esse	50 polin	₩	- i	nat-s	မ	. 2.	-59 polin	-38 henu	reme
	aro		•	ard		·	, L			ard		ints
		:			•		Her-					• "
	+	•••		 1	+	Lent	+	••	1	 . +	 +	Epidote
		••				illes		•••••	. , ,	,		Grenat
	ļ		,	•••		sable			., ., .	· · · · ·		
* **	+	,	. ‡ 、	+	+	uses	t.	7	+	+ .	+ + + +	Glaucophane
• • • • • • • • • • • • • • • • • • •			-	+;		des	+	••		• •• ••		
	+			+	+,	cong			#	+	+ + +	Hornblende
			•• •• , •• •	* •• •• •• •	•• •• ••. •	lomé	;; ··· · · ·	•• ••	., +	+	[6] + !	Apatite
nate of	ļ., .,	•	₂ ,	••••		Lentilles sableuses des conglomérats terminaux du Miocène			., .,		,, ,,	Chlorite
	1	r. 	. 1°.	1 th		term			+	1 , ,	* }	
in ∰ Karamana na marana na mar Marana na marana na m			* · · ·	. ". 		inaw		- 44 - 44 - 44 - 44		راچو جو د		Hématite
**************************************	ļ.,			. + .		ć di	ļ ,	•••	•			Ilménite
					÷	Mio						Limonite
, (C) n · · ·		* **,	+		**	ène						Mispickel
	4	• ••	+		+	(Co	+		†	+	+	Muscovite
				+ .		(Conglomérats				. +	±	Muscovite Sericite
		• •••	•• •• •• • • • • •		••	nérati		•••				Magnétite
	ļ., .,	• • • • · · · · · · · · · · · · · · · ·	• • • • • • • • • • • • • • • • • • •		** ** **	1	, , , ,	•• ••	. , ,			
			•• •• •			Foute			* *			,,
1	ļ.,					de Toutes-Aures		• •	•• •• •	,		
		:				res)			• • • •	. T		Minéraux ocres
				+ [*]				••	•• ••	+		Pyroxène
	1 :	:	••	:	, ;					. *		Pyrite
		 I	•• •• •	+:	•••••		1		+	+		Rutile
	,			. +		7-		••	+ ,	+		Staurotide
		• • • •		· ;				••	** . **	و و و و و و و و و و و و و و و و و و و		Serpentine
		,				1 1 1		•• ••				Spinelle
•		• ••		,		! !						
											,	Sphène
	1 -	+	+	+ }	. +		+		+	+, ,,	.+ i	Tourmaline
* ************************************	i i	l 	+	+	·+			••	+	. ‡ 		Zircon
		. :				! ! !] 		+, ,		}	Vermiculite
in the second of		• ••			** *** **			, ,,		•• •• ••		Wollastonite
	ļ			,		1	ļ		** **	,.	i	i, ., ., ., ., ., ., .,

		: Roybon	: 771-45	St-Clair-sur-Galaure	771-36	: Marnans	: 771-23	771-20 Viriville	· OF CIAH SM -CAIMM	; 771-19 :	Lens-Lestang	9-171	: Moras-en-Valoire	: 770-2	** 3		Moras-en-Valoire	. 990-1		: Afflewements et Localités
		••	••		. •••	; ‡			. ति न		·, ·	• •	•• +	,.		Leni	,	"	Plio	Epidote
		••	••	,. +	••	ቼ ። •	· · ·			• ••	• •	• ••		••		Lentilles sableuses		"	Pliocène supérieur	, Grenat
		.· ••	••					,	• •	••		• ••	••	••	!	sable			supér	
		1	••	+	•••			•	. ,		· ·	,			;				ieur	Glaucophane
`.¦		;***	•		••	,				•		• ••	+	••		ou n			(Sa	Actinote
		+		, +	•	+		+ ·	. 4	-					;	matrice	+	•	Sables	Hornblende
•		+	•	+	••	+	•• ••		• •	• · • •	1	• ••	+	••	"	e de	,	"	Lens-	Apatite
		+	**	 ±	**	+		 +i ·	· ,·	, 	·, .	• ••	 ±		"	des Conglomérats	••		Lens-Lestang	Chlorite
		1	••	.,Ţ., +	**	+	•• ••	+	. +		· • • • •	• ••	Т +	••	}	glom	+,	* (ng)	Hématite
		••	••		** .	•••	• •			.: 		• ••	••	••		érats				
		••	••		• ••	••		•••	• •		••••	• ••	.	••		de I			٠	Ilménite
		••	••	••	• • • •	••	•• ••	• •• •	• • +	•••	••, •		••			ens-l		*		Limonite Mispickel
	i	,. +	••		••	••	 ** **	+	• •	•••		• ••		•	.,	esta				Muscovite
. (;:	**	**.		••	•••	•		• •	,	••	• ••	••	•••		Lens-Lestang du Pliocène	. ÷	.		
			••		,.	** .			• 4	••	**, *		••	••		ı Plic	•• ••	•	;	Muscovite†séricite
	••	••	••		4.0	+ .	•• ••	+	• •	••	••	• •	+	••]	Cène				Magnétite
	٠,	••		· ‡.		•••	•	·	,	•	•	• ••	••	,,	. ;	SL.	. ‡		•:	Minéraux rouillés
					••											périeur	1.			
		‡			• •			‡* ·	• • •		ं न	F ,				- i	1		•	Minéraux ocres
	••		••	**	••	•• •	· ·		` ;	. **': 	••	• ••	••	••	."		••	*		Pyroxène.
	;,	••	·•	·• ·· ·	••	••		••••	+	••	••	•	.+	••	*		••	•	٠	Pyrite
		••	••	· · · · ·	**	+	••	••••	· ·	• • • • • • • • • • • • • • • • • • •	••••	• ••	+	••	.,		+ -	•		Rutile
	••	••	••	· ·	••	••	••		+	••	* .	• ••	••	••	"		• • • • · · · · · · · · · · · · · · · ·			Staurotide
	.,	;; [†]	••		••	••	••	••. •	• •	••		• ••	••			1				Serpentine
		,.	••	•• ••	••	•••		·			••		••			1	,			
	••	••	••	••	•••								+	••		•	•• ••			Spinelle
		••	•••	,.	••	٠. ,	. ,.		• •	•••		• ••	••	••	!		••. ••			Sphène
· · ·	,	T	••	+	;	‡		+ ·.			••		+		!	· ;			• .	Tourmaline
		+		+	•	‡.		+	+	•••	+		‡		. !		‡ :	•	•	Zírcon
	 - 			•			•	+ . •			-	-	. •		1	<u>.</u>		1		Vermiculite
	••	**	••				••	·· ·	• •	••	:	• ••	." 	••	•			*		Wollastonite
•	••	•• ·	••	••		•••	••••		•	••			••	••	٠, '	. i	•••	i		

÷

••

. . .

6-4 - INTERPRETATION DES RESULTATS ET CONCLUSION A L'ETUDE DES MINERAUX

LOURDS

Pour le Miocène nous confirmons les conclusions des travaux de G. LATREILLE que nous avons résumés au début de ce chapitre.

Pour le Pliocène supérieur (Conglomérats de Lens-Lestang), nous soulignons les différences suivantes par rapport au Miocène :

- Une raréfaction de l'ensemble du cortège minéralogique alpin (Epidote, grenat, amphiboles).
- Une augmentation de la proportion des chlorites.

Pour ces deux faits, nous proposons l'interprétation suivante qui sera en même temps notre conclusion :

A. - La raréfaction du cortège minéralogique alpin indique que la zone des Schistes lustrés cesse progressivement d'alimenter le Bas-Dauphiné au Pliocène supérieur.

B. - Le problème des chlorites

J. BOCQUET (1966 p. 70) signale la rareté des chlorites dans le MIOCENE du "Delta de Voreppe". Nous confirmons ce fait pour l'ensemble du Plateau de Chambaran.

En revanche, au PLIOCENE, nous avons observé une abondance nettement accrue des chlorites. Ces chlorites très claires et peu ferrifères se présentent en lamelles de 100 à 300 Met ne peuvent provenir de l'héritage des chlorites, toujours de très petites dimensions, des Schistes cristallins épimétamorphiques des Massifs cristallins externes et des zones profondes de la couverture de ces mêmes massifs.

Nous pensons plutôt à des chlorites provenant de la transformation par altération des micas des Massifs cristallins externes. Sans contours nets et visiblement transportés, ces micas ont sans doute été altérés au niveau des Massifs cristallins externes et non pas au niveau du lieu de sédimentation où elles ont été apportées telles quelles.

ing distriction of the second of the second

ette setimber i tradicional setimber i tradicional sette della companya della companya della companya della co

RECONSTITUTION DES PALEOCLIMATS

La reconstitution des paléoclimats n'est pas facile. Plusieurs voies permettent d'aborder ce problème ; ce sont les faunes et les flores, la couleur des sédiments et la minéralogie des argiles.

7-1 - LES FAUNES ET LES FLORES

La macrofaune des formations miocènes est citée par G. DEMARCQ (1962 et 1970 p. 76 à 92). Il s'agit de formes de mers tempérées chaudes (huîtres, peignes, limes, patelles, rares polypiers isolés) pour les formations de l'Helvétien. A partir du Tortonien il leur succède progressivement des formes de lagunes saumâtres (masses, fissurelles, turritelles et pleurotomes) puis des formes franchement continentales (gastéropodes pulmonés terrestres et d'eau douce) de climat tempérée. Au Tortonien supérieur, les faunes de vertébrés sont faites d'herbivores de savanes tempérées chaudes.

Les microfaunes des formations miocènes caractérisent également des mers littorales tempérées chaudes (G. LATREILLE, 1969).

Les pollens contenus dans les Marnes à Helix delphinensis du Tortonien supérieur (D. FOURNIER, 1974 p. 41) révèlent aussi un climat tempéré (pins, orme, épicéa, cyprès, séquoia, taxodium, aulne).

Les faunes des formations pliocènes sont citées par R. BALLESIO (1972, p. 50 - 283 à 286) elles déterminent un climat humide et chaud pour le Pliocène inférieur, aussi chaud mais plus sec au Pliocène supérieur (ib. p. 288, 289).

7-2 - LA COULEUR DES SEDIMENTS

<u>Au Miocène</u>, les sables et les conglomérats vindoboniens présentent à l'affleurement une coloration générale grise qui peut être jaunâtre pour les sables. Mais la couleur originelle, observable en sondage est grise, parfois bleutée.

Cette coloration indique généralement un climat non agressif de type tempéré frais.

Au Pliocène supérieur, les Sables de Lens-Lestang présentent une coloration grise à jaunâtre, tandis que les conglomérats sus-jacents ont une teinte d'ensemble jaune à gris-jaunâtre. Cette teinte est due à la présence dans la matrice d'une faible proportion de limonite. On sait que cet hydroxyde de fer apparaît très tôt dans les altérations, même sous climat faiblement hydrolysant.

La "glaise de Chambaran", attribuée au Villafranchien, a une couleur ocre-brun à ocre-rouge de plus en plus vive vers le sommet. C'est l'indice, soit d'une altération de plus en plus intense de la base au sommet au cours du dépôt, soit d'une altération superficielle postérieure au dépôt et évidemment de moins en moins intense du sommet vers la base.

7-3 - LES MINERAUX ARGILEUX (*)

Quatorze échantillons ont été étudiés au moyen d'un diffractomètre Philips.

Les résultats sont présentés sous forme d'un tableau dans lequel l'évaluation de la proportion des différents minéraux argileux est schématisée ainsi :

+ + + : minéral très abondant

++ : minéral abondant

+ : minéral peu abondant

- : présent mais rare

7-3-1- LES MINERAUX ARGILEUX DES SEDIMENTS MIOCENES

L'illite est abondante partout.

La montmorillonite est absente dans les niveaux sableux et conglomératiques, peu abondante dans les lentilles d'argile.

La kaolinite est très rare ou absente.

La vermiculite est abondante dans un échantillon, rare ou absente ailleurs.

La chlorite est toujours absente.

Les interstratifiés, essentiellement chlorite-montmorillonite, chlorite-vermiculite et plus rarement illite-montmorillonite, sont bien représentés.

Ces minéraux peuvent être hérités ou apparaître lors de la sédimentation ou, plus tardivement, au cours de la diagénèse.

- L'héritage

Les zones internes des Alpes sont riches en chlorites tandis que la couverture jurassico-crétacée de la zone dauphinoise est surtout pourvue en <u>illites</u> et, dans une bien moindre proportion, en kaolinite.

Cet héritage peut expliquer l'abondance, dans nos sédiments de l'illite dont la stabilité, au cours des phénomènes de transport, est bien connue.

Les transformations possibles à partir de ce matériel hérité (G. MILLOT, 1964) :

L'altération : la coloration indique une altération faible puisque la couleur rouge est absente. L'abondance de l'illite ne peut donc lui être imputée.

Cependant, elle a pu être suffisante pour provoquer l'apparition des interstratifiés <u>illite-montmorillonite</u>, fréquents dans les milieux lessivés.

Une faible altération des minéraux phylliteux et de la chlorite héritée a pu faire apparaître aussi la Vermiculite et l'interstratifié chlorite-vermiculite.

. <u>Le dépôt en milieu localement confiné</u> a pu donner naissance à la montmorillonite ou à des interstratifiés illite-montmorillonite.

(*) Nous remercions ici tout particulièrement M. J. APRAHAMIAN de l'aide généreuse qu'il nous a apportée pour la lecture et l'interprétation des diagrames RX.

ANALYSE MINERALOGIQUE SEMI-QUANTITATIVE DE LA FRACTION INFERIEURE A 41th DE QUELQUES SEDIMENTS DU PLATEAU DE CHAMBARAN

A - Argiles, sables et conglomérats du Miocène

Affleure-	Localités	D	Nature des sédiments		. Montmoril-	; ; . Kaolinite	: Chlorite	. Wermiculite	Interestifi de
1110110			ormans	1 1 1 1 1 1 1 1 1 1 1 1 1 1 1 1 1 1 1 1	ionite	1 1 1 1 1 1 1 1 1 1 1 1 1 1 1 1 1 1 1 1	1 4 4 5 5 6 5 5 6 5 5 6 5 6 5 6 6 6 6 6 6	\$ 1 *** \$ 1	***
771-59	: : St-Appolinard :	110	: : Argile dans " sables : gréseux "	· · · · · · · · · · · · · · · · · · ·	1		•• ••	 ~	
771-60	St-Appolinard	15	idem	‡ ‡	+		••		: GM + régulier
प्रा2-2	: La Forteresse	70	: Argile à H. delphinensis	+++	••	~	** **	·· ··	: I-M/C-M/C-V
795-6	St-Antoine	170	Argile dans " sables gréseux	+			·• ••		 Co-M M-Y
795-8	: St-Appolinard (au : fond du Loup)	: 190	: idem	1		 ´	·· ·· ··		: M-V et M-C
\$ } ; ; ; ; ; ;	B - Sables et conglomérats de	erats d	e Lens-Lestang (Pliocène supérieur)	erieur)			 	1 1 1 1 1 1 1 1 1 1 1 1 1 1 1 1 1 1 1 1	
770-1	: Moras en Valoire	: 110	: Argiles dans sables	+++		: : : : : : : : : : : : : : : : : :	**	~	: C-V
771-7	Lens-Lestang (Combe Echatel)	50	Lentille d'argile	+		1			 I-M
771-8	: Lens-Lestang	: 40	: Argile dans matrice sa- : bleuse du conglomérat	+ + + +		1		1	
7-71-10	Lens-Lestang	20	idem	(ouvertes)		(mal cristallisé)		4. 4h.	: C-V et I-M
771-19	St-Claire-sur Galaure	50	idem	‡ ‡	+	1	~		. I-X-C
771 -36	: St-Claire sur	•••		•		**	••		
		Л		+++	+.	••	~		: M-V ou M-C
	: Galaure	ę	: : Sable argileux	1		• ••	••	••	
771 -45	: Galaure : Roybon (La Verne)	60	Sable argileux Argile dans sables	_	ι,		••	•	7_TA7_C
771-45 771-64	: Galaure : Roybon (La Verne) : Roybon (Gerbert)	60	Sable argileux Argile dans sables Sables	‡	+ 1	~	••	••	: I-M

- La diagénèse précoce (D. DUNOYER de SEGONAZAC, 1969)

Lors de la compaction, les montmorillonites peuvent se transformer par agradation en interstratifiés du type chlorite-montmorillonite.

En conclusion, on peut penser que nos sédiments miocènes ont bénéficié d'un héritage riche en illite et, éventuellement, en chlorite.

<u>L'illite</u> s'est maintenue au cours du transport et du dépôt. Une partie a pu être transformée dans un milieu localement confiné en interstratifié <u>illite-mont-morillonite</u> ou même en mont<u>morillonite</u>.

Les chlorites ont pu être transformées, par altération ou au cours de l'enfouissement, en <u>vermiculite</u> ou en <u>interstratifiés</u> <u>chlorite-montmorillonite</u> et chlorite-vermiculite.

7-3-2- LES MINERAUX ARGILEUX DES SEDIMENTS PLIOCENES

L'illite est partout abondante, souvent plus encore qu'au Miocène.

La montmorillonite est souvent présente avec une certaine abondance.

La kaolinite est un peu plus fréquente qu'au Miocène.

La vermiculite est très rare ou absente.

La chlorite, qui était toujours absente au Miocène, fait une apparition discrète : elle est en effet soit absente, soit rare.

Les interstratifiés sont de même type qu'au Miocène : illite-chlorite-montmorillonite-vermiculite.

Comme pour le Miocène, ces minéraux peuvent être hérités ou apparaître par transformation ou néoformation.

- L'héritage a peu varié : les minéraux lourds (ch. 6) et la pétrographie des galets (ch. 1) nous l'indiquent. Il est donc normal que l'illite soit toujours aussi abondante, voire plus abondante étant donné que les "Terres Noires" jurassiques sont, au Pliocène plus largement qu'au Miocène, atteintes par l'érosion.
- Les transformations sont sensiblement les mêmes qu'au Miocène mais l'intensité des phénomènes d'altération s'est légèrement accrue : en effet, en même temps que la couleur qui est passée du gris au jaune, nous constatons une apparition discrète mais certaine et quasi générale de la kaolinite.

De même cette altération peut-être responsable de l'inter stratifié chlorite-vermiculite par transformation des minéraux phylliteux et de la chlorite héritée.

L'augmentation de l'importance de la montmorillonite et de l'interstratifié illite-montmorillonite, l'apparition des interstratifiés illite-montmorillonite-chlorite marque une généralisation d'un <u>dépôt en milieu légèrement confiné</u>. Compte-tenu des enseignements tirés des précédents chapitres, on peut évoquer un dépôt de "flaques" sur une surface peu inclinée, notamment dans le Pliocène inférieur et moyen.

La diagénèse précoce peut, comme au Miocène, être responsable, lors de la compaction, de l'apparition de l'interstratifié chlorite-montmorillonite.

En conclusion, on peut penser que nos sédiments pliocènes ont bénéficié d'un très large héritage en <u>illit</u>e et, pour une petite part, en chlorite.

Une altération plus poussée qu'au Miocène, tant sur la province d'origine que sur le lieu du dépôt, fait apparaître la <u>kaolinite</u> et l'<u>interstratifié chlorite</u>-vermiculite.

Une altération au niveau des Massifs cristallins externes avait déjà été envisagée pour expliquer la présence parmi les minéraux des sables pliocènes, de lamelles de 100 à 300 de chlorite peu ferrifère et transportée (ch. 6).

Le léger confinement dû à la généralisation des "flaques" sur une surface peu inclinée provoque la néoformation de la montmorillonite et de l'interstratifié illite-montmorillonite et illite-montmorillonite.

L'enfouissement rapide provoque une diagénèse précoce et l'apparaition de l'interstratifié chlorite-montmorillonite.

7-4 - CONCLUSION DE LA RECONSTITUTION DES CLIMATS AU NEOGENE SUR LE PLATEAU

DE CHAMBARAN

Le Vindobonien du Plateau de Chambaran est caractérisé par un climat tempéré. Ceci est confirmé par R. BALLESIO (1972, p. 288).

A la limite du Miocène et du Pliocène et pendant l'Infrapliocène, le climat était plus chaud et plus humide puisqu'il était capable d'aréniser les galets de cristallin : en effet ceux-ci ne se retrouvent pas dans les conglomérats torrentiels infrapliocènes remaniés du Miocène (ch. 1 p.24).

Au Pliocène inférieur le climat était humide et chaud, à végétation forestière dense (R. BALLESIO 1972, p. 288). Nous le confirmons dans les pages précédentes.

Au Pliocène supérieur le climat est toujours chaud mais devient plus sec (R. BALLESIO, 1972 p. 289).

Après le dépôt des conglomérats du Pliocène supérieur, la "glaise de Chambaran" de couleur générale ocre-rouge et riche en kaolinite (M. CHAUMONT, 1956 in R. BALLESIO, 1972, p. 52) indique qu'un climat rubéfiant et hydrolysant a régné, soit au cours du dépôt de cette glaise, soit après le dépôt d'une formation détritique dont l'altération superficielle a laissé cette glaise comme témoin résiduel.

CHAPITRE 8

CONCLUSION GENERALE ET PALEOGEOGRAPHIE DU PLATEAU DE CHAMBARAN

Le Plateau du Chambaran est constitué par la superposition et l'emboitement de plusieurs formations gréso-sableuses et conglomératiques d'âge vindobonien et d'âge pliocène.

Pour retracer l'histoire paléogéographique de chacune de ces formations, il faut d'abord pouvoir attribuer de façon sûre chaque affleurement à une formation déterminée : ce fut le premier but de ce travail et nous pouvons maintenant présenter des critères de différenciation de ces formations.

Ensuite et pour chaque formation désormais bien identifiable, nous procédons à la reconstitution générale du paysage, depuis la province distributrice jusqu'au bassin de dépôt final.

8-1 - LES CRITERES DE DIFFERENCIATION DES "SABLES GRESEUX" DU VINDOBONIEN

ET DES "SABLES DE LENS-LESTANG" DU PLIOCENE SUPERIEUR

A l'affleurement, ces critères sont fragiles : les sables miocènes apparaissent généralement comme plus grossiers et mieux consolidés que les sables pliocènes, parfois aussi un peu plus jaunes. Quand elle existe, ce qui est rare, la faune permet de lever l'indétermination.

La macrofaune des sables vindoboniens est locale et rare (G. DEMARCQ 1962 et 1970, p. 86 à 91 et G. LATREILLE 1969, p. 105 et 115).

Les Sables de St-Donat, de l'Helvétien moyen, fournissent localement quelques rares bryozoaires, des valves de balanes et quelques chlamys.

Les Sables de Montchenu, de l'Helvétien supérieur, fournissent des débris généralement roulés de pectinidés et d'exogyres, de brachiopodes et de gastéropodes (G. DEMARCO, 1970 p. 86).

Les Sables de Tersanne, du Tortonien inférieur, renferment localement Nassa michaudi parfois accompagnée d'autres gastéropodes et lamellibranches (G. DEMARCQ, 1970 p. 87).

Les Sables supérieurs continentaux, du Tortonien supérieur à Hélix delphinensis, planorbes et limnées (G. DEMARCQ, 1970 p. 91) ou Sables du Cognet sont, en réalité et la plupart du temps, azoïques.

Les Sables de Lens-Lestang du Pliocène supérieur sont réputés azoiques.

En résumé, la présence de débris de coquilles est une indication d'appartenance au Miocène; en revanche un sable molassique azoïque peut appartenir à n'importe quel niveau.

La microfaune n'est pas non plus un critère absolu : si sa présence est constante dans les Sables de St-Donat (G. LATREILLE, 1969, p. 106 et 107) de Montchenu et de Tersanne (ibid. p. 117), elle fait défaut dans les Sables supérieurs continentaux du Toutonien supérieur et dans les Sables de Lens-Lestang du Pliocène supérieur.

L'étude granulométrique permet d'affiner l'observation superficielle et ne la confirme pas pleinement : en combinant les résultats de G. LATREILLE (1969) (+) et les nôtres (x), il est possible de dresser le tableau comparatif suivant :

	Q_1	Md	Q ₃
- Lentilles sableuses des Conglomérats de Lens-Lestang x : (Pliocène supérieur)	0,13	0,17	0,29
- Sables de Lens-Lestang (Pliocène supérieur) x	0,19	0,25	0,33
: - Lentilles sableuses des Conglomérats terminaux du x	0,16		•
- Sables supérieurs continentaux à Hélix delphinensis * (Tortonien supérieur)	0,16	0,22 0,22 0,18	0,30
: - Sables de Tersanne à Nassa michaudi (Tortonien x	•	0,31	
- Sables de St-Donat (Helvétien moyen) x +	: 0,32	0,35	

Les Sables marins de St-Donat, de Montchenu et de Tersanne sont relativement plus grossiers que les Sables de Lens-Lestang du Pliocène supérieur ; en revanche les Sables supérieurs continentaux à Hélix delphinensis du Tortonien supérieur sont plus fins.

Le critère granulométrique n'est donc ni général ni absolu.

L'étude minéralogique fait apparaître dans les sables pliocènes une teneur en chlorite nettement plus élevée que dans les sables miocènes.

L'étude par diffractométrie x des minéraux argileux décèle la présence de kaolinite dans les sables pliocènes alors qu'elle est absente des sables vindoboniens.

EN RESUME

A. - Les "Sables gréseux" du Vindobonien :

- sont plus grossiers à la base (St-Donat, Montchenu, Tersanne) et plus fins au sommet (Sables à Hélix delphinensis);
- renferment parfois débris de coquilles (St-Donat, Montchenu, Tersanne), mais sont la plupart du temps azoiques;
- renferment une microfaune bien constante (St-Donat, Montchenu, Tersanne); cette microfaune fait défaut dans les sables continentaux à Helix delphinensis;
- -leur couleur est parfois grise, souvent jaunâtre à l'affleurement, toujours grise à gris-bleuté en sondage;
 - ils sont souvent mais inégalement consolidés en un grès tendre;
 - leur teneur en chlorite est nulle à très faible;
 - ils ne renferment jamais de kaolinite.

B. - Les Sables de Lens-Lestang du Pliocène supérieur :

- sont plus fins que les Sables marins de St-Donat, Montchenu, Tersanne, mais ne se distinguent granulométriquement pas des Sables continentaux supérieur à Helix delphinensis du Tortonien supérieur;
 - ils sont toujours azoiques ;
 - leur couleur est généralement grise à gris-jaunâtre ;
 - ils ne sont généralement pas consolidés et restent meubles ;
 - leur teneur en chlorite est plus élevée que dans les sables miocènes;
 - ils renferment souvent de la kaolinite, faiblement abondante.

On voit donc que la distinction entre les "Sables gréseux" du Vindobonien et les Sables de Lens-Lestang du Pliocène supérieur est délicate et difficile, et met obligatoirement en jeu plusieurs critères dont aucun n'a de valeur générale et absolue.

8-2 - LES CRITERES DE DIFFERENCIATION DES CONGLOMERATS DU MIOCENE

(TORTONIEN). DE L'INFRAPLIOCENE ET DU PLIOCENE SUPERIEUR

Nous avons vu que le seul critère vraiment général et "parlant" est l'analyse pétrographique des galets (ch. 1 pl6 èt fig. 3).

LES CONGLOMERATS TERMINAUX DU MIOCENE (Conglomérats de Voreppe et de Toutes-Aures) sont caractérisés par une faible proportion de galets cristallins (moyenne générale 7,5 %) et de galets de quartzite (8 %) et inversement une forte proportion de galets calcaires (moyenne générale 73 %). Ces galets calcaires sont souvent cupulés (cupules de dissolution infraformationnelle diagénétique).

LES CONGLOMERATS DE L'INFRAPLIOCENE sont caractérisés par un très faible pourcentage (2 % en moyenne) de galets cristallins, une faible propotion de galets calcaires (41 % en moyenne) et un fort pourcentage de galets de quartzite (39 %) et de quartz (9 %).

LES CONGLOMERATS DU PLIOCENE SUPERIEUR présentent un fort pourcentage de galets cristallins (26 % en moyenne), et un faible pourcentage de galets de calcaires (47 %) moins fréquemment cupulés.

8-3 - RECONSTITUTION PALEOGEOGRAPHIQUE ET HISTOIRE DU PLATEAU DE CHAMBARAN

AU MIOCENE

8-3-1- BREF_APERCU_DE_L'HISTOIRE_ANTE_VINDOBONTENNE_DU_PLATEAU_DE CHAMBARAN

Les premiers affleurements des terrains qui constituent le Plateau de Chambaran étant datés de l'Helvétien inférieur, il convient de dresser un bref rappel de l'histoire de ce plateau aux époques antérieures.

Après le dépôt des terrains crétacés atteints sous le Plateau de Chambaran par les divers sondages et qui constituent le soubassement des terrains tertiaires, à la limite Crétacé-Tertiaire, la <u>phase provençale</u> provoque les premiers plissements des zones internes et l'émersion de la zone dauphinoise et du Bas-Dauphiné : il s'ensuivit une intense érosion continentale qui se développa au niveau du Plateau de Chambaran, pendant tout l'EOCENE : cette érosion fit disparaître une grande partie du Crétacé supérieur, et, par endroit, l'urgonien et même le Crétacé inférieur (forages de Brézins et de Faramans en bordure septentrionale du Plateau de Chambaran, G. DEMARCQ, 1970, p. 81 et 84).

Des sables blancs et rouges, venus en partie du Massif Central, et des argiles bigarées résiduelles s'accumulent par places dans les dépressions de cette surface érodée et karstifiée.

A la limite Eocène-Oligocène, la phase pyrénéenne provoque le plissement intense et la surrection des zones internes; la mer est alors rejetée en un sillon périphérique (Castellane, Barrème, Dévoluy, Bauges) et à l'extérieur, c'est-à-dire à l'ouest, se développent de vaste lagunes.

A l'oligocène, au niveau du Plateau de Chambaran de grandes épaisseurs de marnes sableuses versicolores, lagunaires, renfermant d'énormes lentilles de sel gemme, de gypse et d'anhydrite se déposent donc de manière irrégulière sur le soubassement crétacé plus ou moins profondément érodé et subsident. (Fig. 31)

Au Burdigalien, dans un sillon marin péri-alpin issu de la Méditerranée et qui s'allonge sur la partie occidentale du Vercors et de la Chartreuse, se dépose la Molasse à chlamys praescabriuscula et Pecten subbenedictus. Comme pour la plus grande partie du Bas-Dauphiné, le Plateau de Chambaran n'est, en principe, pas atteint par cette mer ; mais il n'est pas interdit de penser qu'à son emplacement se poursuivait pendant le Burdigalien le même type de sédimentation qu'à l'Oligocène (fig. 30); les sondages sont fort imprécis à ce sujet.

Au Vindobonien, la mer envahit la totalité de la vallée du Rhône et le Bas-Dauphiné; les premiers affleurements visibles de cette transgression sont, au niveau du Plateau de Chambaran, les Marnes de Saint-Lattier.

8-3-2- LE PLATEAU DE CHAMBARAN A L'HELVETIEN INFERIEUR : "LES MARNES DE ST-LATTIER"

Généralement transgressives sur les marnes versicolores lagunaires oligocènes (forages de Claveyson, Faramans, Beaurepaire, Montmiral, Varacieux, Saint-Lattier), plus rarement sur le substratum crétacé ou jurassique érodé (forages de Brézins). Les "Marnes de Saint-Lattier" (G. DEMARCQ, 1960, 1962 et 1972, p. 77) sont gris-bleuté à jaunâtre, souvent sableuses et intercalées de lentilles et de bancs sableux.

Elles affleurent bien à Saint-Lattier et le long de la vallée de l'Isère, en bordure méridionale du Plateau de Chambaran. Reconnue par les sondages déjà cités, l'extension de ces marnes est générale sous l'ensemble du Plateau de Chambaran où leur épaisseur est de l'ordre de 200 à 250 mètres (G. DEMARCQ 1962, 1970, p. 81).

Vers le NE, ces marnes se chargent progressivement en sable pour faire place, entre Polignas et Tullins, à une sédimentation uniquement sableuse; plus au NE encore, ces sables se chargent à leur tour en galets et passent ainsi progressivement à la partie basale de la série compréhensive dite des "Conglomérats de Voreppe" (G. DEMARCQ, 1962, 1970 pp. 86,94 et fig. 24) cf. fig. 30..

Ces marnes sont marines: elles renferment une microfaune, peu abondante, de foraminifères (G. LATREILLE, p. 78) et, notamment dans le Royans, Ostrea crassissima (P. GIOT, 1944 et G. DEMARCQ, 1970, p. 78).

Les niveaux sableux inclus dans ces marnes recèlent une forte proportion de <u>minéraux lourds</u> d'origine alpine (Epidote, Grenat, Amphiboles caractéristiques de la zone <u>piémontaise</u>) et une proportion plus discrète du cortège minéralogique repris de la couverture dauphinoise, elle-même alimentée à l'origine par le Massif Central (Tourmaline, Zircon, Staurotides, Disthène, Andalousite) (G. LATREILLE, 1969, p. 76 et suiv.).

A l'Helvétien inférieur, on peut donc se représenter le Plateau de Chambaran sous l'aspect d'une plateforme marine épicontinentale, bordée par un littoral allongé suivant une ligne NS passant légèrement à l'est des synclinaux de Villard-de-Lans et de la Monta (G. LATREILLE, 1969, p. 82 fig. 24).

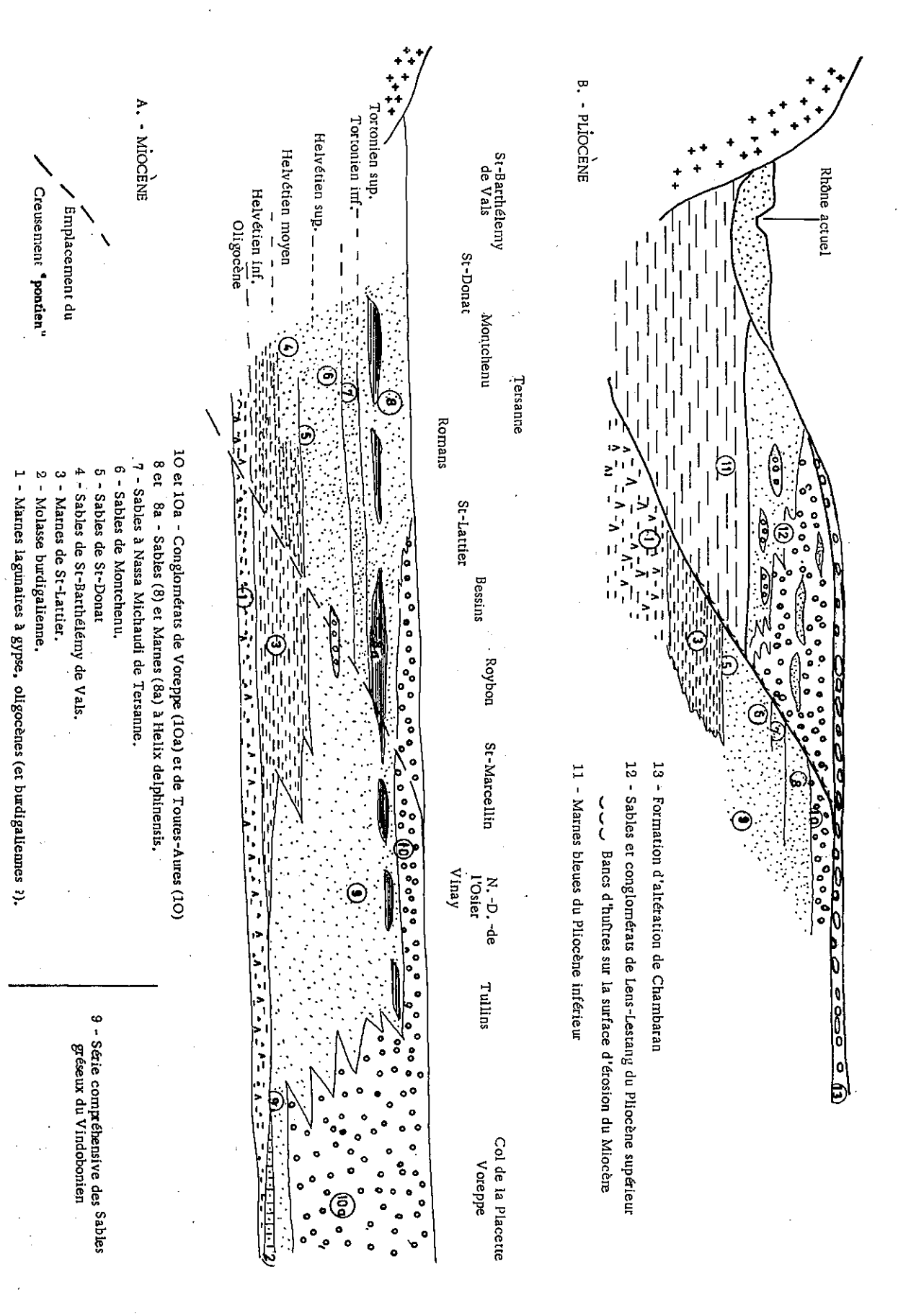


Fig. 30 - Diagramme général de la sédimentation détritique du Plateau de Chambaran au Néogène.

Le continent, qui s'étendait à l'est de cette plateforme jusqu'à la zone piémontaise, était très bas au-dessus de l'eau et sans relief important; des cours d'eau limoneux, légèrement chargés en sables et en galets alimentaient le bassin (fig. 31).

8-3-3- LES "SABLES GRESEUX" DU VINDOBONIEN

Vers le sommet, les Marnes de Saint-Lattier passent progressivement à des sables que G. DEMARCQ (1962 et 1970, p. 86) a nommés "Sables gréseux du Vindobonien". Ils sont très largement répandus et forment l'essentiel des collines de la partie occidentale et méridionale du Plateau de Chambaran. On les retrouve aussi dans la partie centrale et orientale de ce plateau, sous les conglomérats terminaux du Miocène dits Conglomérats de Toutes-Aures.

Ils ont été scindés en plusieurs niveaux par G. DEMARCQ (1969, 1970) et G. LATREILLE (1969), de bas en haut :

8-3-3-1- Les "Sables granitiques de Saint- Barthélémy-de-Vals"

(G. DEMARCO, 1962, 1970, p. 89) sont d'âge Helvétien moyen; ils forment une étroite bande localisée à la périphérie occidentale du Plateau de Chambaran, en bordure du Massif Central depuis Pont-de-l'Herbasse au sud jusqu'à Saint-Uze au nord (fig. 31).

G. LATREILLE (1969, p. 90 à 105) a mis en évidence, pour ces sables parfois graveleux, une triple origine: - un lot graveleux peu important provenant du remaniement des formations graveleuses éocènes locales;

- un lot sableux grossier (médiane 2 mm), granitique, provenant du Massif Central tout proche et apporté par des rivières qui drainaient cette bordure centralienne;

- un lot de sable fin, banal, semblable aux Sables de Saint-Donat qui s'étendent à l'est, d'origine alpine.

Ces sables contiennent une microfaune très littorale (G. LATREILLE, 1969, p. 92 et 99).

On peut donc évoquer, avec G. LATREILLE, un dépôt dans une sone très littorale, ouverte vers l'est et située tout à fait en bordure du continent centralien; ce dépôt aurait été alimenté par le remaniement sur place des graviers éocènes locaux, par des arènes granitiques grossières venues du Massif Central voisin et par des sables fins venus des Alpes. A ce propos, G. DEMARCQ (1962, 1970, p. 90) a souligné la grande inégalité entre le fort cubage des matériaux d'origine alpine et le très faible cubage des matériaux qui proviennent du Massif Central et l'explique par une forte inégalité des reliefs.

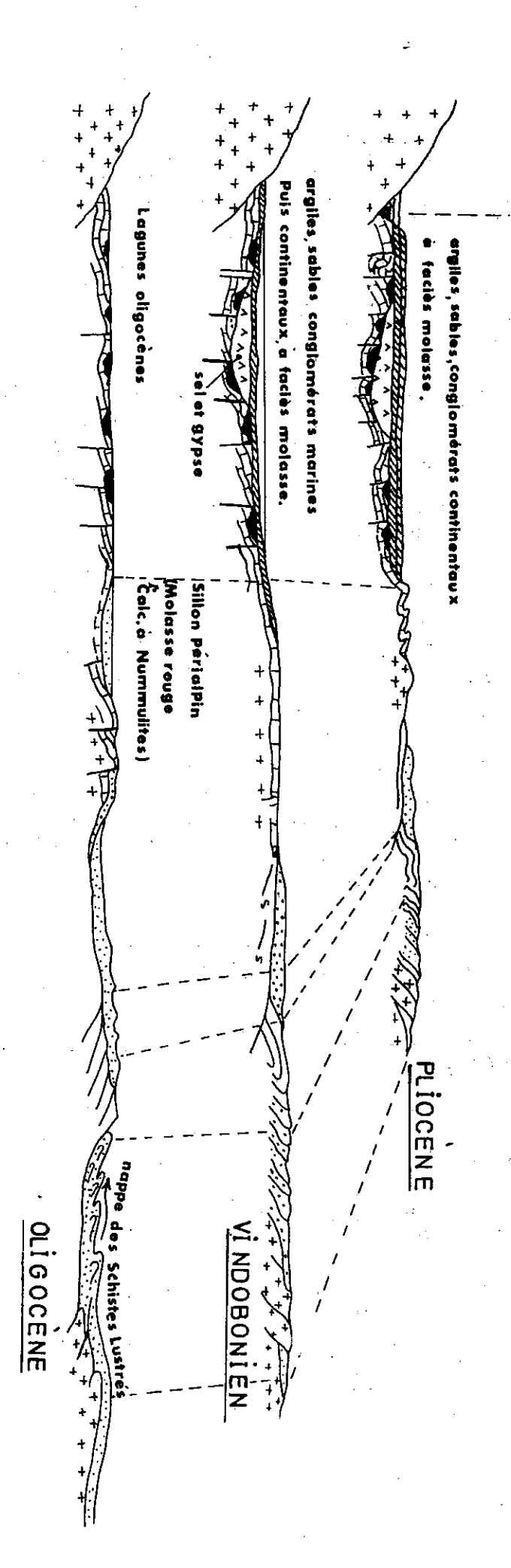
8-3-3-2- Les "Sables de Saint-Donat" de l'Helvétien moyen - supérieur (G. DEMARCQ, 1962 et 1970, p. 87 et G. LATREILLE, 1969, p. 106-114).

D'une puissance d'une centaine de mètres, ils affleurent largement en constituant la ceinture des collines occidentales du Plateau de Chambaran dont ils forment par ailleurs le soubassement, visible dans les entailles des vallées ; à l'ouest leur base s'entrecroise avec les Sables granitiques de Saint-Barthélémy-de-Vals (fig.31). A l'E d'une ligne Tullins-Voiron, ils deviennent conglomératiques et passent latéralement à la série compréhensive des Conglomérats de Voreppe (G. DEMARCQ, 1970 p. 86).

Ils sont jaunâtres et grossiers (médiane générale : 0,3 mm).

Le litage entrecroisé, de structure lenticulaire, indique un dépôt de plateforme marine épicontinentale (cf. ch. 5 p.109).

La macrofaune est pauvre et rare ; la microfaune est marine, littorale à l'ouest, localement saumâtre à l'est, notamment aux environs de Romans (G. LATREILLE, 1969 p. 106, 107).



du Rhône (argiles bleues)

Ria Pliocène

Fig. 31. Coupes transversales du Bas-Duphiné et des Alpes de l'Helvétien au Pliocène supérieur

La granulométrie révèle un sédiment bien classé, mature, bien trié, typiquement marin (cf. ch. 2 p.43) et G. LATREILLE (1969, p. 107 et 112) décrit des courants plus rapides au NW qu'au S. Nous retrouverons ce dernier caractère au niveau des conglomérats, plus abondants au N qu'au S.

Les minéraux lourds (G. LATREILLE, 1969, p. 112) indiquent une provenance des éléments de ces sables à partir de toutes les zones alpines, depuis la couverture dauphinoise des Massifs cristallins externes jusqu'aux Schistes lustrés de la Zone piémontaise (cf. ch. 6, p. 111 et 115).

8-3-3-3- Les "Sables de Montchenu" de l'Helvétien supérieur

Ainsi dénommés par G. DEMARCQ (1962 et 1970, p. 86) en remplacement de l'ancien terme 'Molasse à *Terebratulina calathiscus*" de F. FONTANNES (1875).

Situés à l'E et au-dessus des Sables de Saint-Donat, les "Sables de Montchenu" forment à leur tour, au-dessus de 280 m d'altitude environ et sur une épaisseur d'une soixantaine de mètres, une nouvelle ceinture de collines (fig. 31).

Comme les sables sous-jacents de Saint-Donat auxquels ils passent en continuité, les Sables de Montchenu sont jaunâtres et grossiers (médiane générale 0,3 mm et plus ou moins gréseux.

Le litage est entrecroisé, de structure lenticulaire et indique toujours un dépôt de plateforme marine épicontinentale balayée par des courants variables (ch. 5, p 109).

La granulométrie révèle d'ailleurs un sédiment bien classé, bien trié, typiquement marin (cf. ch. 2 p. 43).

Cantonnée dans les lentilles grossières, la macrofaune présente des caractères très littoraux, de type médiolittoral : huîtres, patelles, pectens variés et naturellement Terebratulina Calathiscus. (G. DEMARCQ, 1970, p. 86).

Localisée dans les sables fins, la microfaune (G. LATREILLE, 1969, p. 117) est très littorale, de vasière.

Toutes ces faunes caractérisent l'Helvétien supérieur, comme précédemment les apports sont d'origine alpine.

8-3-3-4- <u>Les "Sables de Tersanne à Nassa michaudi"</u> (G. DEMARCQ, 1962) du Tortonien inférieur

Ce sont les anciens "Sables à *Nassa michaudi"* de F. FONTANNES (1875) fréquemment cités dans la coupe de Tersanne et, pour cela, repris par G. DEMARCQ sous cette double appellation (1962, 1970 p. 87 à 89).

Leur extension (fig. 31) est générale à l'E et au-dessus des sables de Montchenu dont ils se distinguent par l'allure générale, la couleur et la faune.

L'allure générale montre une stratification hétérogène, à lits grossiers chargés de concrétions et de nodules calcaires ou marneux disposés en poches ou en amas, à trainées et zébrures ferrugineuses rougeâtres (G. DEMARCQ 1970, p. 87)

verdâtre (ibidem).

La couleur n'est plus aussi jaunâtre : elle devient grise à gris-

The same of the sa

A Tersanne, <u>la macrofaune</u> est riche et présente un mélange de caractères littoraux et saumâtres. Ailleurs c'est ce caractère saumâtre et euryhalin qui prédomine avec l'abondance de *Nassa michaudi*; cette macrofaune est d'âge Tortonien inférieur (ibid p. 87 et 88).

Ces "Sables de Tersanne à Nassa michaudi" ont une épaisseur très variable, en moyenne d'une quarantaine de mètres, parfois nulle (ibid. p. 89); vers l'Ast à partir de St-Antoine, ils sont à leur tour progressivement envahis par le faciès des Conglomérats de Toutes-Aures, à la base desquels ils passent progressivement.

La granulométrie indique un sédiment toujours aussi bien classé et bien trié ce qui, joint aux caractères précédents, permet de reconstituer une paléo-géographie de plateforme côtière riche en vasières et en lagunes où s'épanouissait une faune euryhaline et où la sédimentation assez changeante dépendait étroitement de l'interaction des courants, de la subsidence et des apports. Ceux-ci venait toujours de l'E, c'est-à-dire des différentes zones alpines depuis la couverture des Massifs cristallins externes jusqu'au Schistes lustrées (G. LATREILLE, 1969, p. 122).

8-3-3-5- Les "Sables et les Marnes à Helix delphinensis" du Tortonien supérieur

Cette appellation est classique mais afin de mieux préciser cette formation, nous proposons de lui donner le nom de "Sables du Cognet" car c'est dans cette région du Col du Cognet, située entre St-Marcellin-Vinay et St-Etienne-de-St-Geoirs qu'on y rencontre les plus beaux affleurements.

Ces "Sables du Cognet" sont fins (médiane générale : 0,2 mm) légèrement marneux, parfois ligniteux, souvent micacés, plus ou moins solidifiés en grès.

Leur couleur est grise passant au gris-jaunâtre par altération.

Un litage souvent plus discret et moins apparent que dans les sables précédents leur confère un aspect plus homogène.

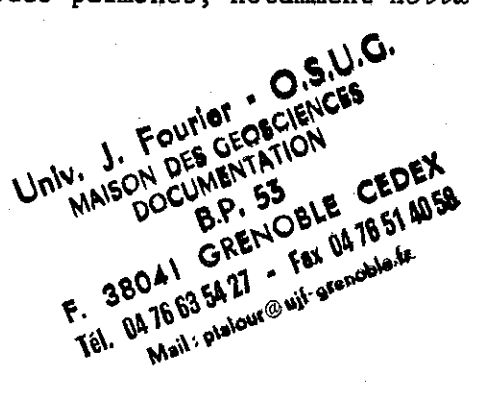
Ils renferment des <u>bancs de marnes bleues</u> à gris-verdâtre tournant au jaunâtre par altération. Ces bancs, de 2 à 3 m d'épaisseur moyenne, se présentent en lentilles pouvant atteindre plusieurs km2 d'extension (D. FOURNIER, 1974, p. 15). Ces marnes sont souvent ligniteuses.

C'est l'apparition de ces lits marno-sableux à marneux, plus ou moins ligniteux et à faune lacustre qui marque la limite inférieure de cette formation (G. DEMARCQ, 1962, 1970, p. 88).

Dans leur partie supérieure apparaissent des conglomérats, d'abord en lentilles (correspondant à des chenaux) puis en minces lits, enfin en bancs plus épais et on passe ainsi progressivement vers le haut, et latéralement aussi vers l'E, aux Conglomérats de Toutes-Aures et de Voreppe (fig. 30).

Leur épaisseur moyenne est d'une centaine de mètres.

Une macrofaune lacustre est rare dans les sables, plus fréquente dans les marnes mais réduite à des gastéropodes pulmonés, notamment Helix delphinensis.



Les sables ne renferment aucune microfaune, mais quelques <u>oogones</u> <u>de charophytes</u> (G. LATREILLE, 1969, p. 125). Les marnes ont livré des <u>ostracodes</u> <u>lacustres</u> (ibidem p. 129) et des <u>pollens</u> de pins, épicéa, cyprès, séquoia, Taxodium, orme, aulne (D. FOURNIER, 1974, p. 41) indiquant un climat tempéré.

La granulométrie confirme le caractère continental de ces sables (ch. 2 p. 43).

Les minéraux lourds (ch 6 p.113-115) et G. LATREILLE (1969, p. 128) indiquent toujours la même origine alpine.

Les courants ont des directions SE-NW (ch. 5 p. 109).

Avec ces "Sables et Marnes à Helix delphinensis", on voit ainsi s'établir la régression marine de jà amorcée avec le faciès saumâtre des Sables de Tersanne et s'affirmer la lente progression vers un faciès continental.

Ainsi sur une playa où s'effectuait une sédimentation marneuse, arrivaient et circulaient des cours d'eau qui déposaient leurs sables venus des divers zones des Alpes (fig. 31).

8-3-4- LES CONGLOMERATS TERMINAUX DE TOUTES-AURES ET DE VOREPPE DU VINDOBONIEN

Ils affleurent très largement dans toutes la partie orientale du Plateau de Chambaran (<u>Conglomérats de Toutes-Aures</u>) et on les retrouve, vers l'E dans les synclinaux de Voreppe-Montaud et de la Monta - St-Nizier (<u>Conglomérats de Voreppe</u>) où ils atteignent de grandes épaisseurs.

Le sommet de ces conglomérats a été attribué au Tortonien terminal (G. DEMARCO, 1962, 1970). Nous l'admettons facilement puisque, notamment dans la région de Vinay, Col du Cognet, Roybon..., ils surmontent les "Sables et marnes à Helix delphinensis" du Tortonien supérieur.

La base de ces conglomérats n'a pas partout le même âge : dans le synclinal de Voreppe, ils surmontent des sables à Ostrea Crassissima (G. DEMARCS, 1970, p. 94) de l'Helvétien inférieur et vers Rives - Charnècles ils surmontent les sables du Vindobonien inférieur (ib. p. 97).

Il est donc certain que, dans les synclinaux de Chartreuse et du Vercors, ces conglomérats constituent une formation compréhensive (ib. fig. 24, p. 94) qui s'étend de l'Helvétien moyen au Tortonien supérieur et que G. DEMARCQ appelle "Conglomérats de Voreppe".

Au fur et à mesure que nous cheminons vers 1'W, la partie sommitale de cette formation conglomératique est évidemment toujours attribuée au Tortonien terminal, tandis que la base devient de plus en plus récente puisqu'elle surmonte ou passe latéralement à des sables plus récents (fig. 30). Ainsi à Bressieux, Brion, Izeaux, Varacieux... ces conglomérats surmontent ou renferment à leur tour, des lentilles de marnes à Helix delphinensis (D. FOURNIER, 1974, p. 17).

Les "Conglomérats de Notre-Dame-de-l'Osier", considérés par G. DEMARCQ (1970, p. 95-96 et fig. 24) comme un lithotope particulier de l'Helvétien supérieur apparaissant dans la région de Notre-Dame-de-l'Osier au sein d'une série générale sableuse, ne se distinguent en réalité en rien des Conglomérats terminaux de Toutes-Aures, tant du point de vue pétrographique que granulométrique ou morphométrique (ch. 1 p. 17). L'étude du centile permet même d'affirmer que ces Conglomérats

dits de Notre-Dame-de-l'Osier sont situés non seulement au sommet du Tortonien mais encore à la partie sommitale de la formation des Conglomérats de Toutes-Aures (ch. 4 p. 96) dont ils font intrinsèquement partie.

La formation des "Conglomérats de Voreppe et de Toutes-Aures" a donc une épaisseur qui diminue de l'E à l'W: elle est de 500 à 600 m dans les synclinaux de la Monta-St-Nizier, de 400 m dans les synclinaux de Voreppe - Montaud (J. BOCQUET, 1966, p. 74, 75), d'une centaine de mètres dans la région de Roybon, de quelques mètres seulement à St-Christophe-et-Le-Laris (affleurement 771-5-37).

<u>Ces conglomérats se présentent en bancs épais</u>; le litage est incliné et la structure entrecroisée, lenticulaire, détermine des éléments d'une dizaine de mètres de largeur où les ravinements intraformationnels sont fréquents: tout indique une sédimentation de chenaux divagants (braided rivers) alimentés par des chasses d'eau (Wash-out) brutales.

Surtout vers le bas de la formation, des bancs de quelques décimètres à une dizaine de mètres d'épaisseur et de lentilles de sables gréseux s'intercalent dans la masse des conglomérats.

Quelle que soit la nature des bancs (conglomératique ou sablogréseuse) on observe toujours un granoclassement et une sédimentation rythmique.

La couleur des sables gréseux ou de la matrice sablo-gréseuse des conglomérats est généralement grise, parfois gris-bleu ou gris verdâtre, plus rarement gris jaunâtre.

LA PROVINCE DISTRIBUTRICE, source du matériel détritique, est délimitée par l'étude pétrographique des galets (ch. 1 p. 17).

Cette province s'étendait depuis la couverture dauphinoise des Massifs cristallins externes (Chartreuse, Vercors, Dévoluy) jusqu'aux zones alpines les plus internes (zone piémontaise). Les minéraux lourds conduisent au même résultat (ch. 6, p. 111 à 115, et G. LATREILLE, 1969). Parmi les Massifs cristallins externes, seul le Pelvoux commençait à apparaître. Cette province distributrice formait donc un plan incliné s'étendant depuis les zones internes jusqu'au bassin subsident du Bas-Dauphiné (J. BOCQUET, 1966).

L'EMPLACEMENT DE CETTE PROVINCE, le long de l'arc alpin est situé grâce à l'étude des directions de courants : dans toute la masse conglomératique, ces directions sont SE-NW à l'est et au sud du Plateau de Chambaran, NE-SW au nord (ch. 5, p.409).

La direction générale moyenne des courants vers 1'W est confirmée par l'analyse pétrographique des galets qui fait apparaître une diminution, d'E en W, de la proportion des fragiles galets de calcaires (84 à 60 %) et corrélativement une augmentation de celle des galets de cristallins, plus solides (5 à 11 %) (ch. 1 p. 16). Cette direction est confirmée aussi par l'usure des galets (émoussé, aplatissement) qui croît d'E en W (ch. 3 p. 72). Cette direction est encore confirmée par la diminution d'E en W de la dimension moyenne et du poids du "plus gros galet moyen" (ch. 4 p. 94). Cette direction est enfin confirmée par l'analyse granulométrique qui montre une diminution d'E en W des médianes de cette formation conglomératique (ch. 2 p. 29).

La province distributreice des matériaux formant les Conglomérats de Voreppe et de Toutes-Aures est donc située à l'E des gisements actuels.

Cependant, sur le bord opposé de ce bassin, au long d'une étroite bande située en bordure immédiate du Massif Central, les sables gréseux marins du Vindobonien contiennent des galets de cristallin qui en font un véritable conglomérat. (cf. affleurement 794-3-5 de Chantemerle-les-blés, G. MONTJUVENT, notice de la feuille de Tournon, sous presse).

Si les sables sont formés par un mélange d'apports alpins et centraliens, les galets sont directement issus du Massif Central tout proche.

Cela continue à fournir une bonne image de la disproportion étonnante, que l'on constate donc tout au long du Miocène, entre le fort cubage d'origine alpine et le très faible cubage d'origine centalienne.

LA NATURE DES AGENTS DE TRANSPORT de ces sédiments détritiques venus de l'E et abandonnés au niveau du Plateau de Chambaran nous est fournie par l'étude morphométrique des galets: les indices d'émoussé (ch. 3 p.72). d'aplatissement (p. 72) et de dissymétrie (p. 74) indiquent un transport et un façonnement par des cours d'eau, de type fluviatile long, "matelassés", rapides, alimentés par des chasses d'eau brutales où les chocs entre galets sont nombreux.

LA COMPETENCE DE CES COURS D'EAU était forte puisque ceux-ci étaient capables de transporter des "plus gros galets moyens" (ch. 4 p. 85) d'une dimension moyenne de 162 mm et d'un poids de 5300 g à Voreppe par exemple (ch. 4 p. 94). Cette compétence, nous l'avons vu, diminue au fur et à mesure qu'on chemine vers l'W: (ch. 4 p. 94): les conglomérats les plus occidentaux (St-Christophe-et-le-Laris, affleurement 771-5-37) renferment un "plus gros galet moyen" d'un poids de 1000 g et de 91 mm seulement de dimension moyenne.

Partout quand on s'élève de la base au sommet de cette formation, on observe une augmentation de cette compétence induite par l'augmentation des dimensions et du poids du plus gros galet moyen (ch. 4 p. 94) et par l'augmentation de la grossièreté moyenne des conglomérats (ch. 2 p. 29) Ceci indique, entre autres choses, une augmentation de l'intensité de l'érosion au niveau de la province distributrice et, sans doute aussi, une élévation croissante de l'altitude de cette province par rapport au bassin de sédimentation durant le Tortonien supérieur.

LA NATURE ET LE STYLE DES DEPOTS DANS CE BASSIN DE SEDIMENTATION nous sont révélés par l'analyse granulométrique des conglomérats et des sables gréseux qu'ils contiennent mais aussi par la disposition et l'inclinaison des galets dans leur lit, par certains caractères particuliers enfin :

La base de la formation compréhensive des Conglomérats de Voreppe est marine: les galets lithophages, la présence d'Ostrea crassissima et de dents de Lamnidés en sont des indications certaines (G. DEMARCQ, 1962, 1970, p. 94), et les galets des affleurements conglomératiques de Voreppe situés à la base de cette formation compréhensive ont un fort émoussé, typiquement marin (ch. 3 p. 72). Cette base marine des Conglomérats de Voreppe qui présente le même âge que les Sables marins gréseux du Vindobonien (St-Donat, Montchenu) correspond donc à un dépôt côtier, "deltaïque" qui se prolongeait vers 1'W par des dépôts plus fins.

Au fur et à mesure qu'on chemine vers le sommet, l'indice d'émoussé décroît et se rapproche de celui d'une formation fluviatile (ch. 3 p. 72); le sommet de la formation compréhensive des Conglomérats de Voreppe est fluviatile. (#)

A partir de là on passe vers l'ouest à des conglomérats de même type qui s'Etendent sur toute la partie orientale et centrale du Plateau de Chambaran : nous les avons nommés "Conglomérats de Toutes-Aures".

Ces Conglomérats de Toutes-Aures du Plateau de Chambaran présentent donc, au contraire des Conglomérats de Voreppe, une bonne homogénéité verticale et ont, dans leur ensemble, un façonnement fluviatile (ch. 2 p. 37),

Transportés, comme nous venons de le voir, depuis la province distributrice jusqu'au bassin de sédimentation par des cours d'eau rapides et turbulents bien que matelassés, ils sont maintenant abandonnés dans le bassin de sédimentation: la longueur du trajet à homogénisé l'ensemble (ch. 2 p. 40) qui est déposé sur un glacis de sédimentation, sous forme d'épandages en nappes, par des cours d'eau divagants (braided rivers) alimentés par des chasses d'eau (wash out) plus ou moins brutales (p. 37). Les niveaux lenticulaires sableux correspondent à des épisodes moins violents ou à des dépôts dans des zones plus calmes, périphériques par rapport aux axes des courants responsables des dépôts conglomératiques (ch. 2 p. 40). La rythmicité des bancs, leur structure lenticulaire et les phénomènes d'érosion intraformationnelle confirment la divagation des chenaux et la nature épisodique des chasses d'eau.

La forte inclinaison des galets confirme la nature continentale des dépôts (ch. 5 p.109).

Une certaine migration depuis un incontestable domaine fluviatile situé dans la zone orientale du Plateau de Chambaran vers un domaine plus deltaïque à 1'W est suggérée par l'analyse morphométrique des galets. L'hypothèse d'une sorte de rivage aux environs de Brion, Vatilieu, N.-D.-de-l'Osier n'est pas impossible (ch. 3 p. 74) mais les faits sont encore trop imprécis pour pouvoir l'affirmer avec certitude.

8-3-5- RESUME DE L'HISTOIRE DU PLATEAU DE CHAMBARAN AU VINDOBONIEN

Ainsi la série sédimentaire vindobonienne du Plateau de Chambaran est transgressive soit sur un substratum jurassico-crétacé plus ou moins fortement érodé, soit sur les sables continentaux éocènes, soit enfin sur les marnes salifériennes oligocènes, voire burdigaliennes (?).

Dès le début de l'Helvétien cette série est franchement marine et, à l'emplacement du Plateau de Chambaran, s'étendait une plateforme épicontinentale allongée entre deux rivages de direction S-N : le rivage occidental bordait le Massif Central et le rivage oriental courait entre Grenoble et le synclinal de Quaix-Villard-de-Lans.

Apportés de l'E par des cours d'eau, les sédiments sont déposés sur cette plateforme : d'abord les grossiers qui forment la base de la série compréhensive des "Conglomérats de Voreppe" et les Sables à Ostrea crassissima puis,

(*) Il convient de remarquer ici que, du fait du plissement et de l'érosion de ces conglomérats, leur sommet actuel ne correspond évidemment pas au sommet originel de la formation. Ceci est d'ailleurs prouvé par le fait que le sommet actuel des Conglomérats de Voreppe ne présente pas: les phénomènes d'altération qu'on observe au sommet des Conglomérats de Toutes-Aures du Plateau de Chambaran qui, eux, n'ont pas été érodés mais seulement altérés en surface, après leur dépôt.

vers l'W. les Sables et les marmes sableuses de St-Lattier.

Durant l'Helvétien moyen et supérieur cette sédimentation de plateforme se poursuit, toujours alimentée par l'E en sédiments détritiques horizontalement granoclassés: ains i à l'Est d'une ligne Tullins-Voiron se dépose la suite de la série compréhensive des Conglomérats de Voreppe, et à l'W, les Sables de Saint-Donat et de Montchenu qui reçoivent épisodiquement du Massif Central à peine émergé quelques crachées de "Sables granitiques".

Il n'est d'ailleurs pas interdit de penser que le comblement du bord oriental de la cuvette par les conglomérats repousse progressivement cette ligne de rivage vers l'ouest.

De toute manière, au <u>Tortonien inférieur</u>, la plateforme épicontinentale est parsemée de lagunes saumâtres qui annoncent une régression générale et où se déposent les Sables de Tersanne.

Au Tortonien supérieur en effet la plateforme épicontinentale fait place à un glacis de sédimentation, sorte de vaste playa parsemée de lacs où se déposent les Marnes à Helix delphinensis, entre lesquels serpentent des cours d'eau qui abandonnent les "Sables du Cognet", tandis qu'à l'E se poursuivent les dépôts conglomératiques. Au tortonien terminal, ces sables se chargent progressivement et partout de galets : ainsi la sédimentation vindobonienne s'achève par l'épandage d'une nappe de plus en plus grossière de cailloutis (Conglomérats de Toutes-Aures) qui s'étale jusqu'au-delà du centre du plateau (à St-Christophe-et-le-Laris) et qui résulte d'une intensité croissante de l'érosion sur des reliefs de plus en plus rigoureux.

Pendant tout le Vindobonien, le climat fut tempéré (ch. 7 p.120).

8-4 - LE PLATEAU DE CHAMBARAN A L'INFRAPLIOCENE (*)

On sait depuis longtemps, et R. BALLESIO (1972) l'a précisé, que le soulèvement des Alpes (phase Rhodanienne) et l'émersion à laquelle nous venons d'assister entraînèrent le creusement de profondes vallées.

Ainsi les Chaînes subalpines se plissent en incluant leur Miocène dans leurs synclinaux, se soulèvent et s'érodent.

Le rivage méditerranéen étant reporté loin vers le sud, un réseau fluviatile s'installe sous forme d'un "pré-Rhône" abondamment pourvu d'affluents, dont la Bièvre-Valloire (ib. p. 22 et 274) et peut-être (?), de l'Isère.

Issus de ce pré-Rhône, de cours torrents partent à l'assaut du Plateau de Chambaran (ib. p. 22 et p. 272) : par érosion régressive, ils poussent leur tête assez loin dans les sédiments Miocènes qu'ils remanient. En maints endroits, on retrouve des traces de ces torrents emboîtés dans la molasse miocène dans laquelle ils se sont installés et ont déposé leurs alluvions (ch. 1 p. 18 ; 2 p. 43 ; 3, p. 83 ; 4 p. 90 ; 5, p. 109).

R. BALLESIO a montré qu'ils étaient par endroits recouverts par les argiles marines du Pliocène inférieur, ce qui permet ainsi de les dater de l'Infrapliocène (ib. 1972, p. 23-31). Nous avons figuré ces torrents (fig. 2) d'après les travaux de R. BALLESIO (1972, p. 22).

(*) Ce terme de l'Infrapliocène a été défini par R. BALLESIO (1972, p. 293)

La granulométrie et la disposition "en vrac" des galets indiquent des dépôts effectués dans un milieu très turbulent par des appareils fluviatiles rapides de type torrentiel (ch. 2, p. 43 et 5, p. 109).

Les directions des courants (EW et NE - SW) font de ces appareils torrentiels des affluents directs du Pré-Rhône situé à l'ouest (ch. 5, p. 109).

Les graviers abandonnés dans la partie inférieure de leur cours par ces torrents prayiennent de la reprise des conglomérats miocènes situés à l'amont : au cours de ce remaniement, les granites, gneiss... altérés disparaissent et ne se retrouvent plus qu'en très faible proportion en face des éléments non altérables (quartz et quartzites) (ch. 1 p. 18).

La morphométrie des galets traduit très bien et confirme ce phénomène de remaniement (ch. 3 p. 83).

Le climat était plus chaud et plus humide qu'au Vindobonien (ch. 7 p.120).

8-5 - LE PLATEAU DE CHAMBARAN AU PLIOCENE INFERIEUR (*)

On sait depuis longtemps que la vallée du Rhône, profondément creusée, est à nouveau envahie par la mer qui dessine ainsi, depuis la Méditerranée, une ria s'étendant au moins jusqu'à Givors et peut-être jusqu'à Oullins.

Dans cette ria se déposent des argiles marines fossilifères qui passent en bordure des rivages, latéralement, à des sables et même à des argiles continentales. Ces rivages pliocènes sont parfois marqués par des bancs d'huîtres, d'âge pliocène, fixées sur la surface d'érosion établie aux dépens des formations miocènes sous-jacentes (R. BALLESIO, 1972, p. 27).

Elles sont surmontées, notamment dans la région de Hauterives et de Lens-Lestang par des marnes continentales riches en lignites qui marquent au niveau du Plateau de Chambaran, la fin de la phase marine pliocène (ib. p. 51 et 281). Le climat était humide et chaud (ch. 7 p. 120 et R. B. 1972, p. 288).

8-6 - LE PLATEAU DE CHAMBARAN AU PLIOCENE SUPERIEUR (*)

Les Marnes d'Hauterives sont surmontées par la <u>formation de Lens-Lestang</u> constituée d'abord de sables puis de conglomérats polygéniques fluviatiles d'origine alpine (R. BALLESIO, 1972, p. 52 et 281).

Cette nappe de sables et de cailloutis présente une épaisseur moyenne d'une trentaine de mètres, exceptionnellement d'une centaine de mètres comme à Lens-Lestang.

8-6-1- LES SABLES DE LENS-LESTANG

Ce sont des sables moyens (médiane générale : 0,26 mm), peu grésifiés, de couleur gris-jaunâtre à jaune pâle.

Ils se présentent en bancs massifs affectés d'un litage incliné et d'une structure entrecroisée. Ils ont été datés du Pliocène supérieur par une faune de gastéropodes pulmonés et de vertébrés (cf. R. BALLESIO, 1972, p. 44 et 282-286) qui indiquent un environnement continental.

(*) Tel que défini par R. BALLESIO (1972, p. 278 et 294).

La sédimentation rythmique et la structure entrecroisée indiquent des dépôts de chenaux divagants (braided rivers).

La granulométrie indique des dépôts par des cours d'eau relativement lents à compétence peu marquée, s'écoulant sur des pentes faibles. La légère turbulence provoquée par les chasses d'eau successives entraîne un ravinement intraformationnel de faible intensité (ch. 2, p. 43).

Les minéraux lourds indiquent toujours une origine alpine. (ch. 6 p. 115 et G. LATREILLE, 1969, p. 218).

8-6-2- LES CONGLOMERATS DE LENS-LESTANG

Vers leur sommet, les Sables de Lens-Lestang se chargent en galets qui forment des lentilles conglomératiques correspondant à des chenaux dont le nombre et les dimensions croissent peu à peu pour finir par former un conglomérat dans lequel s'intercalent, à leur tour, des lentilles et des bancs lenticulaires sableux.

Comme les sables, ces conglomérats se présentent en bancs épais caractérisés par une structure entrecroisée et une rythmicité bien marquées indiquant des dépôts de chenaux divagants. La couleur de la matrice est la même que celle des sables sous-jacents : gris-jaunâtre à jaune pâle.

Les galets présentent la même variété d'espèces pétrographiques que dans le Miocène et proviennent de la même <u>PROVINCE DISTRIBUTRICE</u> qui s'étendait sur toutes les zones alpines; cependant on assiste à une montée des Massifs cristallins externes et à une érosion qui attaque maintenant de façon intense leur couverture (chaînes subalpines) et leur noyau cristallin (ch. 1 p. 24 et 2, p. 54). Ces galets sont de première genèse et ne sont en aucune façon remaniés du Miocène qu'ils recouvrent (ch. 1 p. 24).

Les minéraux lourds confirment cette origine alpine. Cependant la zone des Schistes lustrés cesse progressivement d'alimenter le Bas-Dauphiné tandis que les Massifs cristallins externes l'alimentent de manière croissante (ch. 6 p. 115).

LES AGENTS DE TRANSPORT de ces détritiques venus de l'E sont des appareils fluviatiles "matelassés" bien que rapides et alimentés par des chasses d'eau brutales (ch. 3 p. 74-- 79). Ces appareils cheminaient en général du NE vers le SW (ch. 3 p. 79 , 4, p. 94) et nous avons figuré les grands axes probables qu'ils parcouraient (ch. 4, p.94-95, 5 p. 109-110) sur la figure 29 p. 108).

LE STYLE DU DEPOT révélé par l'analyse granulométrique (ch. 2) et par la disposition des galets (ch. 5 p. 110) est partout continental : sur toute la partie du Plateau de Chambaran où ils apparaissent, les Conglomérats de Lens-Lestang ont été abandonnés par des chenaux divagants, à régime rapide et discontinu, s'écoulant sur un glacis où s'effectuaient des épandages en nappes successives alimentés par des chasses d'eau brutales (ch. 2 p. 49-54). Quant aux lentilles sableuses, elles représentent des sédiments fluviatiles abandonnés dans des zones tranquilles et de plus faible énergie, en dehors des courants principaux où se déposaient les conglomérats (ch. 2 p. 43-49 et 57).

En aucun endroit du Plateau de Chambaran n'apparaît l'indice d'un rivage marin: les cours d'eau qui descendaient des Alpes et ont abandonné leurs alluvions sur ce plateau poursuivaient sans doute leur marche, assez loin à l'aval de clui-ci (ch. 3 p. 84).

LE CLIMAT qui régnait sur le Plateau de Chambaran pendant le Plioène supérieur était aussi chaud mais plus sec qu'au Pliocène inférieur (ch. 7 p. 120, et R. BALLESIO, 1972, p. 289).

8-7 - LA "FORMATION DE CHAMBARAN" ET LE PROBLEME DES ALTERATIONS A LA FIN

DU PLIOCENE

Depuis longtemps décrite (Ch. LORY, 1860), la "Formation de Chambaran" recouvre l'ensemble du plateau du même nom et se présente sous forme d'une "glaise" caillouteuse, à galets de très grandes dimensions, principalement de quartzite mais aussi de roches cristallines très altérées et de "fantomes" de galets calcaires complètement décalcifiés.

R. BALLESIO (1972 p. 53) émet l'hypothèse que cette formation appartient au même complexe sédimentaire que la formation de Lens-Lestang dont l'altération de surface donnerait cette "glaise de Chambaran" à galets de quartzites. Cette hypothèse est reprise par G. MONTJUVENT qui étend cette altération au sommet de la formation conglomératique miocène autant qu'à celle du Pliocène (notice de la feuille de Beaurepaire, sous presse).

Reprenons chacun des caractères de cette "formation de Chambaran" en les discutant dans le cadre de cette hypothèse d'une altération de surface.

Les galets sont de grandes dimensions : aussi bien dans les conglomérats miocènes que pliocènes la granulométrie moyenne augmente régulièrement de la base au sommet de chaque formation (ch. 2 p. 37 et 49).

En même temps on constate une augmentation progressive de la grossièreté, qui peut être très forte, des plus gros éléments de ces conglomérats : la dimension moyenne et le poids du "plus gros galet moyen" d'un affleurement du sommet du plateau peuvent atteindre respectivement 225 mm et 12 kilos, et plus du double pour le plus gros galet : c'est au sommet du plateau que se trouvent donc les conglomérats les plus grossiers, qu'ils soient miocènes ou pliocènes.

Les galets de quartzites sont prédominants: Nous avons vu que, tant dans les conglomérats miocènes que pliocènes, la proportion des galets de quartzite augmente de façon générale de bas en haut de chaque formation (ch. 1 p. 23).

Les galets de roches cristallines et de calcaires sont fortement altérés : quand on a l'occasion de pouvoir observer une coupe du sommet du plateau, on constate que les galets de roches cristallines sont totalement arénisés. Quant aux galets de calcaires ils sont à l'état de fantomes totalement décalcifiés, friables et réduits à leur résidu argileux.

Seuls les galets de quartzite demeurent intacts et peuvent, sans dommage, se détacher de la matrice elle-même très altérée.

L'altération de cette formation est marquée par la couleur ocre-brun à ocrerouge, de plus en plus vive vers le sommet. (ch. 7 p. 116). Cette altération est encore marquée par la présence dominante de la kaolinite. (ch. 7, p. 120). EN CONCLUSION, deux hypothèses s'opposent pour expliquer cette "formation de Chambaran" :

- la première : dépôt torrentiel ou fluviatile grossier, datant du Villafranchien inférieur, sur un glacis d'accumulation lié à une reprise de l'activité orogénique, donc de l'érosion, ou à un changement climatique important (refroidissement) dans les Alpes (F. BOURDIER, 1958, p. 320 et 1961 p. 62) - Y. BRAVARD, 1963 p. 99-105 et 192.
- La seconde : formation d'altération du sommet du Plateau de Chambaran (R. BALLESIO, 1972, p. 53) qui se développe aussi bien au dépens des formations miocènes que pliocènes (G. MONTJUVENT, notice feuille Beaurepaire, sous presse).

Tous les faits que nous venons de citer confirment cette deuxième hypothèse : la "Glaise de Chambaran" à gros galets de quartzite qui tapisse le Plateau de Chambaran" est une formation résiduelle, d'altération sur place des formations antérieures.

L'âge de cette altération est évidemment postérieure au Pliocène supérieur.

L'épaisseur et l'individualité de cette formation résiduelle justifient qu'on continue à la cartographier.

BIBLIOGRAPHIE

- BALLESIO R., (1972) Etude stratigraphique du Pliocène Rhodanien.

 Docum. Lab. Géol. Fac. Sc. Lyon, n° 53.
- BALLESIO R. et DAVID L. (1971) Histoire du réseau hydrographique Lyonnais, du Néogène au Quaternaire. <u>Bull. Soc. Linn. Lyon</u>, n° 9, p. 257-262, 1 fig.
- BOCQUET J. (1966) Etude des faciès conglomératiques du Miocènes des environs de Grenoble (Thèse 3e cycle Fac. Sc. Grenoble).
- BOURDIER F. (1958) Le bassin du Rhône au Quaternaire : Géologie et préhistoire. Thèse Sciences, Paris.
- BRAVARD Y. (1963) Le Bas-Dauphiné Recherches sur la morphologie d'un piedmont alpin. Allier, Grenoble.
- CAILLERE S. et HENIN S. (1963) Minéralogie des argiles. Masson, Paris.
- CAILLEUX A. et TRICART J. (1959) Initiation à l'étude des sables et des galets, 3 vol. C.D.U. Paris.
- CAILLEUX A. (1947) L'indice d'émoussé : définition et première application C.R.S.G.F.
- CAILLEUX A. (1945) Distinction des galets marins et fluviatiles. B.S.G.F., 5e série, t. x v.
- CHOMONT M. (1956) Contribution des méthodes physico-chimiques à l'étude des formations sédimentaires. Application au Néogène du Bas-Dauphiné.

 Thèse ing. Dr. Fac. Sc. Clermont.
- DEBELMAS J. (1974) Géologie de la France, vieux massifs et grands bassins sédimentaires. Doin-Paris.
- DEBELMAS J. (1970) Alpes (Savoie et Dauphiné) Masson Paris.
- DEMARCQ G. (1970) Etude stratigraphique du Miocène Rhodanien.

 Mém. Bur. Rech. géol. min. Paris, n° 61.
- DEMARCQ G. (1962) Etude stratigraphique du Miocène Rhodanien, Thèse Fac. Sc. Paris.
- DEMARCO G. (1961) Distinction entre les nappes miocène et pliocène des conglomérats à galets calcaires impressionnés dans la vallée du Rhône.

 Bull. Serv. cart. géol. France, Paris, t. 58, n° 264.

- DOEGLAS D. J. (1968) Grain size indices, classification and environment (Sedimentology 2 p. 83-100).
- DOUXAMI M. (1896) Etudes sur les terrains tertiaires du Dauphiné, de la Savoie et de la Suisse occidentale. Thèse Sc. Paris, in 8.

Journal of Live

- DOUXAMI H. (1895) Le Miocène des environs de Bourgoin et de la Tour du Pin C.R.A.S.
- DOUXAMI H. (1900-1902) La région synclinale entre Alpes et Isère. B.S.C.G.F., t. XII, n° 85, p. 139-143.
- DUNOYER de SEGONAZAC G. (1969) Les minéraux argileux dans la diagenèse passage au métamorphisme. Mém. Serv. carte géol. d'Alsace-Lorraine n° 29.
 - ESPINASSE G. (1949) Deux plaines du Bas-Dauphiné : La Bièvre et le Liers. R.G.A., t. XXXVII, p. 3-70.
- FONTANNES F. (1880-81) Etudes stratigraphiques pour servir à l'histoire de la période tertiaire dans le bassin du Rhône. Lyon, Paris.
- FONTANNES F. (1875) Sables mio-pliocènes du Bas-Dauphiné septentrional.
 - FOURNIER D. (1974) Etude hydrographique du versant sud de la plaine de Brièvre-Bas-Dauphine, bassin versant du Haut-Rival (Isère), (Thèse 3e cycle Grenoble).
 - GIDON P. (1958) Essai sur l'orogénie alpine en France. B.S.G.F.
 - GIDON P. (1954) Le front subalpin septentrional. R.T.L.G., Grenoble.
 - GIGNOUX M. et MORET L. (1952) Géologie Dauphinoise, initiation à la géologie par
 - GIOT P.-R. (1944) Contribution à l'étude des terrains tertiaires du Royans (Isère, Drôme). R.T.L.G., Grenoble, t. 24.
 - KOGBLEVI J.C. (1973) Contribution à l'étude de quelques formations de flyschs et de molasses des Alpes et réflexions sur les critères distinctifs de ces deux faciès. Thèse 3e cycle, Paris VI.
 - KORNPROBST J. et VELDE D. (1976) Introduction à la pétrologie, Masson-Paris.
 - LATREILLE G. (1969) La sédimentation détritique au Tertiaire dans le Bas-Dauphiné et les régions limitrophes. Docum. Lab. Géol. Fac. Sc. Lyon, n° 33

- LORY C. (1863) Note sur les dépôts tertiaires et quaternaires du Bas-Dauphiné.

 <u>Bull. Soc. géol. France</u>. Paris, sér. 2, t. 20.
- LORY Ch. (1860) Description géologique du Dauphiné pour servir d'explication à la carte géologique de cette province. Paris, Savy, 1860, in 8° et B.S.S.I., t.V, VI, VII.
 - LUCAS J., CAMEZ T. et MILLOT G. (1959) Détermination pratique aux rayons X des minéraux argileux simples et interstratifiés. Bull. Serv. carte géol. Als. Lor.

7.6

MERIAUX S. (1953) - Contribution à l'étude de l'analyse granulométrique. Thèse Institut national de la recherche agronomique.

di.

- MICHEL R. et LETOURNEUR J. (1971) Géologie du Génie Civil, A. Colin, PARIS.
- MICHEL R. (1971) Les premières recherches sur les volcans du Massif Central (18e-19e siècle) et leur influence sur l'essor de la géologie Symposium J. Jung Clermont-Ferrand, pp. 331-334.
- MILLOT G. (1964) Géologie des argiles. Altération, sédimentologie, géochimie. Paris, Masson et Cie.
- MONTJUVENT G. Notice de la feuille au 50 000e de Beaurepaire, Tournon-Sous-presse.
- MONTJUVENT G. (1975) Le Piedmont des Alpes du Dauphiné (France) (Studia géomorphologica Carpatho-Balcanica KARKOV. U.S.S.R. Vol. IX, p. 110-123).
- MONTJUVENT G., USELLE J.-P; (1970) Sur les caractères granulométriques d'un ensemble de formations quaternaires de la vallée du Drac. Géol. Alp. T. 46, pp. 127-133.
- PARFENOF A., POMEROL C., TOURENQ J. (1970) Les minéraux en grains ; méthodes d'études et détermination, Masson Paris.
- PERRIAUX J. (1974) Généralités sur les grès. Bull. centre rech. Pau-SNPA; 8,1 p. 161-185, 2 fig. Pau 30.
- PERRIAUX J., LUCAS G., LANG J., FAUGERES J.-C. (1970) Contribution à l'étude des faciès détritiques du Crétacé moyen du Vercors. Géologie Alpine, t. 46, p. 77-86.
- PERRIAUX J. (1961) Contribution à la géologie des Vosges gréseuses. Thèse et Mém. Serv. carte géol. d'Alsace-Lorraine n° 18.
- REYMOND M.-A. (1967) Contribution à l'étude palynologique des sédiments pliocènes du Bas-Dauphiné. Thèse 3e cycle Fac. Sc. Lyon,
- RIVIERE A., VERNHET S. (1975) Théorie générale de l'évolution granulométrique des sédiments détritiques transportés par un fluide. Une loi mathématique simple de la haute représentativité. Quelques conséquences. C.R. Ac. Sc. D, F, 281, n° 23, p. 1813-1816.
- Sciences de la terre (1973) Sédimentation et diagenèse des carbonates actuels. Tome XVIII n° 3 - Nancy.
- STRAKHOV (1957) Méthodes d'étude des roches sédimentaires. Ann. serv. inf. géologique, vol. 35.
- VERGER F. (1963) Les techniques d'analyse granulométrique. Mémoires et documents du C.N.R.S., t. IX, fasc. 1.
- VATAN A. (1967) Manuel de Sédimentologie Technip, Paris.
- VATAN A. (1954) Pétrographie sédimentaire (avec C. Fondeur et P.E. Rouge) I.F.P.
- VATAN A. (1949) La sédimentation détritique dans la zone subalpine et le Jura méridional, au Crétacé et au Tertiaire. C.R.S.G. F., p. 102-104.

TABLE DES FIGURES ET DES PLANCHES

Skullede financia e migrafiska i skipliska kilometrik og grafte sig de te som kritis og de forste skip I gildek krenskip i trigte krekent og ble skipliske politik som fill

్ కాంటామైన క్రీ ఎంది ఉంది. ఈ నిర్వహ్స్ కుండి కింక్ కింక్ కింక కింక్ కింక్ కింక్ కింక్ కింక్ కింక్ కింక్ కింక్ కుండి కోట్ కోట్ కుండా అమెక్కి కెంక్ సైకుండికోంటి కోట్ కోట్ కింక్ కెంక్ కెంక్స్ కోట్ కేంద్రకు పుర్వహ్హింది కెంక్స్ కాంటి కెంక్స్ ప్రామెక్కి కెంక్ కింక్ కింక్ కింక్ కింక్స్ కాంట్	
	Pages
l - Présentation générale du Plateau de Chambaran et du Bas-Dauphiné	4
2 - Carteggéologique schématique du Plateau de Chambaran (Bas-Dauphiné)	6
3 - Comparaison des compositions pétrographiques des conglomérats du Miocène, de l'Infrapliocène et du Pliocène supérieur	23
40- Courbes granulométriques des conglomérats terminaux du	32
5 - Courbes granulométriques des conclomérats terminaux du	
5 - Courbes granulométriques des conglomérats terminaux du	33
6 - Représentation Q ₁ , Md et Q ₃ de DOEGLAS (1968) des sables molassiques et des conglomérats terminaux du Miocène	34
7 - Courbes cumulatives des Md et des Q des conglomérats terminaux du Miocène et des conglomérats du Pliocène supérieur	35
8 - Représentation géographique et altimétrique des médianes (Q ₂) et des Q ₃ des conglomérats terminaux du Miocène dans la région centrale et orientale du Plateau de Chambaran	36
9 - Comparaison des histogrammes des indices d'hétérométrie des plages marines actuelles (A), des fleuves actuels (B), des conglomérats terminaux du Miocène (C), des conglomérats du	
Pliocène supérieur (D)	38
10 - Courbes granulométriques des lentilles sableuses du Miocène	42
11 - Courbes granulométriques des sables molassiques du Miocène	42
12 3 Courbes granulométriques des conglomérats de l'Infrapliocène	45
13 - Représentation Q ₁ , Md et Q ₃ de DOEGLAS (1968) des conglomérats de l'Infrapliocène et des sables et conglomérats du Pliocène	
supérieur	46
14 - Courbes granulométriques des sables du Pliocène supérieur dits de Lens-Lestang	48
15 - Courbes granulométriques des lentilles sableuses des conglomérats	
du Pliocène supérieur	50
16 - Courbes granulométriques des conglomérats du Pliocène supérieur	52

. .

	with the second of the second	
	ម្នុងក្រុង ទំនាំ 1 (
	en e	
		Pages
17 -	Représentation géographique et altimétrique des médianes (Q ₂) et des Q ₃ des conglomérats du Pliocène supérieur dans la région septentrionale du Plateau de Chambaran	53
		= 0
18 -	Schéma des éléments mesurés sur un galet,	58
19 -	Courbes d'ordonnées simples et cumulatives des indices d'émoussé	7.0
	des galets des conglomérats terminaux du Miocène	73
20 -	Courbes d'ordonnées simples et cumulatives des indices	
	d'aplatissement des galets des conglomérats terminaux du Miocène	75
21 -	Courbes d'ordonnées simples et cumulatives des indices de	
	dissymétrie des galets des conglomérats terminaux du Miocène	76
22 -	Représentation conjuguée des indices d'émoussé et des indices	
	d'aplatissement des galets des conglomérats terminaux du Miocène	77 -
23 -	Courbes d'ordonnées simples et cumulatives des indices d'émoussé des galets du Conglomérat de Lens-Lestang du Pliocène supérieur	78
24 -	Courbes d'ordonnées simples et cumulatives des indices d'aplatis-	
	sement des galets du Conglomérat de Lens-Lestang du Pliocène	80 -
	supérieur,	00
25 -	Courbes d'ordonnées simples et cumulatives des indices de dissymétrie des galets du Conglomérat de Lens-Lestang du	
	Pliocène supérieur	81
26 -	Représentation conjuguée des indices d'émoussé et des indices	
20 -	d'aplatissement des galets du conglomérat infrapliocène,	82
27 -	Représentation conjuguée des indices d'émoussé et des indices	
21 -	d'aplatissement des galets du Conglomérat de Lens-Lestang	_
	du Pliocène supérieur	82
28A-	Représentation géographique et altimétrique des "plus gros galets	
	moyens" des conglomérats terminaux du Miocène	97
28B-	Représentation géographique et altimétrique de "plus gros galets	
	moyens" des conglomérats du Pliocène supérieur	98
29 -	Carte du sens des courants dans les conglomérats et les sables	
	du Miocène et du Pliocène	108
30 -	Diagramme général de la sédimentation détritique du Plateau de Chambaran au Néogène,	125
31 -	Coupes transversales des Alpes et du Bas-Dauphiné de l'Oligocène au Pliocène	1,27

Α,

1.0

,"我们就是我们,我们们的我们,我们们是我们的人,我们就们的人,我们的人,我们的人,我们的人,我们的人,我们也会会一个人。""我们	Page
2A - Caractéristiques granulométriques des conglomérats terminaux du Miocène classés par numéros d'affleurements	30
2B - Moyennes des caractéristiques granulométriques des conglomérats terminaux du Miocène classés par régions	39
2C - Caractéristiques granulométriques des sables du Miocène supérieur classés par numéros d'affleurements	41
2D - Caractéristiques granulométriques de conglomérats de l'Infrapliocène	44
2E - Caractéristiques granulométriques des sables du Pliocène supérieur classés par numéros d'affleurements	47
2F - Caractéristiques granulométriques des conglomérats du Pliocène supérieur classés par numéros d'affleurements	51
2G - Moyenne des caractéristiques granulométriques des conglomérats du Pliocène supérieur classés par régions	55
Miocène (Conglomérats de Voreppe et de Toutes-Aures)	100
5B - Direction des courants des sables gréseux du Vindobonien	104
5C - Orientation et inclinaison des galets du conglomérat infrapliccène	104
5D - Orientation et inclinaison des galets du Gonglomérat du Pliocène supérieur dit de Lens-Lestang.	105

tisking strigg traction to detail experience the expectation of the properties of th

. Para agravitore de la companio de la co

The second s The second se

to the second of the control of the control of the second of the second

the contract of the second of the contract of

or manifest and the control of the first of the control of the first of the control of the contr

TABLE GENERALE DES MATIERES

r Tarangan dan mengangan bermanan dan mengangan bermanan dan mengangan bermanan bermanan bermanan bermanan berma	Page
RESUME	1
SOMMATRE	2
Avant-Propos	3
INTRODUCTION	5
1 - Cadre géographique	5 √5
2 - Cadre géologique	<i>⊃</i> 5 7
4 - But et nature de cette étude	9
CHAPITRE 1 - ETUDE PETROGRAPHIQUE DES CONGLOMERATS	10
1-1 - LA METHODE	10
1-1-1 - Représentation des résultats	10
1-2 - PETROGRAPHIE DES CONGLOMERATS TERMINAUX DU MIOCENE	12
1-2-1 - Région de Voreppe, Montaud (Conglomérat de Voreppe)	12
1-2-2 - Région de Rives, Tullins (Conglomérat de Toutes-Aures)	12
1-2-3 - Région de Brion, Vatilieu, Notre-Dame-de-l'Osier	
(Conglomérat de Toutes-Aures)	13
1-2-4 - Région de Murinais, Saint-Vérand	14
1-2-5 - Région de Dionay, Saint-Appolinard	14
1-2-6 - Région de Marnans, St-Pierre-de-Bressieux	15
1-2-7 - Région occidentale du Plateau de Chambaran	1,5
1-2-8 - Répartition d'est en ouest de la valeur moyenne de la pétrographie des conglomérats terminaux du Miocène dits de Voreppe et de Toutes-Aures	16
1-2-9 - Conclusion à l'étude pétrographique des Conglomérats terminaux	ŤO
du Miocène dits de Voreppe et de Toutes-Aures	16
- Le problème des Conglomérats de NDde-l'Osier	17
1-3 - PETROGRAPHIE DES CONGLOMERATS DE L'INFRAPLIOCENE	18
1-4 - PETROGRAPHIE DES CONGLOMERATS DU PLIOCENE SUPERIEUR	18
1-4-1 - Zone nord du Plateau de Chambaran	18
1-4-1-1 - Région de Marnans	18
1-4-1-2 - Région de Lentiol, le Grand-Serre	19
1-4-1-3 - Région de Lens-Lestang	19
1-4-1-4 - Région de Moras	20

Pages

		1-4-2 -	Zone centrale et méridionale du Plateau de	
				20
				20
				20
				21
			1-4-2-4 - Région de Montchenu, Bathernay	21
			1-4-2-5 - Région de Beausemblant	21
		1-4-3 -	Représentation d'est en ouest de la valeur moyenne de la pétrographie des conglomérats du Pliocène supérieur	22
		1-4-4 -	Conclusion à l'étude pétrographique des conglomérats du Pliocène supérieur	23
,	•	NEOGENE		23
CHA	PITRE	<u>2</u> - ETUI		25
	2-1 -			25
				25
	4	2-1-2 -		26
				26
		2-1-4 -	Sédimentométrie	26
	·:	grade in the second	. la méthode de la pipette	27 27 27
	2-2 -	EXPRESS:	ION DES RESULTATS	27
		2-2-1 -	Sous forme de tableaux détaillés	27
	٠	2-2-2		27
		2-2-3 -	Courbes de fréquences simples	27 27
	•		. Qd $oldsymbol{arphi}$ de Krumbein	27 28 28 28 28
		2-2-5 -	Les diagrammes Q ₁ , Md et Q ₃ de D. J. DOEGLAS (1968)	29
	2-3 -	LES FAI	TS ET LEURS INTERPRETATIONS	29
				29
ζ.	** .			29
				37
			·	37
:				37
			•	40

17.

Pages

	2-3-2 -	Granulométrie des sables du Miocène supérieur	40
		2-3-2-1 - Les lentilles sableuses des conglomérats	40
		2-3-2-2 - Les sables gréseux du Vindobonien	40
	2-3-3 -	Granulométrie des conglomérats de l'Infrapliocène	43
	2-3-4 -	Granulométrie des sables du Pliocène supérieur	43
		2-3-4-1 - Les Sables dits de Lens-Lestang du Pliocène supérieur.	43
		2-3-4-2 - Les lentilles sableuses des conglomérats du Pliocène supérieur	49
·	2-3-5 -	Granulométrie des conglomérats du Pliocène supérieur (dits de Lens-Lestang)	49
		2-3-5-1 - Médianes et Q ₃	49
	٠.		49
	•	2-3-5-3 - Qd φ	54
		2-3-5-4 - Asymétrie	54
		2-3-5-5 - Modalité	54
2-4 -		IONS GENERALES A L'ETUDE GRANULOMETRIQUE DES SEDIMENTS DETRITIQUES EAU DE CHAMBARAN	56
	2-4-1 -	L'analyse granulométrique permet de préciser l'agent de dépôt final	56
		2-4-1-1 - Les Conglomérats terminaux dits de Voreppe et de Toutes-Aures du Miocène	56
		2-4-1-2 - Les lentilles sableuses des conglomérats miocènes	56
-		2-4-1-3 - Les sables molassiques	56
-		2-4-1-4 - Les chenaux infra-pliocènes	56
		2-4-1-5 - Les sables dits de Lens-Lestang	56
	=	2-4-1-6 - Les Conglomérats de Lens-Lestang	57
	2-4-2 -	L'analyse granulométrique est-elle un critère de distinction des divers niveaux détritiques du Mio-Pliocène du Plateau de Chambaran ?	57
		DE MORPHOMETRIQUE DES GALETS DES CONGLOMERATS	58
3-1 -	METHODE	,	58
3-2 -	LES RES	ULTATS	59
	3-2-1 -	Morphométrie des galets des conglomérats terminaux du Miocène	60
	* *	3-2-1-1 Région de Voreppe, Montaud (conglomérat de Voreppe)	60
		3-2-1-2 - Région de Rives, Tullins (conglomérat de Toutes-Aures)	60
		3-2-1-3 - Région de Brion, Vatilieu, NDde-l'Osier (conglomérat de Toutes-Aures)	61

en de la companya de	Pages
3-2-1-4 - Région de Marnans, Saint-Pierre de Bressieux	62
3-2-1-5 - Région de Murinais, Saint-Vérand	62
3-2-1-6 - Région de Dionay, Saint-Appolinard	63
3-2-1-7 - Région de Saint-Christophe	63
3-2-2 - Morphométrie des galets du conglomérat infrapliocène	64
3-2-3 - Morphométrie des galets du conglomérat pliocène supérieur dit de Lens-Lestang	65
` - Nord du Plateau de Chambaran	65
3-2-3-1 - Région de Marnans	65
3-2-3-2 - Région de Lentiol, le Grand-Serre	65
3-2-3-3 - Région de Lens-Lestang	66
3-2-3-4 - Région de Moras	66
- Zone centrale et méridionale du Plateau de	
Chambaran	67
3-2-3-5 - Région de Roybon	67
3-2-3-6 - Région de Dionay, St-Antoine	67
3-2-3-7 - Région de Saint-Bonnet, le Chalon	68
3-2-3-8 - Région de Montchenu, Bathernay	68
3-2-4 - Synthèse des résultats	69
3-2-4-1 - Valeurs moyennes régionales des médianes des indices d'aplatissement, de dissymétrie et d'émoussé des galets de calcaire des Conglomérats terminaux du miocène dits de Voreppe et de Toutes-Aures classés géographiquement d'Est en Ouest 3-2-4-2 - Valeurs moyennes régionales des médianes des indices d'aplatissement, de dissymétrie et	69
d'émoussé des galets de quartz des Conglomérats terminaux du miocène dits de Voreppe et de Toutes- Aures classés géographiquement d'Est en Ouest	70
3-2-4-3 - Valeurs moyennes des indices d'aplatissement, de dissymétrie et d'émoussé des galets de calcaire et de quartz du conglomérat infrapliocène	70
3-2-4-4 - Valeurs moyennes régionales des indices d'aplatis- sement, de dissymétrie et d'émoussé des galets de calcaire des Conglomérats Pliocènes dits de Lens- Lestang classés géographiquement d'Est en Ouest	7 1
3-2-4-5 - Valeurs moyennes régionales des indices d'aplatis- sement, de dissymétrie et d'émoussé des galets de quartz des conglomérats pliocènes dits de Lens- Lestang classés géographiquement d'Est en Ouest	71
3-3 - INTERPRETATION DES RESULTATS	72
	14
3-3-1 - Conglomérats terminaux du Miocène dits de Voreppe et de Toutes-Aures	72

			W.	rages
			3-3-1-1 - Indice d'émoussé	72
			3-3-1-2 - Indice d'aplatissement	72
			3-3-1-3 - Indice de dissymétrie	74
			3-3-1-4 - Représentation conjuguée des deux indices d'émoussé et d'aplatissement	74
		3-3-2 -	Conglomérat pliocène dit de Lens-Lestang	74
			3-3-2-1 - Indice d'émoussé	74
			3-3-2-2 - Indice d'aplatissement	79
			3-3-2-3 - Indice de dissymétrie	79
			3-3-2-4 - Représentation conjuguée des deux indices d'émoussé et d'aplatissement	79
		3-3-3 -	Comparaison entre les façonnements des galets des conglomérats terminaux du Miocène et des conglomérats du Pliocène supérieur	83
		3-3-4 -	L'Infrapliocène	83
	3-4 -	CONCLUS	ION GENERALE A L'ETUDE DES GALETS DES CONGLOMERATS	84
CH.	APITRE	4 - ETU	DE DU CENTILE ET DETERMINATION DES "PLUS GROS GALETS MOYENS"	85
,	<u>4-1</u> -	метноре		85
			ULTATS	85
	4-2			
		4-2-1 -	Etude des deux principales caractéristiques (dimension moyenne et poids) du "Plus gros galet moyen" des conglomérats terminaux du Miocène	86
			4-2-1-1 - Région de Voreppe, Montaud (Conglomérat de Voreppe)	86
			4-2-1-2 - Région de Rives-Tullins	86
			4-2-1-3 - Région de St-Paul-d'Izeaux, Vatilieu et Notre-Dame-de-	
			1'Osier	87
			4-2-1-4 - Région de Plan, Quincieu, Serre-Nerpol	87
			4-2-1-5 - Région col de Toutes-Aures, Varacieux, St-Vérand	88
			4-2-1-6 - Région de Marnans, St-Pierre-de-Bressieux	-88
			4-2-1-7 - Région de Dionnay, St-Appolinard	89
			4-2-1-8 - Région de St-Christophe-et-Le-Laris	89
		4-2-2 -	Infrapliocène	90
		4-2-3 -	Etude des deux principales caractéristiques (dimension moyenne et poids) du plus gros galet moyen des conglomérats du Pliocène supérieur	90
			4-2-3-1 - Région de Marnans	90

	Pages
4-2-3-2 - Région de Lentiol, le Grand-Serre	91
4-2-3-3 - Région de Lens-Lestang	91
4-2-3-4 - Région de Moras	92
4-2-3-5 - Région de Roybon	92
4-2-3-6 - Région de Dionay, St-Antoine	92
4-2-3-7 - Région de St-Bonnet-de-Valclérieux, le Chalon	93
4-2-3-8 - Région de Montchenu, Bathernay	93
4-2-3-9 - Région de Beausemblant	93
4-3 - CONCLUSION A L'ETUDE DU CENTILE	94
4-3-1 - Variation des valeurs du centilé suivant les directions de courants	94
4-3-1-1 - Pour les Conglomérats terminaux du Miocène dits de Voreppe et de Toutes-Aures	94
4-3-1-2 - Pour le Pliocène supérieur	94
and the control of th	95
4-3-2- Variation des valeurs du centile en fonction de l'altitude	90
4-3-3- Le problème des Conglomérats de NDde-1'Osier	96
CHAPITRE 5 - ETUDES DES DIRECTIONS DE COURANTS	99
5-1 - LES METHODES	99
5-1-1- Dans les conglomérats	99
5-1-1-1 - Orientation des galets	99
5-1-1-2 - Inclinaison des galets	99
5-1-2- Dans les sables et les grès	99
5-2 - REPRESENTATION DES RESULTATS	99
5-2-1- Sous forme de tableaux	99
5-2-2- Sous forme d'une carte	99
5-3 - INTERPRETATION DES RESULTATS	109
5-3-1- Détermination du sens des courants	109
5-3-1-1 - Détermination du sens des courants dans les conglomérats terminaux du Miocène (Conglomérats de Voreppe et de	
Toutes-Aures) (Tabl. 5A)	109
5-3-1-2 - Détermination du sens des courants dans les sables gréseux du Vindobonien (Tabl. 5B)	109
5-3-1-3 - Détermination du sens des courants dans les "Conglomérats infrapliocènes" (Tabl. 5C)	109
5-3-1-4 - Détermination du sens des courants dans le Conglomérat du Pliocène supérieur (Conglomérat de Lens-Lestang) (Tabl. 5D)	109
(Laula Di), , , , , , , , , , , , , , , , , , ,	102

j.

	Pages
5-3-2 - Géométrie des dépôts	110
5-3-2-1 - Dans le Miocène	110
5333252- Dans le Pliocène	110
CHAPITRE 6 - ETUDE DES MINERAUX LOURDS	111
6-1 - RESUME DE TRAVAUX DE G. LATREILLE, CONCERNANT LE BAS-DAUPHINE MERIDIONAL (Plateau de Chambaran)	. 111
6-2 - LA METHODE	. 112
6-3 - LES RESULTATS	. 112
6-4 - INTERPRETATION DES RESULTATS ET CONCLUSION A L'ETUDE DES MINERAUX LOURDS	. 115
CHAPITRE 7 - RECONSTITUTION DE PALEOCLIMATS	. 116
7-1 - LES FAUNES ET LES FLORES	. 116
7-2 - LA COULEUR DES SEDIMENTS	. 116
7-3 - LES MINERAUX ARGILEUX	. 117
7-3-1 - Les minéraux argileux des sédiments miocènes	. 117
7-3-2 - Les minéraux argileux des sédiments pliocènes	. 119
7-4 - CONCLUSION : RECONSTITUTION DES CLIMATS AU NEOGENE SUR LE PLATEAU DE CHAMBARAN	. 120
CHAPITRE 8 - CONCLUSION GENERALE ET PALEOGEOGRAPHIE DU PLATEAU DE CHAMBARAN	. 121
8-1 LES CRITERES DE DIFFERENCIATION DES "SABLES GRESEUX" DU VINDOBONIEN ET DES "SABLES DE LENS-LESTANG" du PLIOCENE SUPERIEUR	. 121
8-2 - LES CRITERES DE DIFFERENCIATION DES CONGLOMERATS DU MIOCENE (TORTONIEN). DE L'INFRAPLIOCENE ET DU PLIOCENE SUPERIEUR	
8-3 - RECONSTITUTION PELEOGEOGRAPHIQUE ET HISTOIRE DU PLATEAU DE CHAMBARAN AU MIOCENE	. 123
8-3-1 - Bref aperçu de l'histoire ante-vindobonienne du Plateau de Chambaran	. 123
8-3-2 - Le Plateau de Chambaran à l'Helvétien inférieur : "les Marnes de Saint-Lattier"	. 124
8-3-3 - Les "Sables gréseux" du Vindobonien	. 126
8-3-3-1 - Les "Sables granitiques de Saint-Barthélémy-de-Vals".	. 126
8-3-3-2 - Les "Sables de Saint-Donat" de l'Helvétien moyen- supérieur	. 126
8-3-3-3 - Les "Sables de Montchenu" de l'Helvétien supérieur	
8-3-3-4 - Les "Sables de Montchend de l'helvetien superieur 8-3-3-4 - Les "Sables de Tersanne à Nassa michaudi du Tortonien inférieur	
8-3-3-5 - Les "Sables et les Marnes à Helix delphinensis du Tortonien supérieur"	

		Page
	8-3-4 - Les Conglomérats terminaux de Toutes-Aures et de Voreppe du Vindobonien	130
	Le sommet de ces conglomérats	130 130 130 131 131 132 132
	. La nature et le style des dépôts dans ce bassin de sédimentation	132
	8-3-5 - Résumé de l'histoire du Plateau de Chambaran au Vindobonien	
	8-4 - LE PLATEAU DE CHAMBARAN & L'INFRAPLIOCENE	134
	8-5 - LE PLATEAU DE CHAMBARAN AU PLIOCENE INFERIEUR	135
: •	8-6 - LE PLATEAU DE CHAMBARAN AU PLIOCENE SUPERIEUR	135
	8-6-1 - Les Sables de Lens-Lestang	135
* # *	8-6-2 - Les Conglomérats de Lens-Lestang	136
	8-7 - LA "FORMATION DE CHAMBARAN" ET LE PROBLEME DES ALTERATIONS A LA FIN DU PLIOCENE	137
. 1.7	and the second of the control of the control of the second of the control of the control of the control of the	
	BIBLIOGRAPHIE	139
; .	Table des Figures et des Planches	142
	Liste des Tableaux	144
	Table générale des Matières	145
	and a second of the first of the control of the co The control of the control of	
•	and the second of the second o	

anders de la companya de la company Companya de la compa La companya de la companya del companya del companya de la companya del companya de la companya del companya de la companya de la companya de la companya del companya del companya del companya de la companya del c

en de la companya de la co

to a contract a second contract to the second second

VU

Grenoble, le

Le Président de la thèse

VU, et permis d'imprimer,

Grenoble, le

Le Président de l'Université Scientifique et Médicale